

Plan des sites

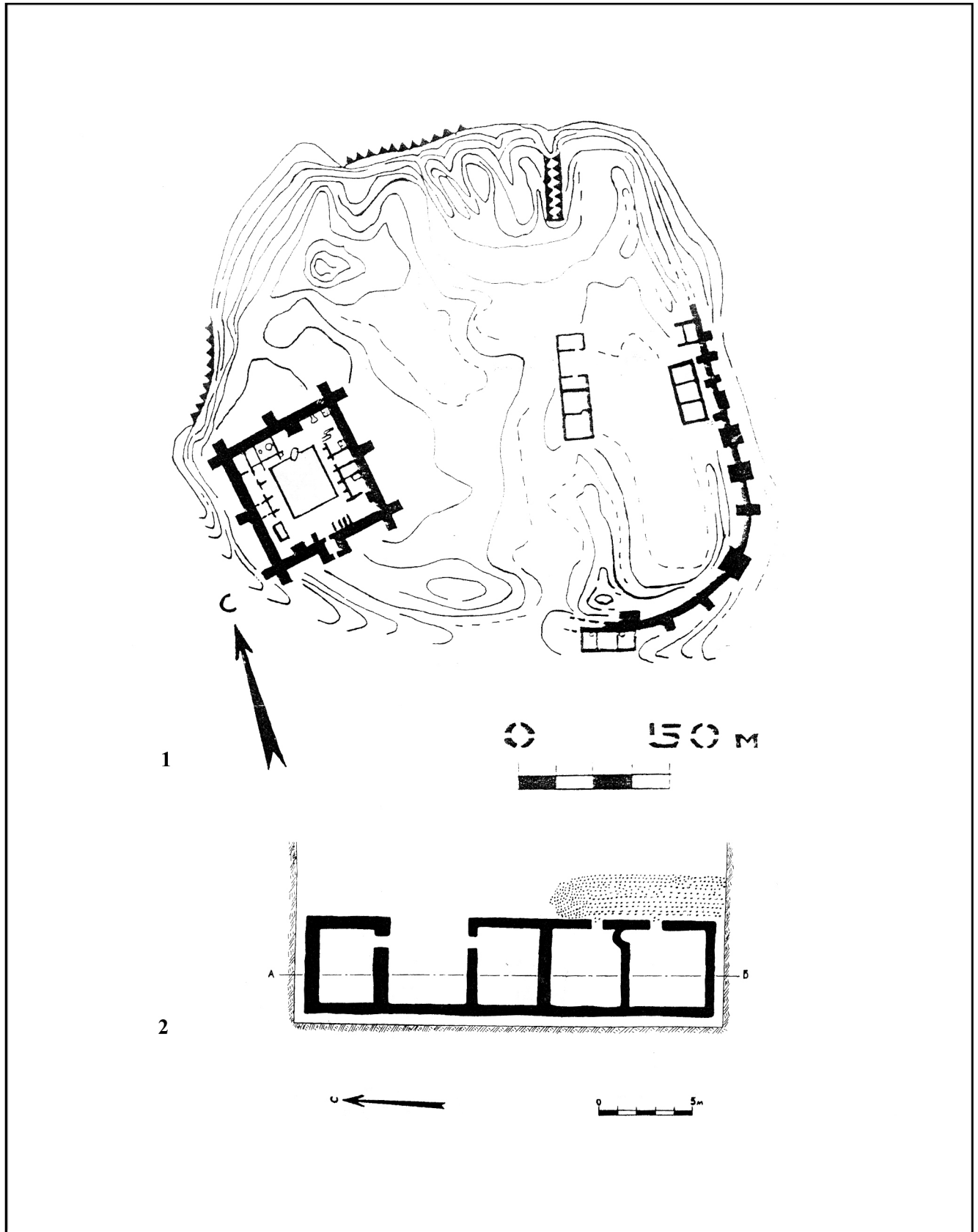


Figure 557 : Dzharkutan : «Citadelle». 1. Plan topographique de la « citadelle » avec le « palais » au sud-ouest et le « rempart » à l'est. 2. Plan d'une habitation (d'après Askarov, Shirinov 1993, fig.2).

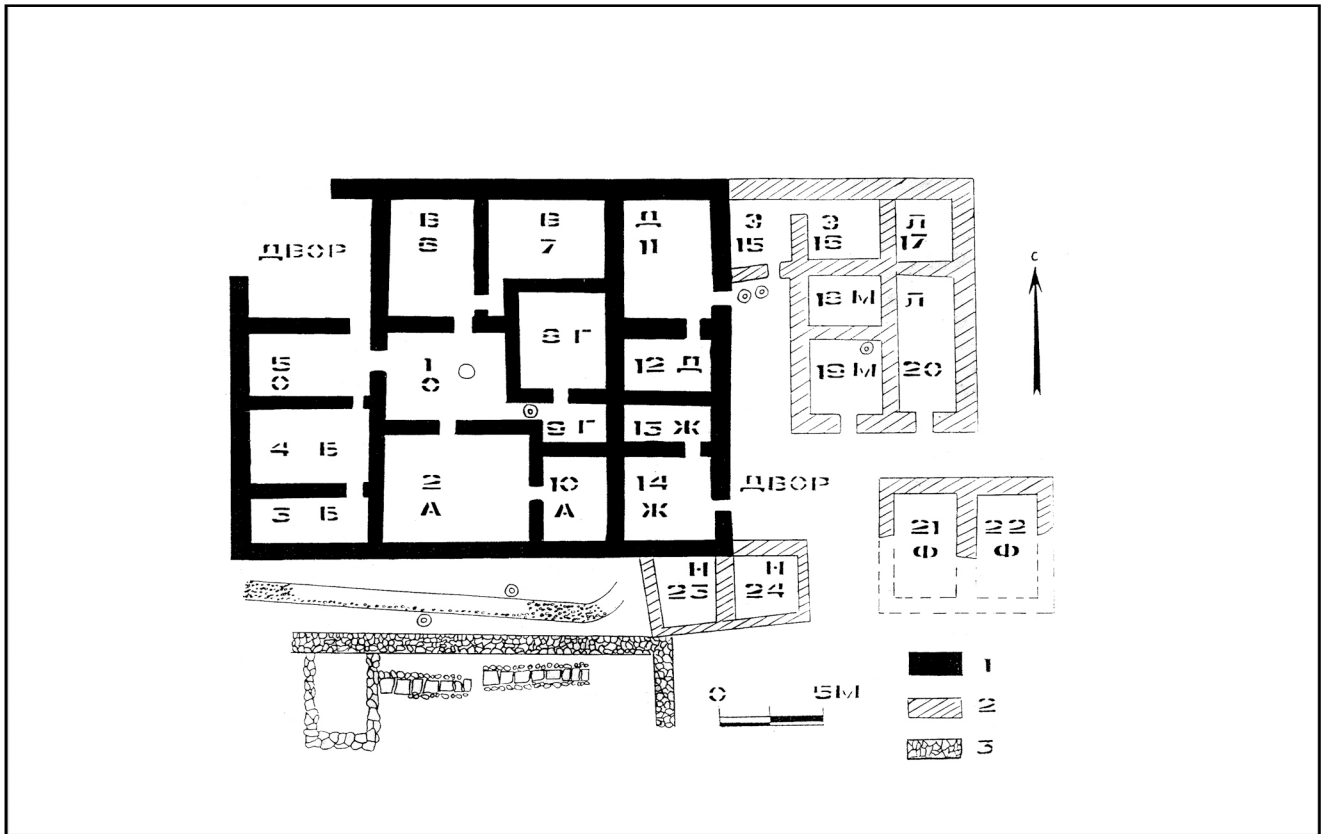


Figure 558 : Dzharkutan. Plan d'un habitat de la colline n°5. *Légende* : 1. Murs de la première période de construction ; 2. Murs de la deuxième période de construction ; 3. Murs en pierre (d'après Askarov, Shirinov 1993, fig.53).

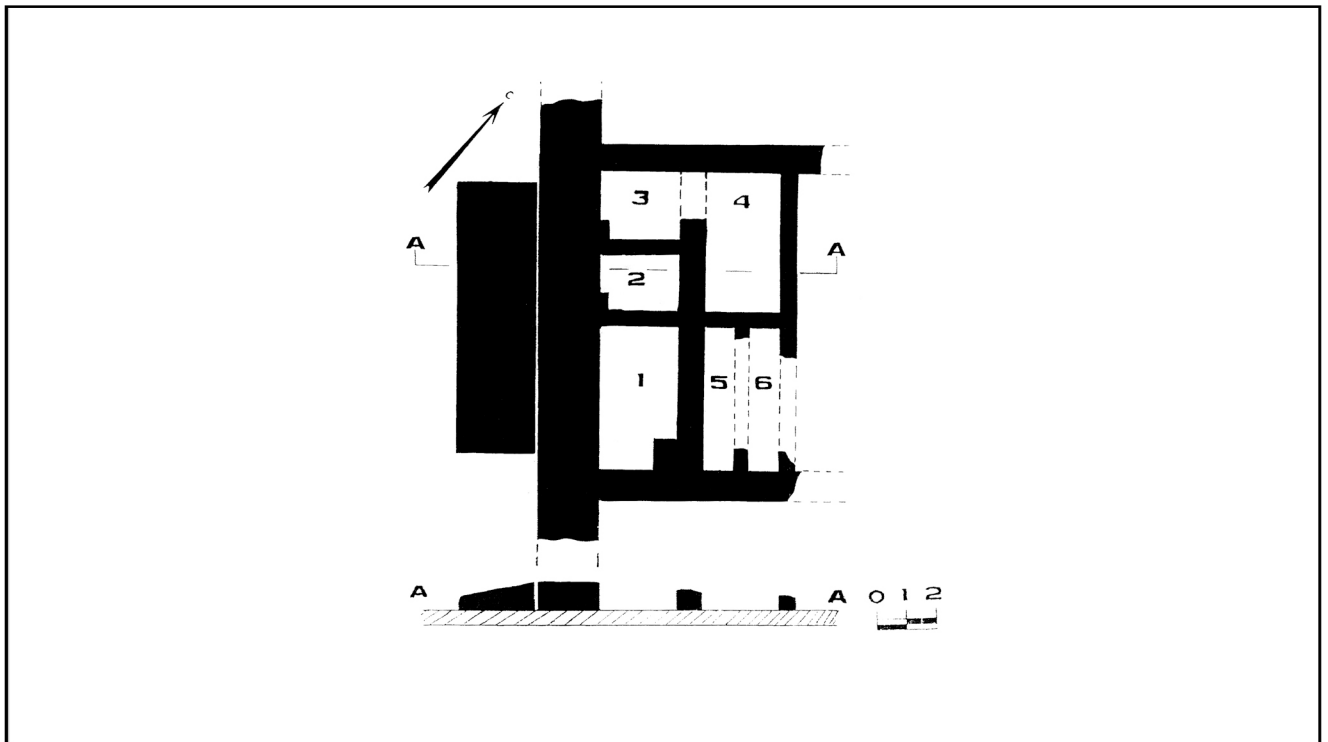


Figure 559 : Dzharkutan. Habitation de la colline n°7. Plan et coupe (d'après Askarov, Shirinov 1993, fig.68).

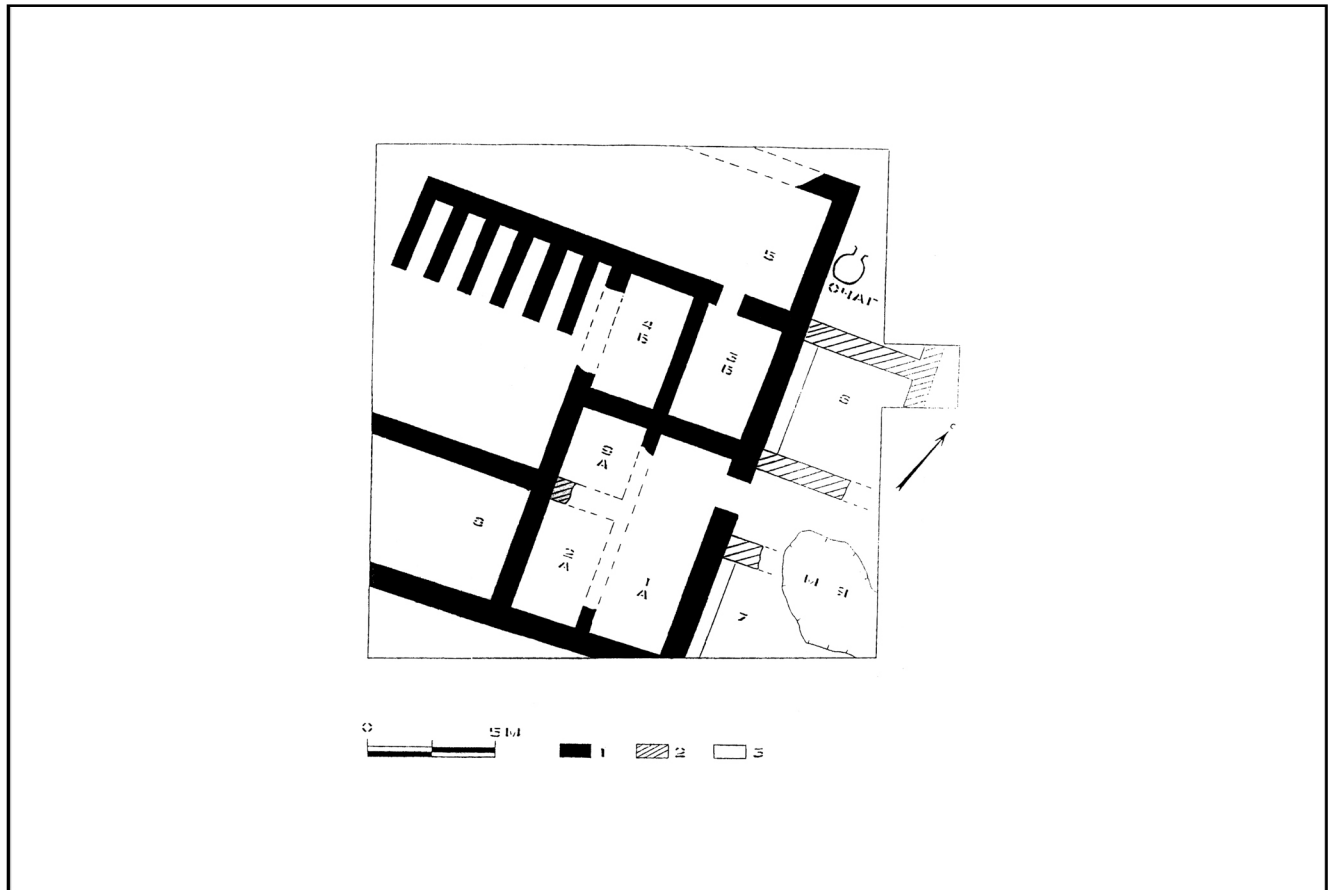


Figure 560 : Dzharkutan. Quartier d'habitation sur la colline n°8. *Légende* : 1. Murs de la première période de construction ; 2. Murs de la deuxième période de construction ; 3. *sufas* (d'après Askarov, Shirinov 1993, fig.66).

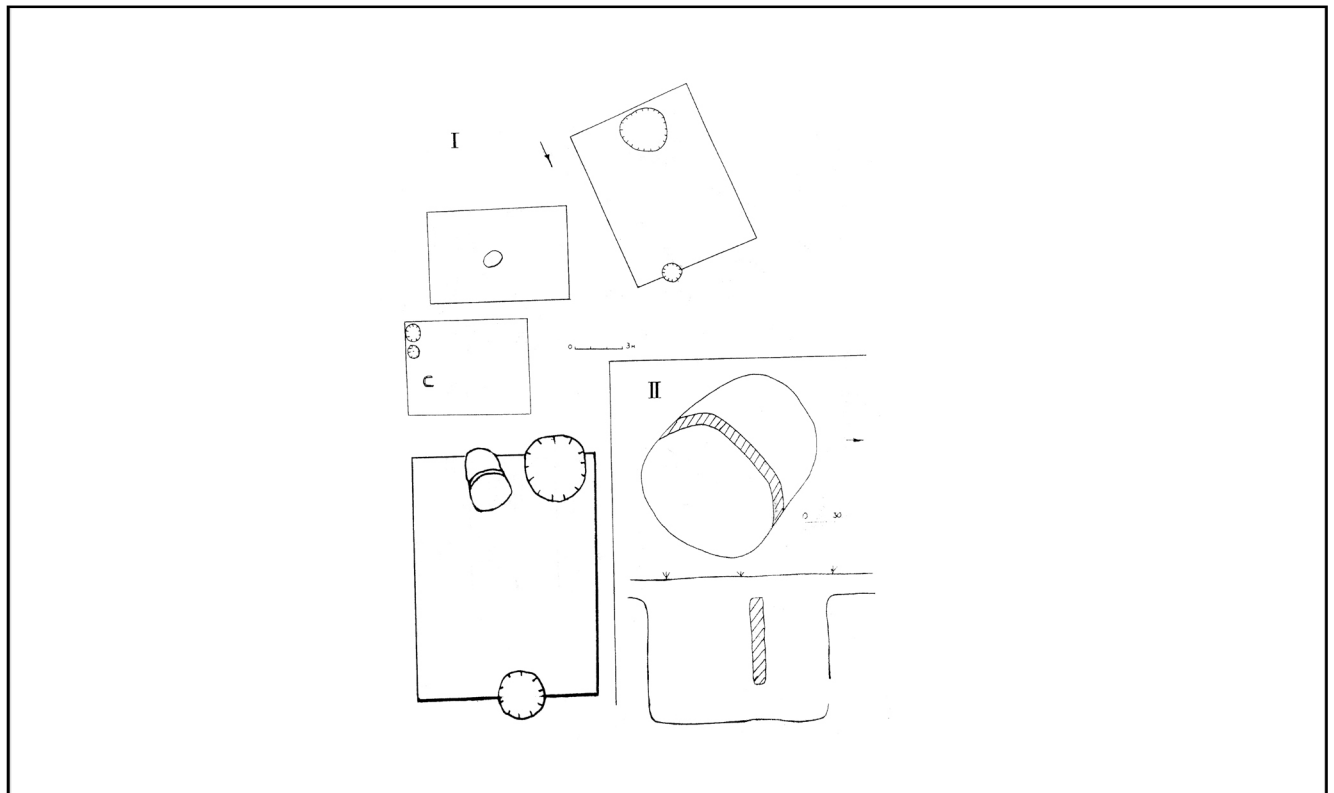


Figure 561 : Dzharkutan. I. Quartiers artisanaux sur la colline n°1 et 2. Plans des fouilles. II. Four céramique (d'après Askarov, Shirinov 1993, fig.73).

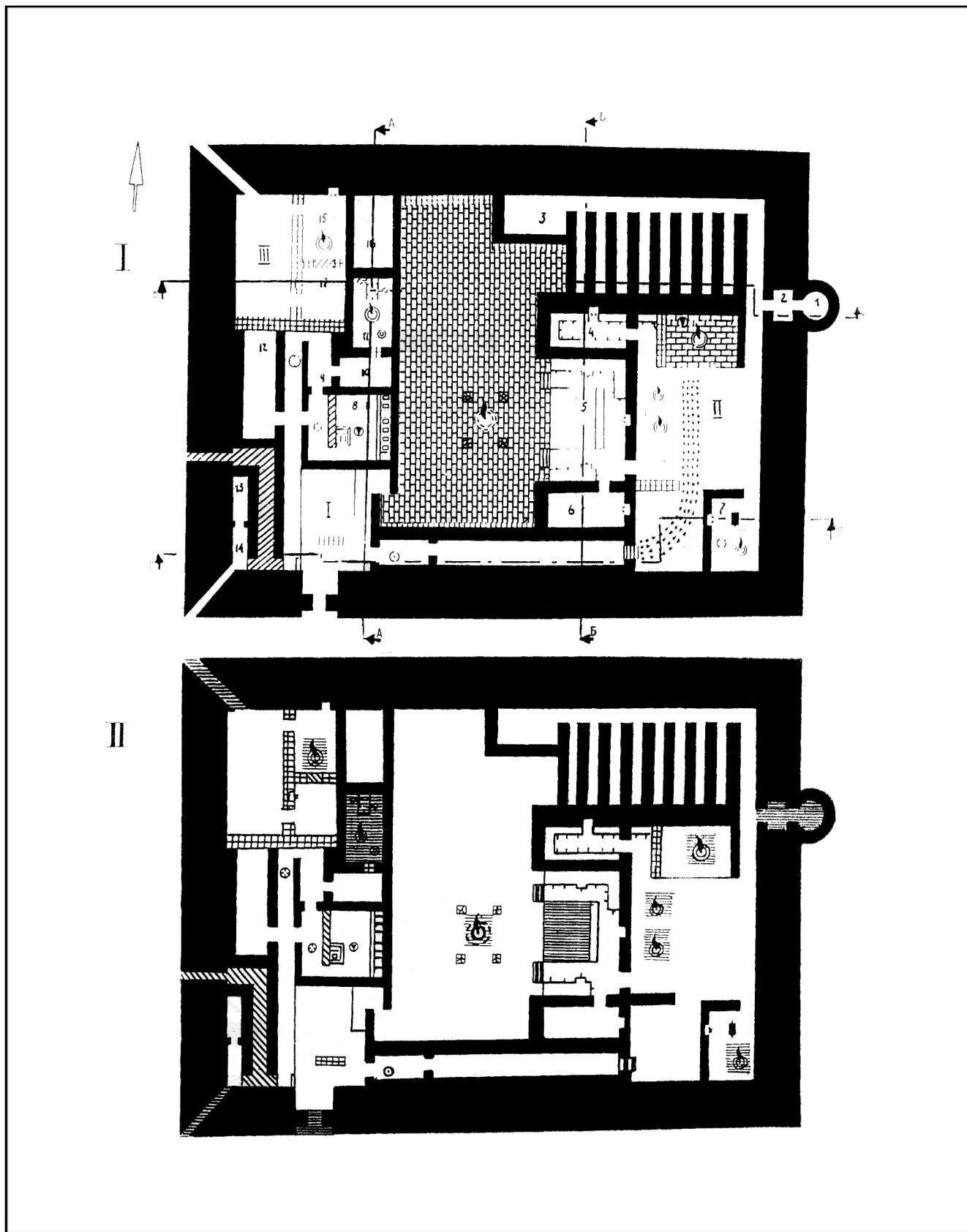


Figure 562 : Dzharkutan. «Temple». I. Plan de la troisième période de construction ; II. Plan après abandon (d'après Askarov, Shirinov 1993, fig.29).



Figure 563 : Dzharkutan. Nécropole 3 et 4.



Figure 564 : Dzharkutan nécropole. Vue depuis Bustan 6.



Figure 565 : Bustan 6 et 7 (vue vers le Sud).



Figure 566 : Bustan 6 (vue vers le Nord).

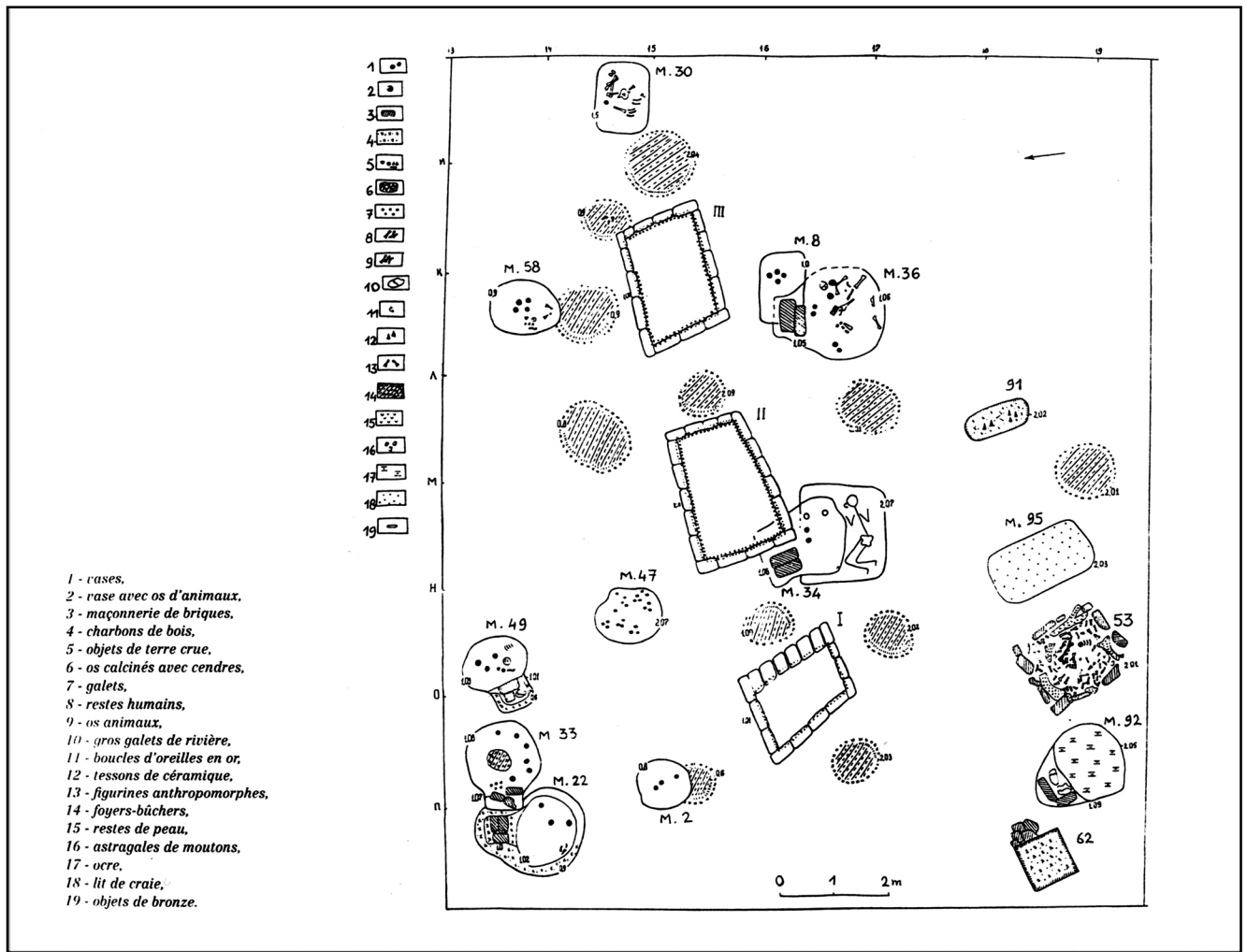


Figure 567 : Bustan 6. Zone funéraire avec les caissons de crémation (d'après Avanesova 1995, fig.2).

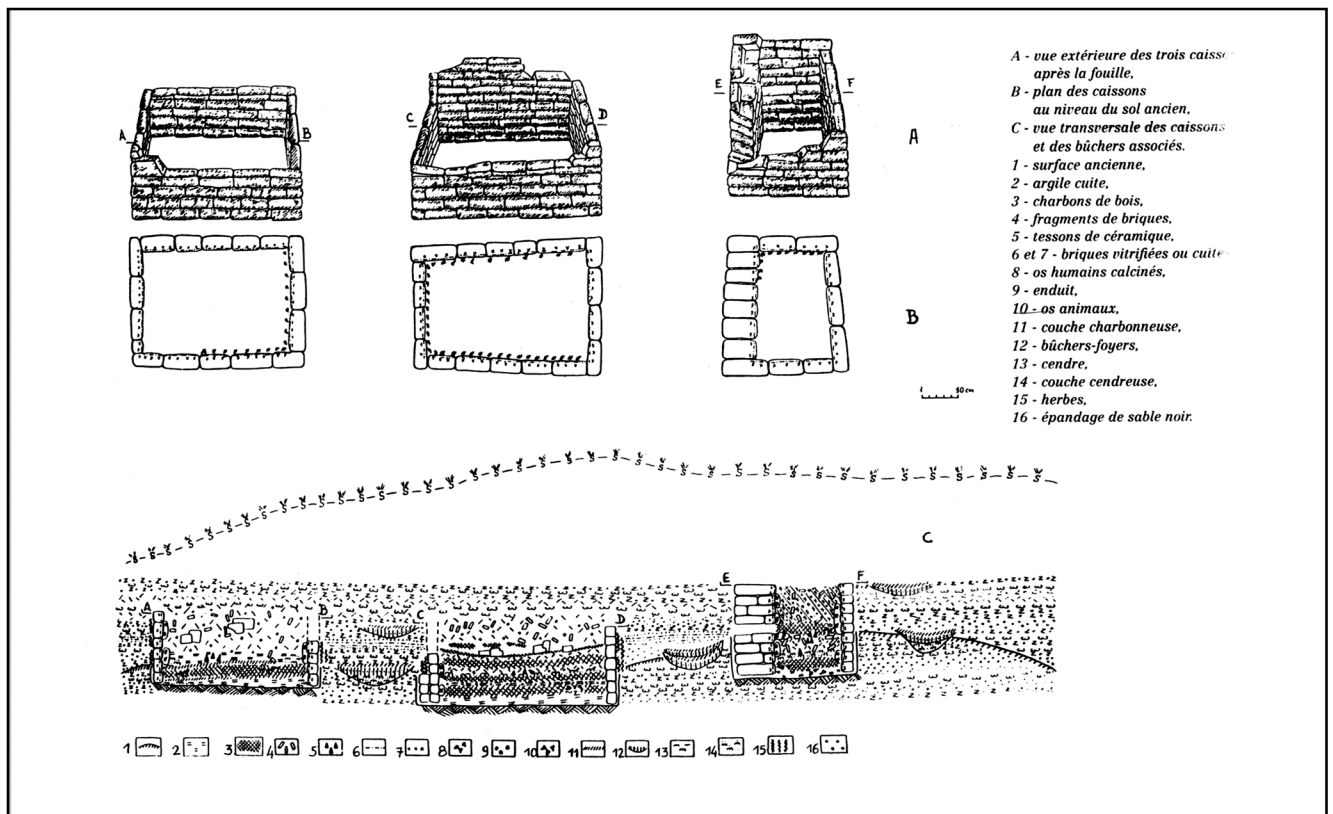


Figure 568 : Bustan 6. Caissons de crémation (d'après Avanesova 1995, fig.3).

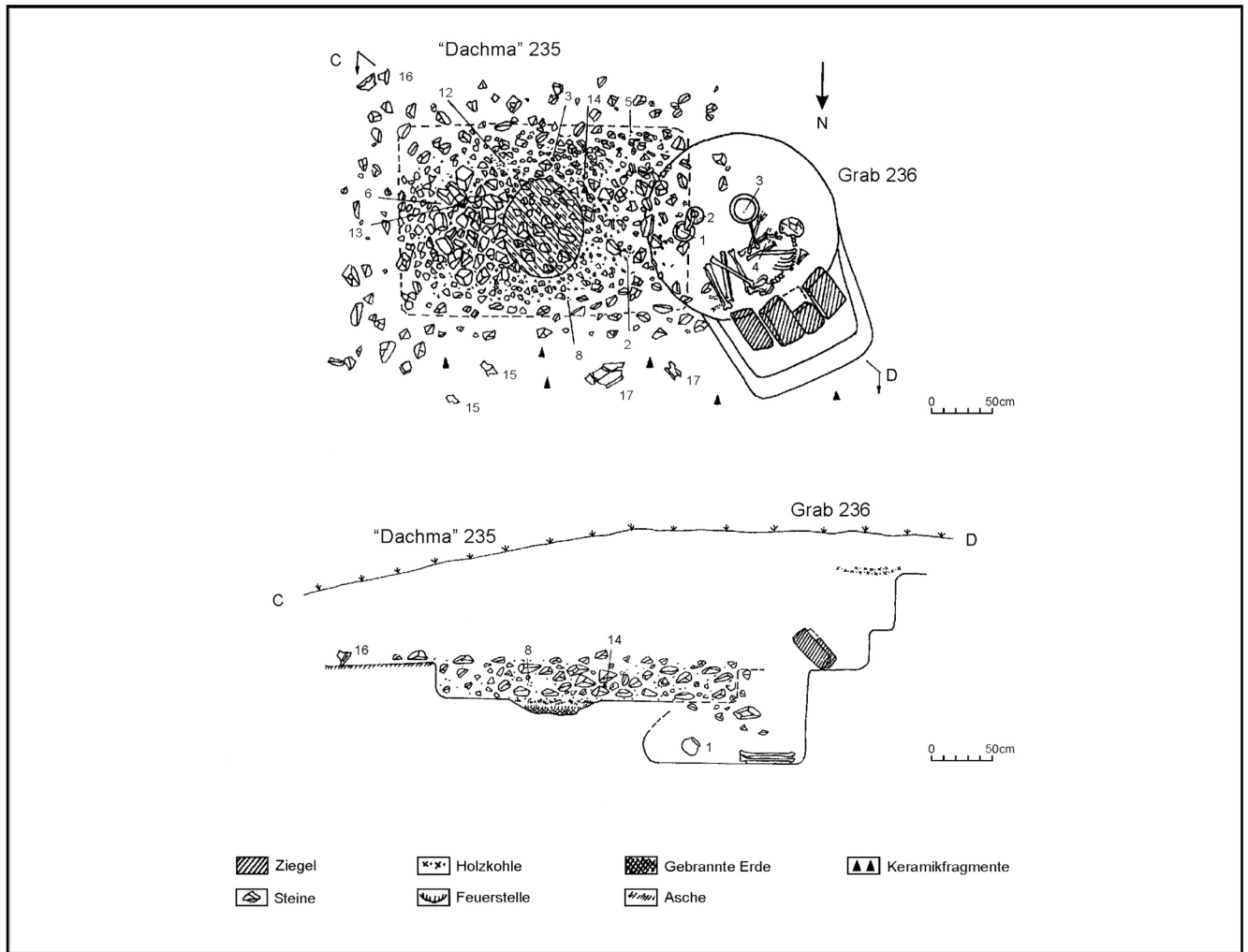


Figure 569 : Bustan 6. Plan et coupe du «dakhma» et de la sépulture n°236 (d'après Avanesova 2007, fig.9).

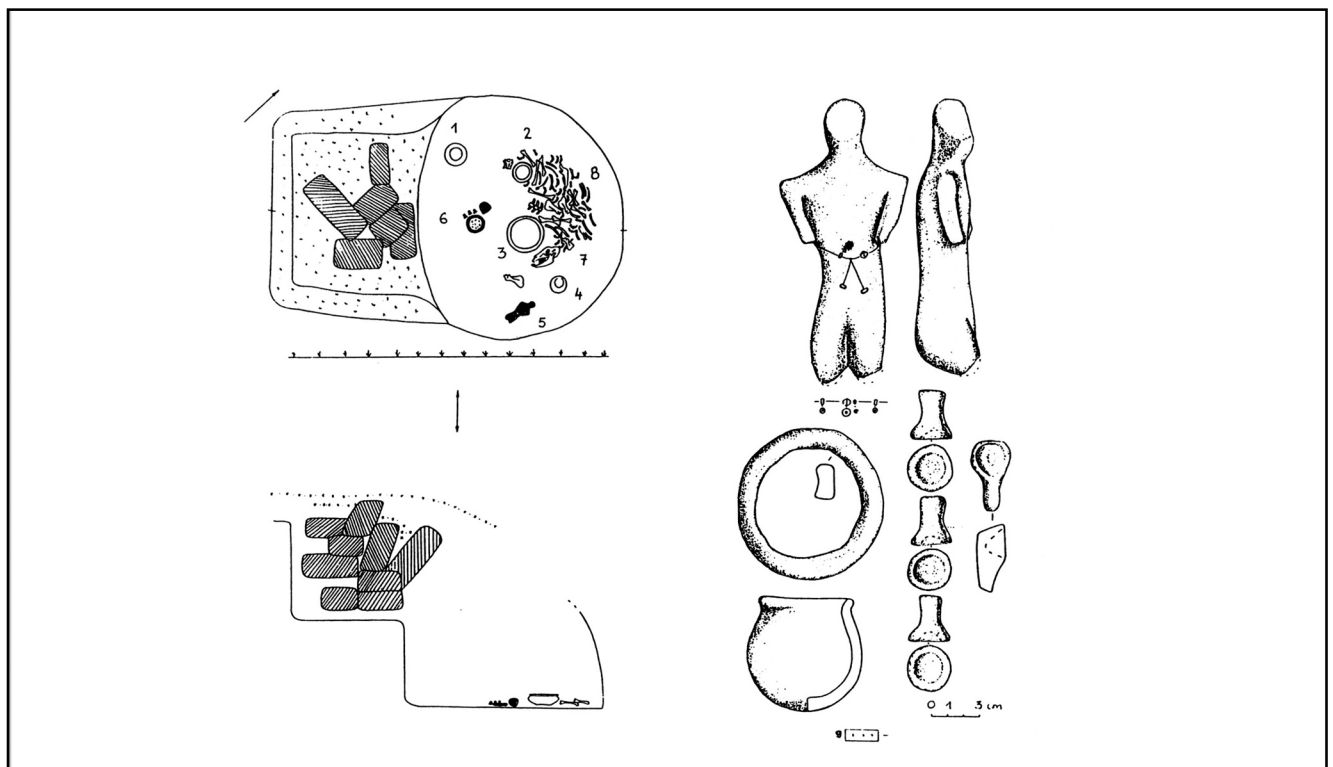


Figure 570 : Bustan 6. Sépulture n°108. Plan et coupe et matériel. *Légende* : 1-4. Céramique, 5. figurine anthropomorphe; 6. petits objets de terre crue ; 7-8. os de mouton ; 9. couche de cendre et de charbons de bois (d'après Avanesova 1995, fig.11).

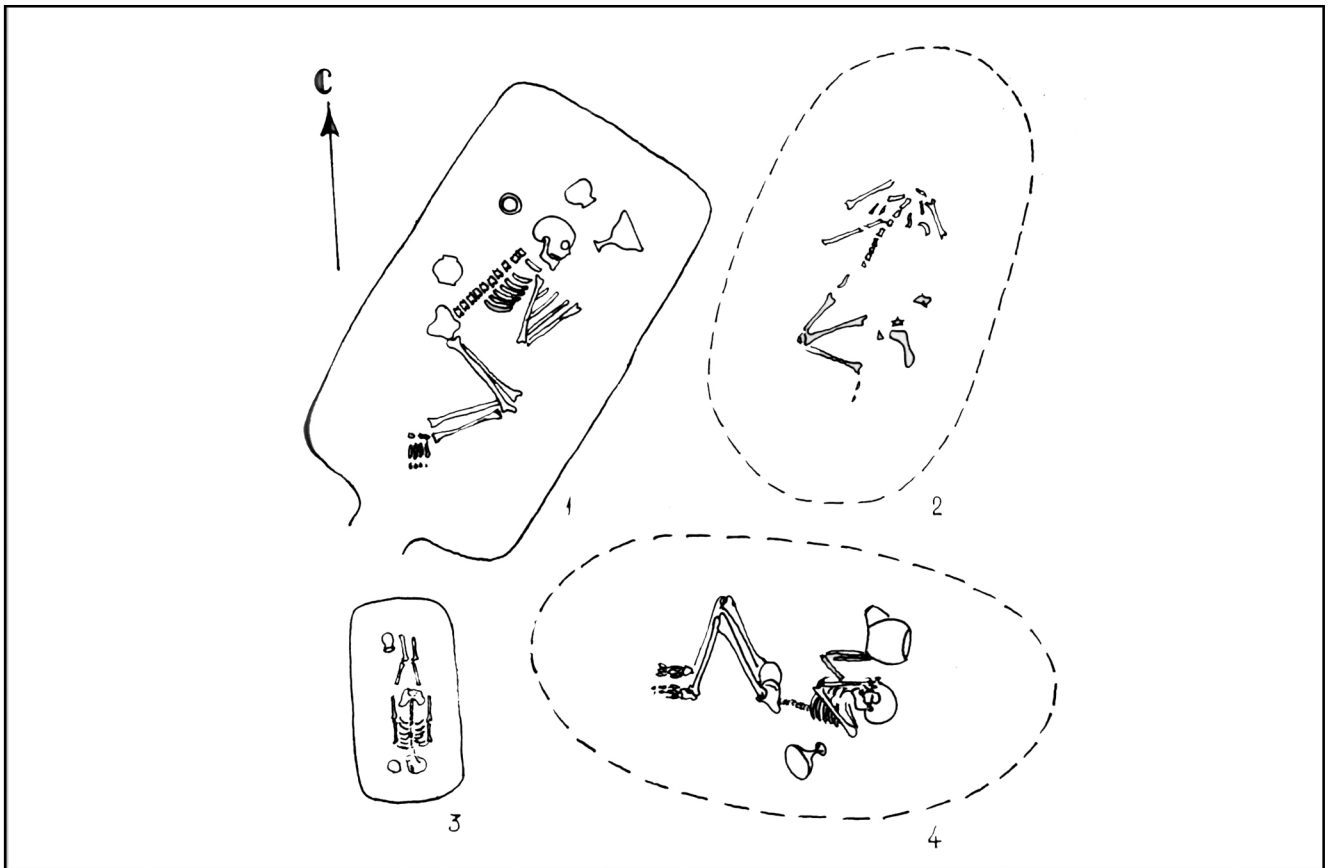


Figure 571 : Molali-Tépé. Plan des sépultures. 1. sépulture n°1 ; 2. sépulture n°4 ; 3. sépulture n°7 ; 4. sépulture n°6 (d'après Beljaeva, Khakimov 1973, fig.5).

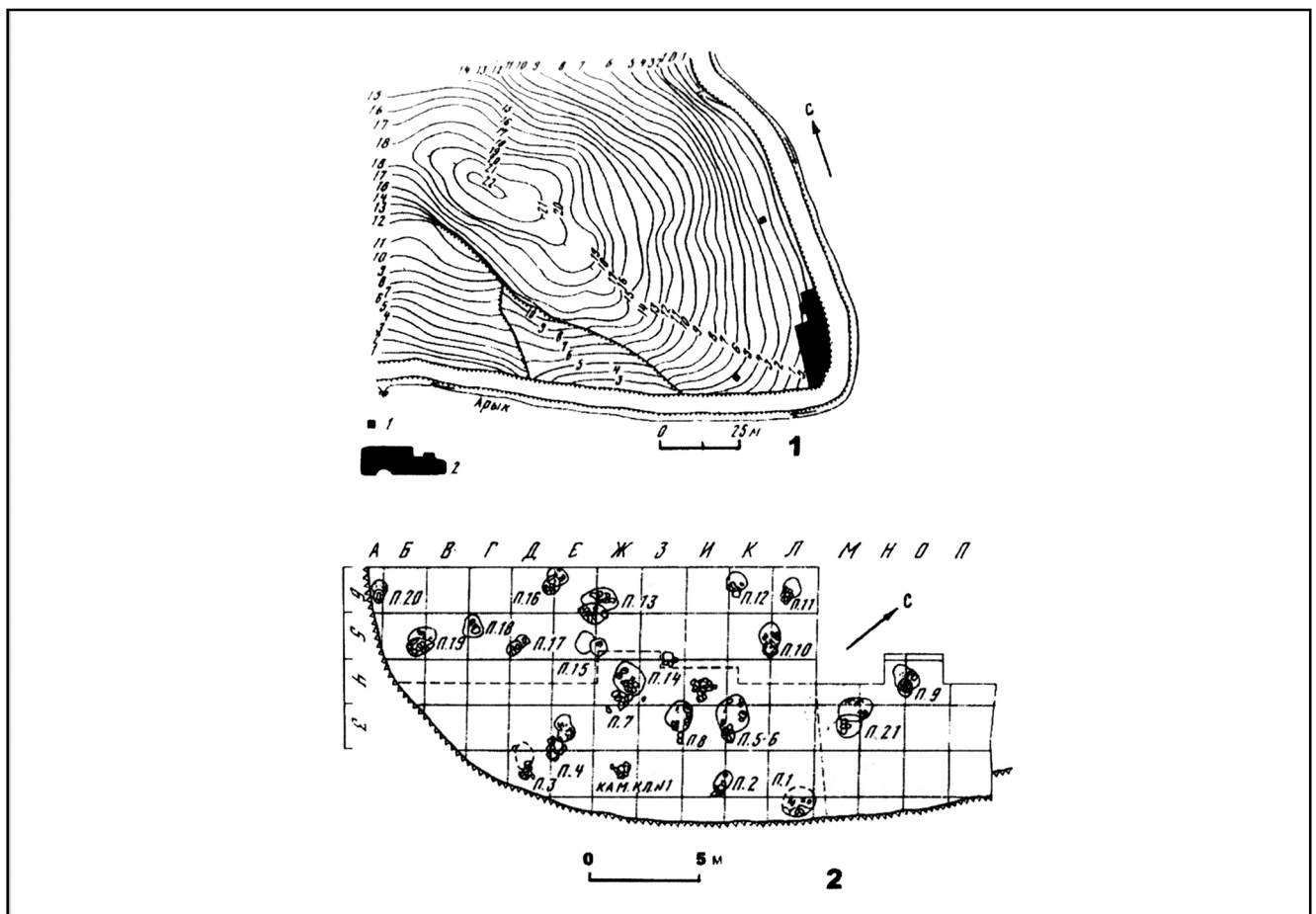


Figure 572 : Kumsaj. 1. Plan topographique ; 2. Plan du chantier (d'après Vinogradova 2004a, fig.41, I).

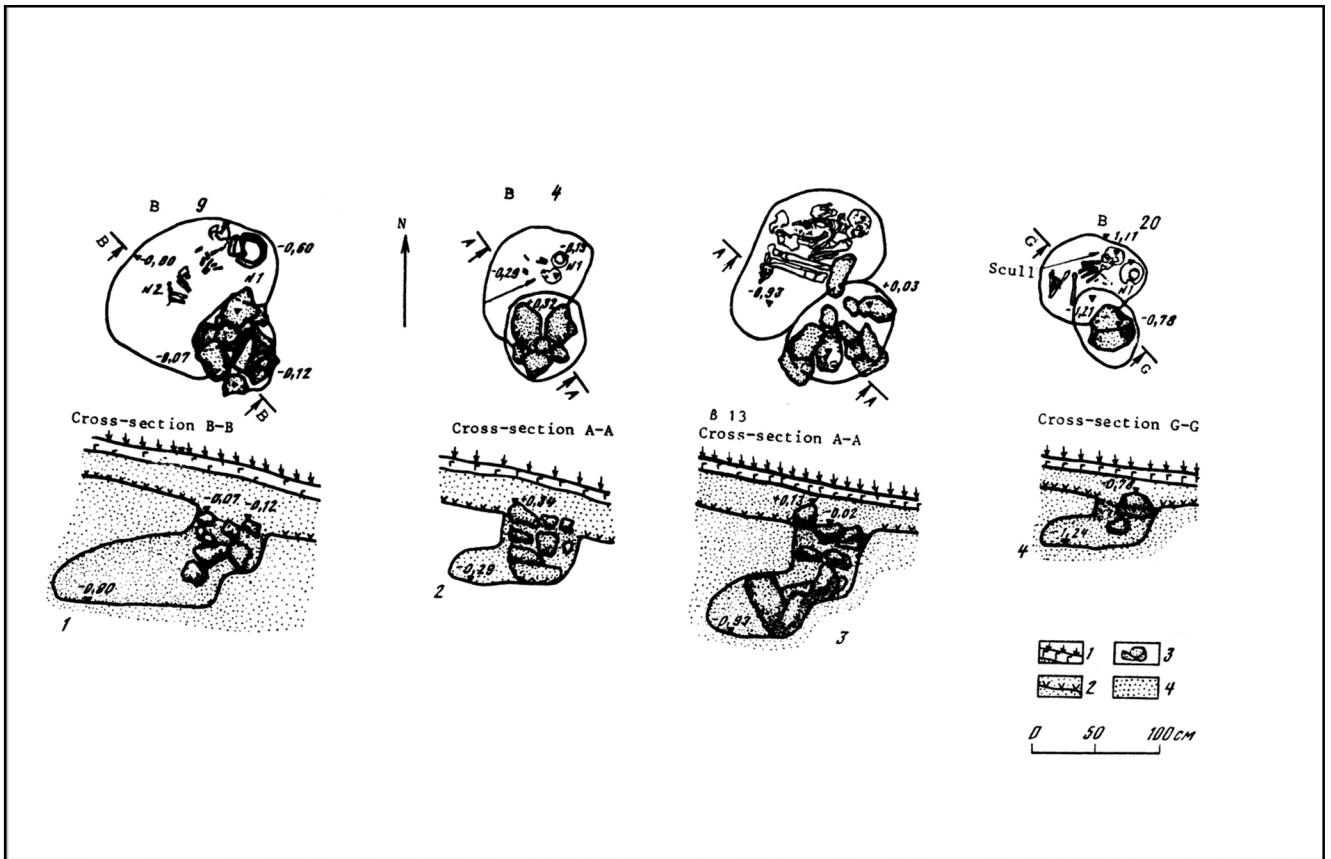


Figure 573 : Kumsaj. Plan et coupe des sépultures. 1. sépulture n°9 ; 2. sépulture n°16 ; 3. sépulture n°13 ; 4. sépulture n°20. *Légende* : 1. humus ; 2. surface ancienne ; 3. pierres ; 4. loess (d'après Vinogradova, P'jankova 1990, p.138, fig.6).

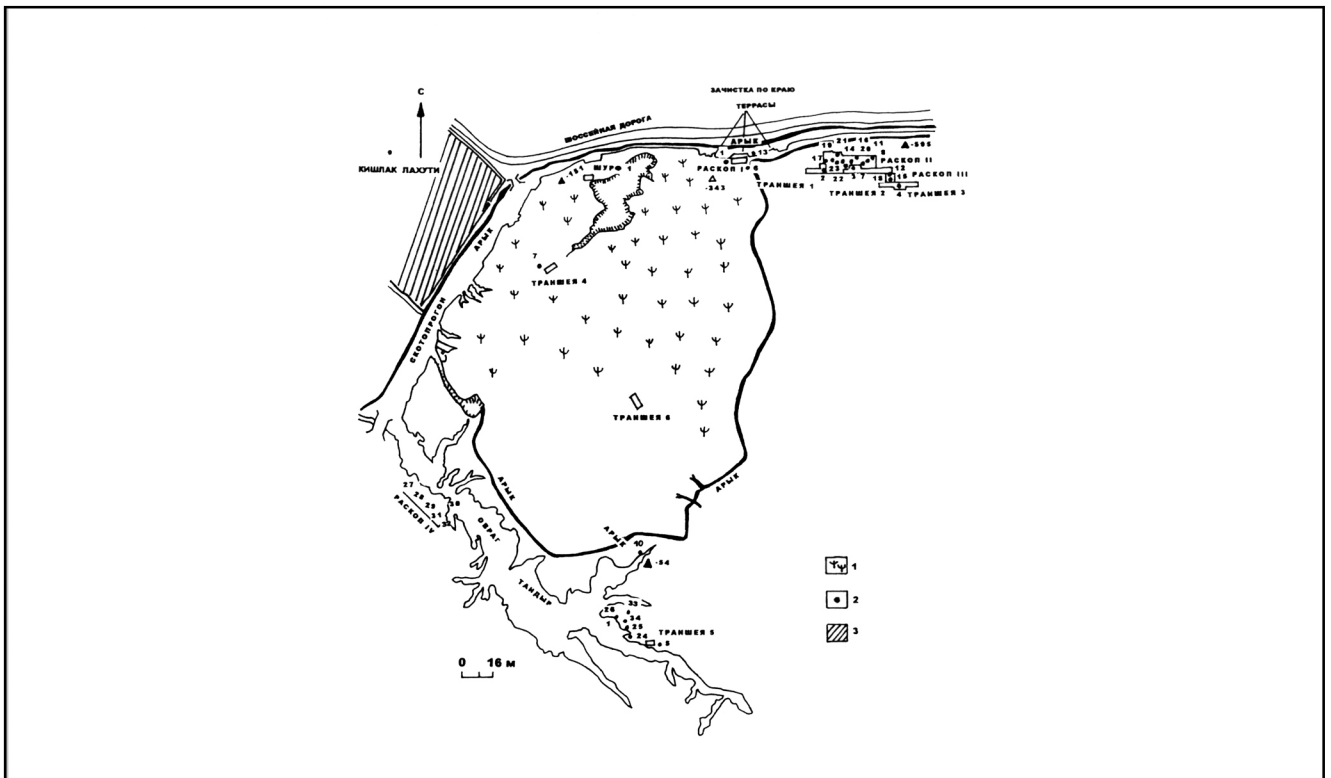


Figure 574 : Tandyrgul. Plan topographique. *Légende* : 1. champ de coton ; 2. sépultures ; 3. kishlak (d'après Vinogradova 2004a, p126, fig4).

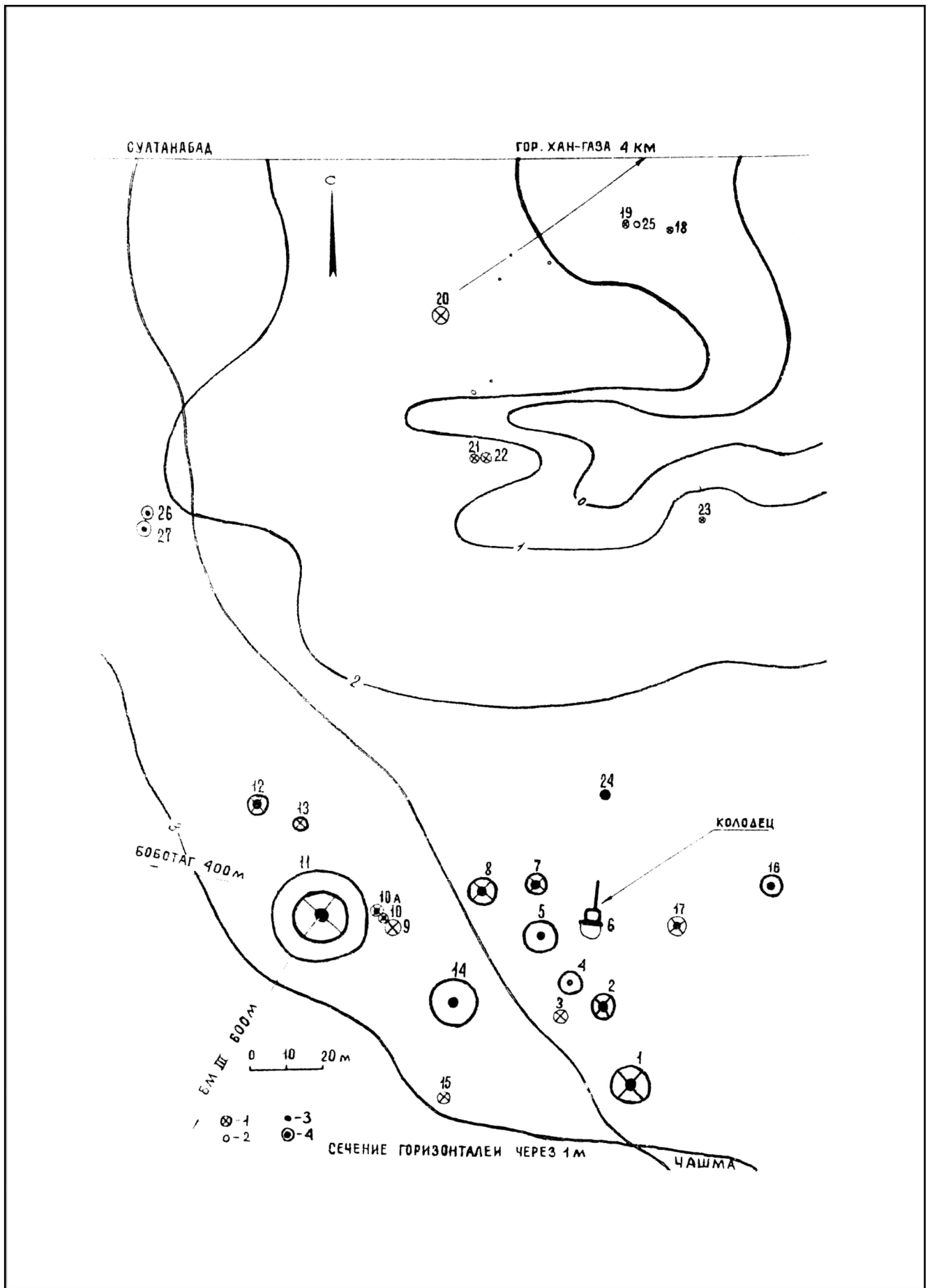


Figure 575 : Bishkent I. Plan (Litvinskij, Zejmal, Medvedskaja 1977, fig.3).

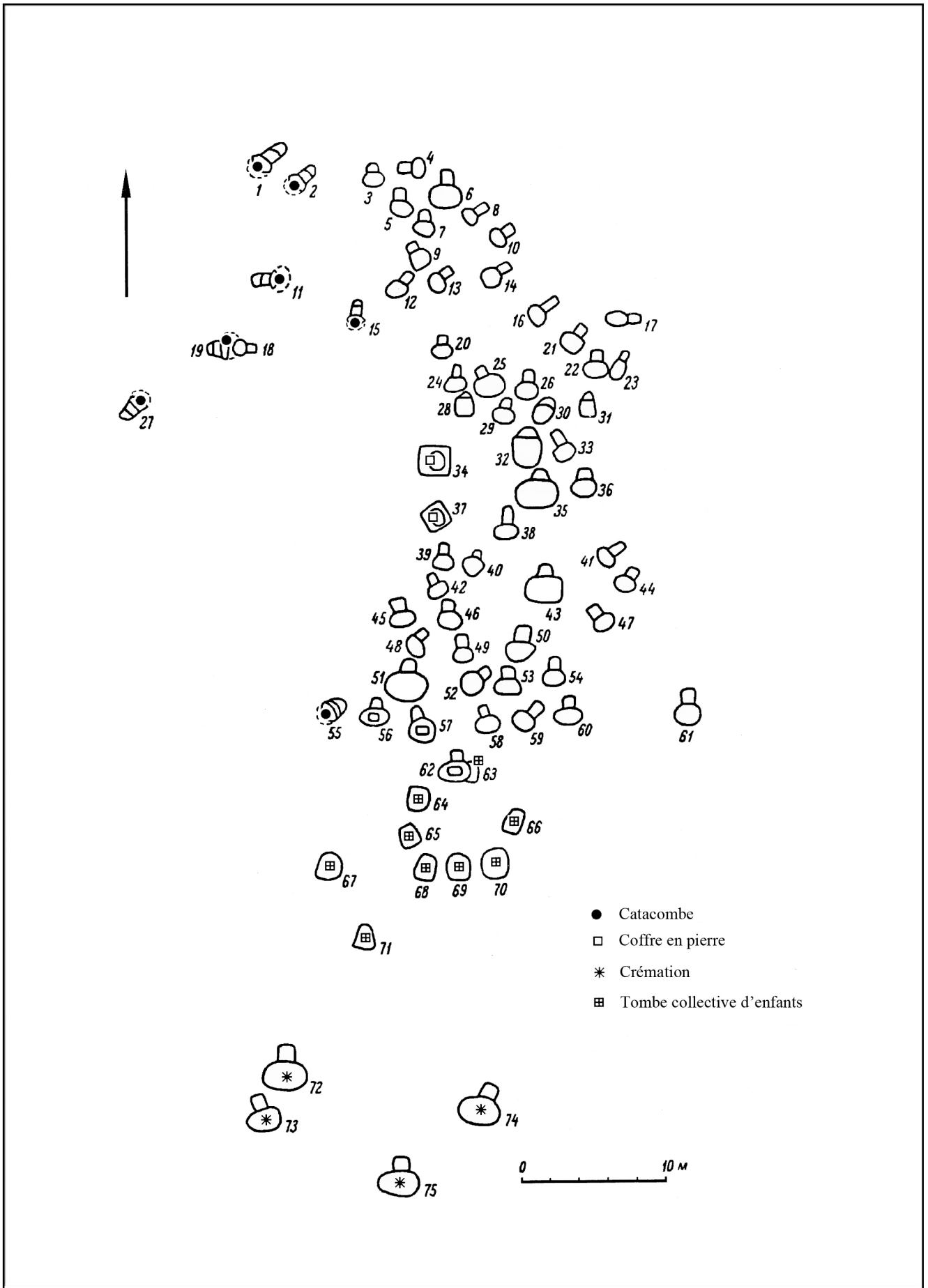


Figure 576 : Rannij-Tulkhar. Plan (d'après Kaniuth, Teufer 2002, fig.1).

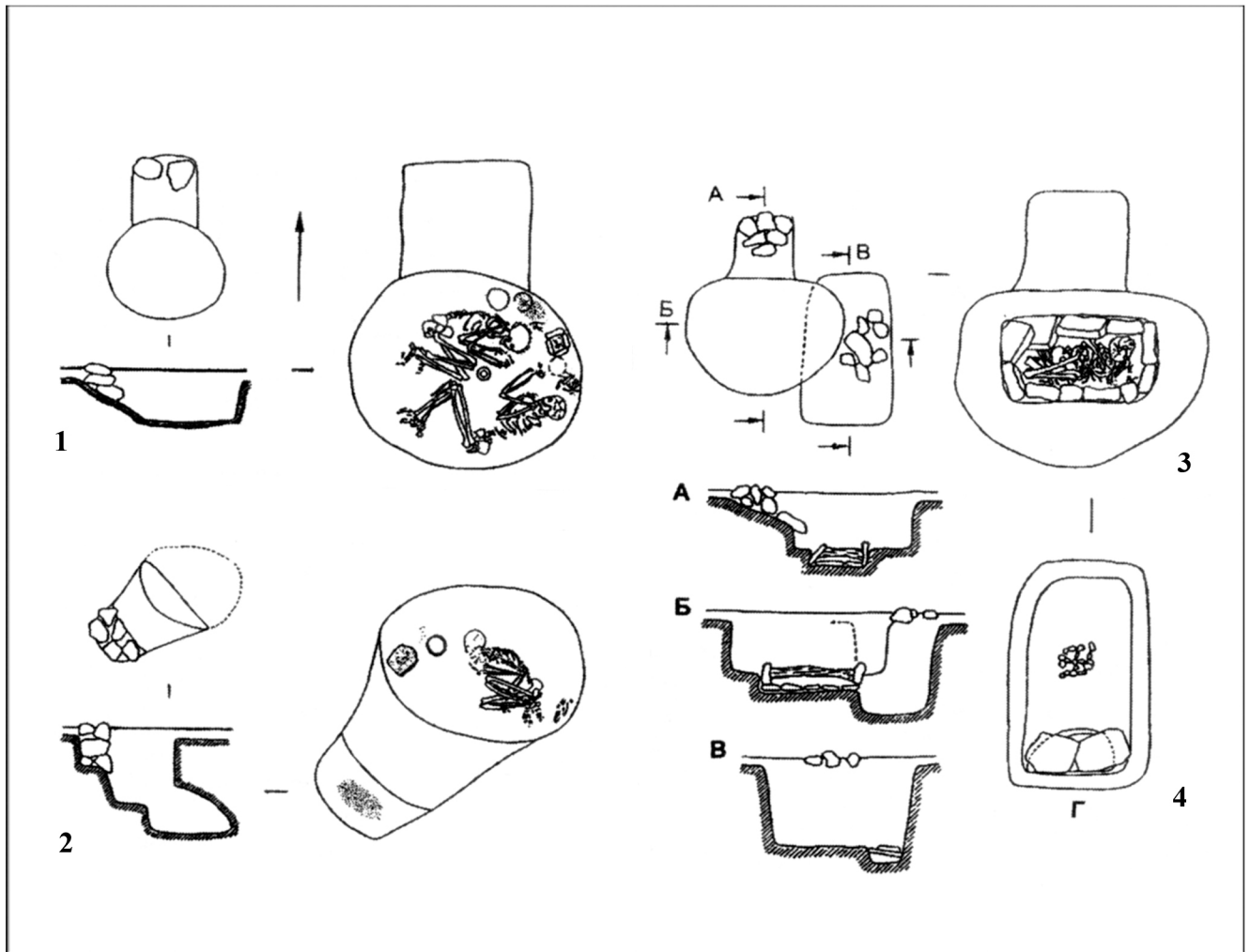


Figure 577 : Rannij-Tulkhar. Types de structures funéraires : 1. fosse avec rampe d'accès ; 2. tombe à chambre funéraire; 3. fosse avec rampe d'accès et coffre en pierres ; 4. fosse avec cavité au sud (d'après Vinogradova 2004a, p.171, fig.47).

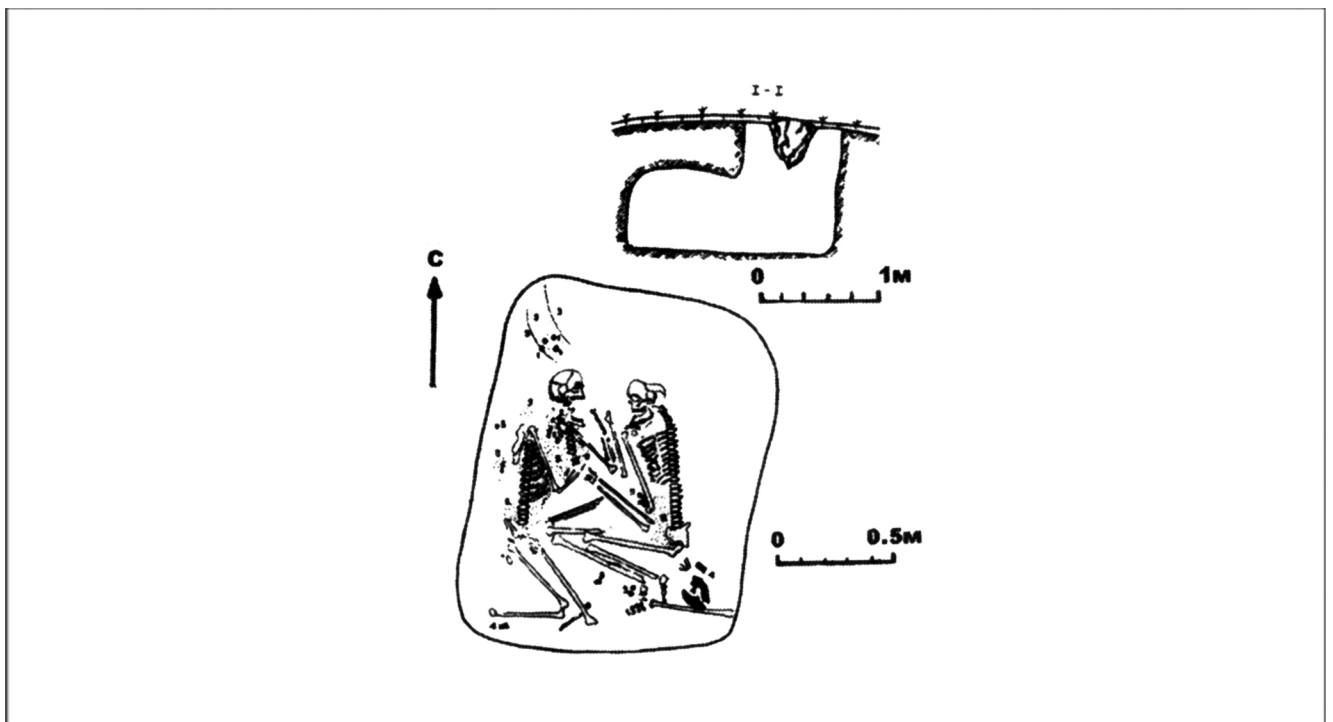


Figure 578 : Kyzlar-Kala. Plan et coupe de la sépulture n°1 (d'après Vinogradova 2004a, fig.40, 10).



Figure 579 : Teguzak. Vue vers le nord-ouest. L'ellipse indique le site.



Figure 580 : Teguzak. Vue vers le sud-est.



Figure 581 : Teguzak. Détail d'un mur en pierres.

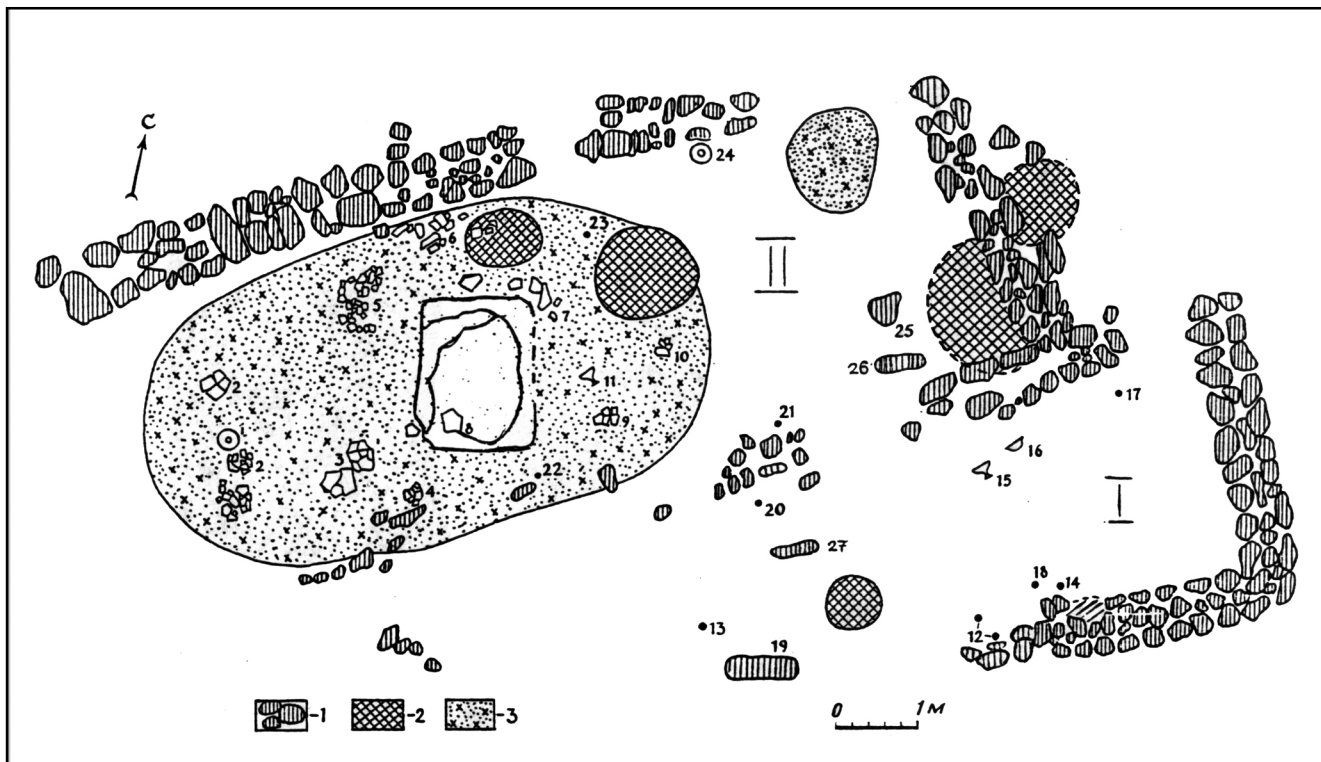


Figure 582 : Teguzak. Plan d'un habitat. *Légende* : 1. pierres ; 2. terre meuble de couleur sombre (fosses) ; 3. couche brûlée (d'après P'jankova 2001, fig.2).

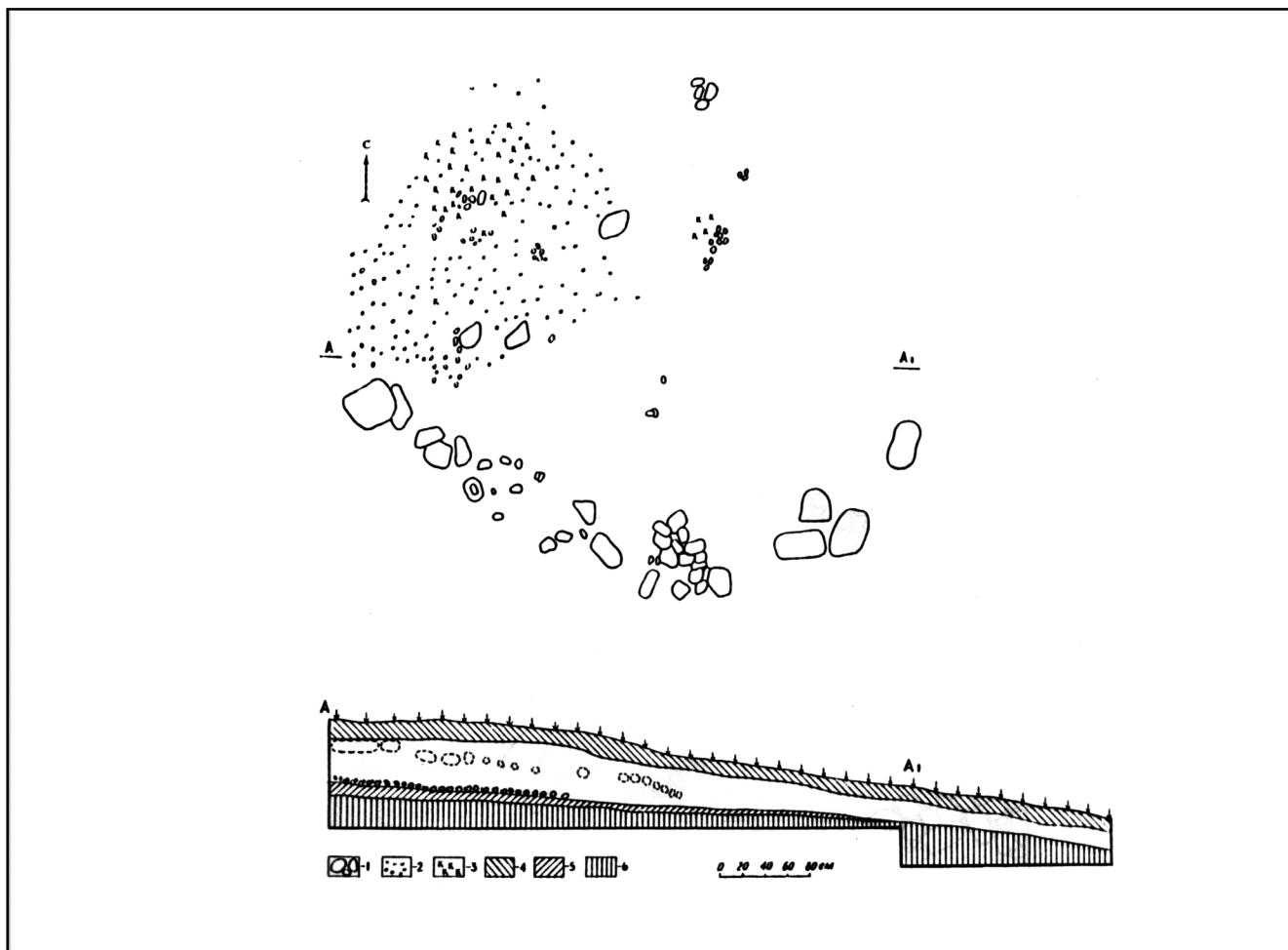


Figure 583 : Teguzak. Plan et coupe de constructions de type léger. *Légende* : 1. pierres ; 2. maçonnerie de fragments de galets ; 3. céramique ; 4. couche arable ; 5. couche de loess sombre (charbonneuse) ; 6. sol vierge (d'après P'jankova 2001, fig.3).

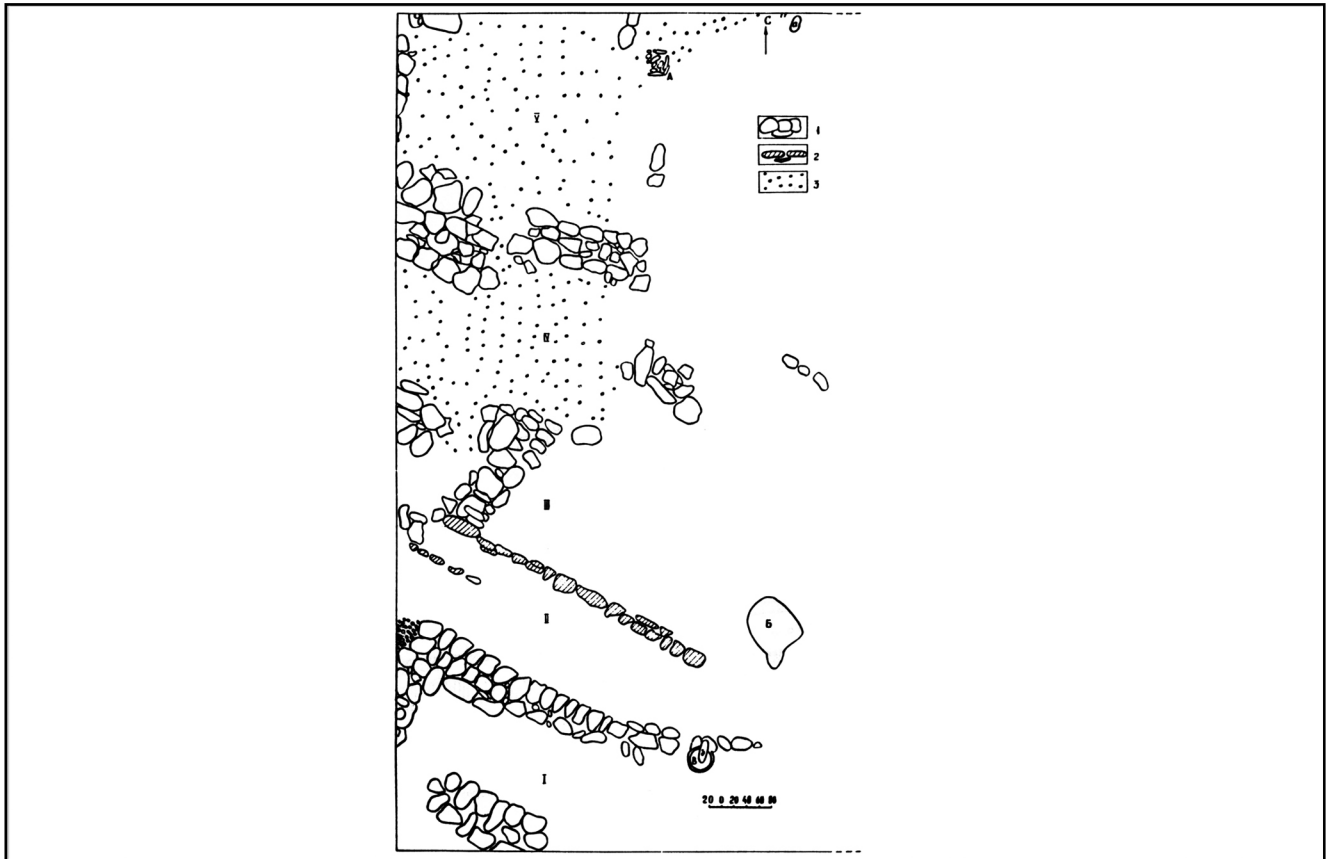


Figure 584 : Dakhana. Plan des constructions architecturales du chantier 1. *Légende* : 1. pierres posées à plat ; 2. pierres plantées sur l'arête ; 3. graviers ; A. «petit caisson» de pierres ; B. four de potier ; B. jarre ; a, b meules (d'après P'jankova 2001, fig.4).

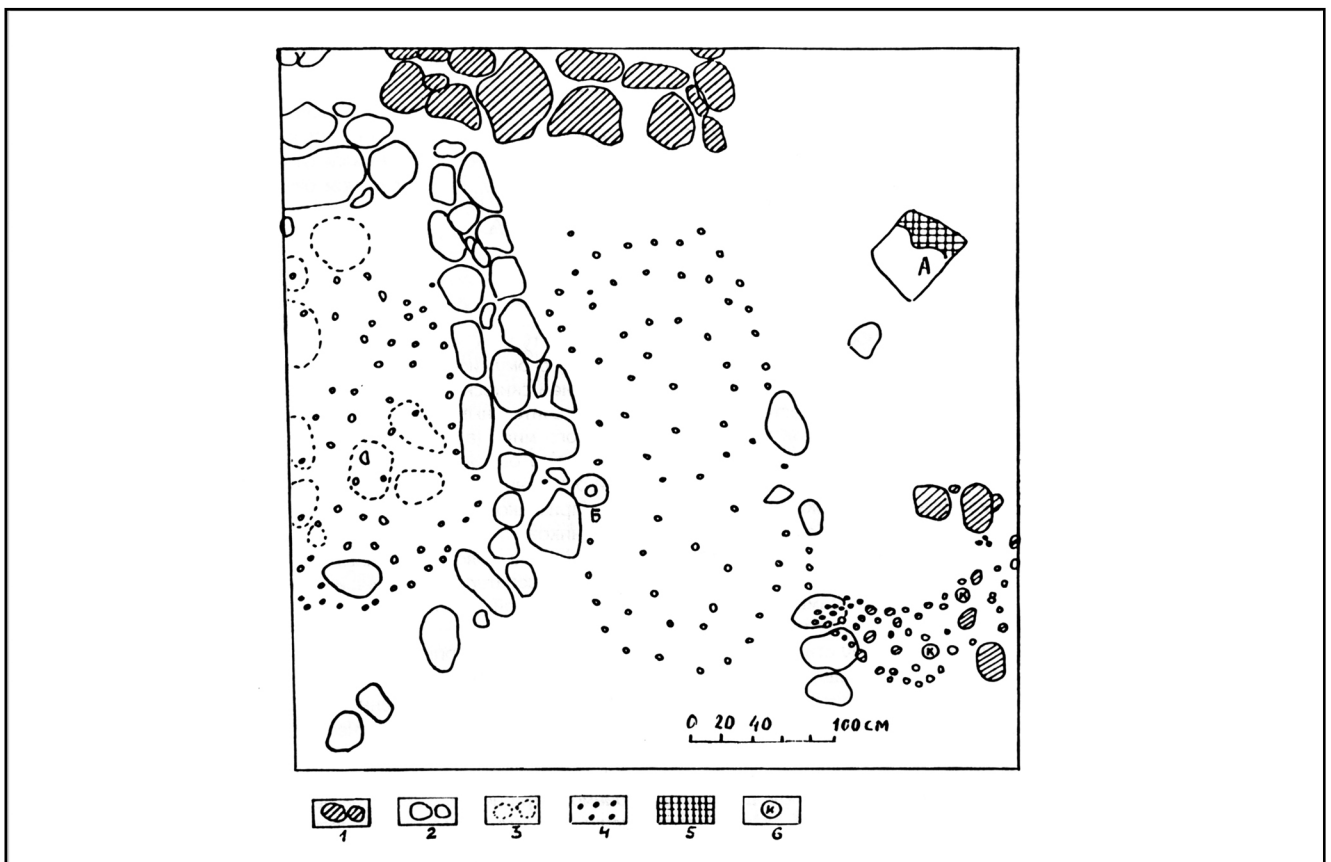


Figure 585 : Dakhana. Plan des constructions architecturales du chantier 2. *Légende* : 1. pierres et pavage de galets de la couche supérieure ; 2. pierres de la couche inférieure ; 3. pierres reposant sous une couche de petits galets ; 4. petits galets ; 5. terre ; 6. céramique ; A. fragment de dalles plates en grès rouge ; B. mortier (d'après P'jankova 2001, fig.5).

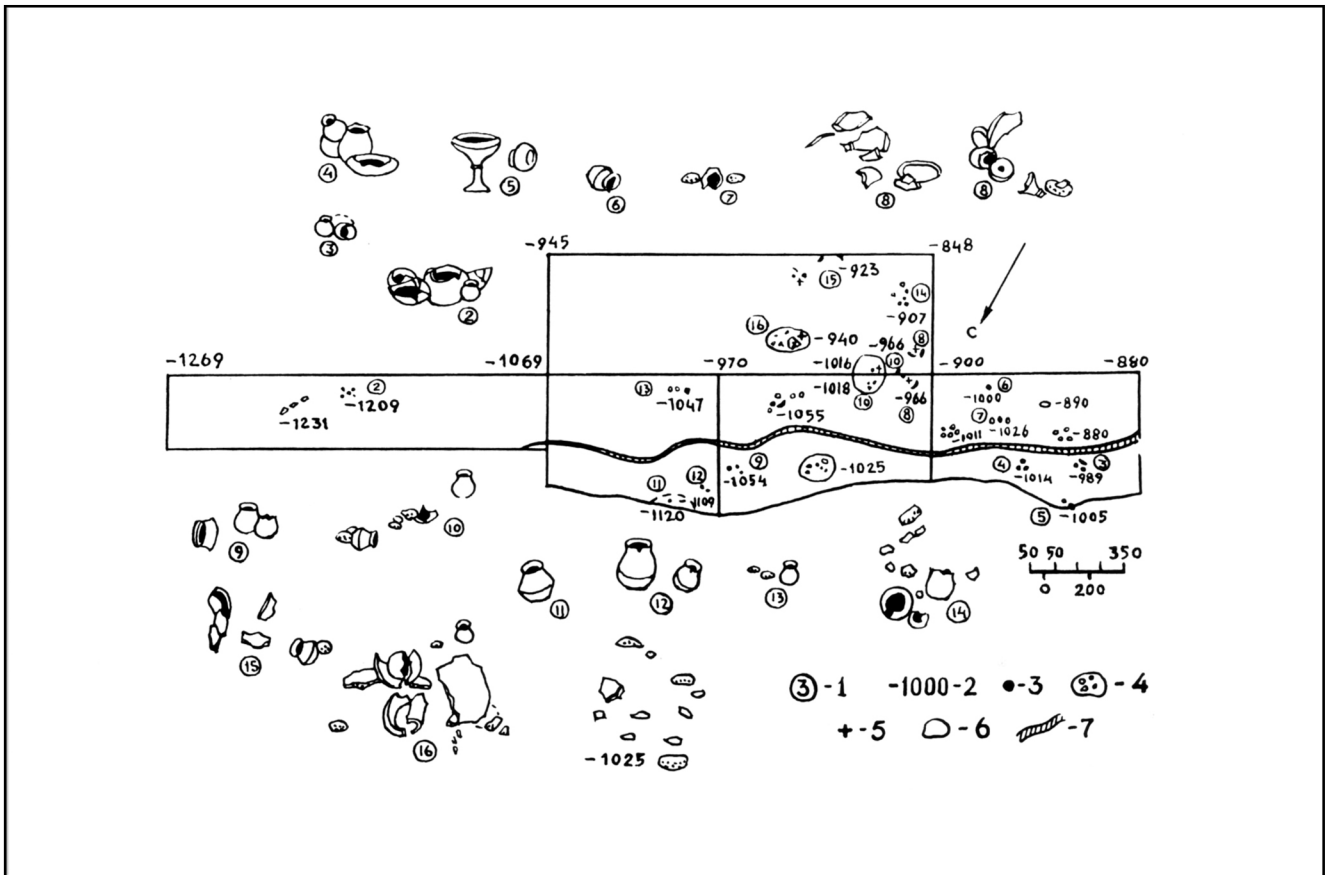


Figure 586 : Nurek. Plan des fouilles 1-3. *Légende* : 1. numéro de la sépulture; 2. point relatif depuis le repère; 3. position des vases; 4. pierres; 5. découvertes individuelles; 6. fond de la fosse funéraire; 7. crevasse (d'après P'jankova 1979, fig.1).

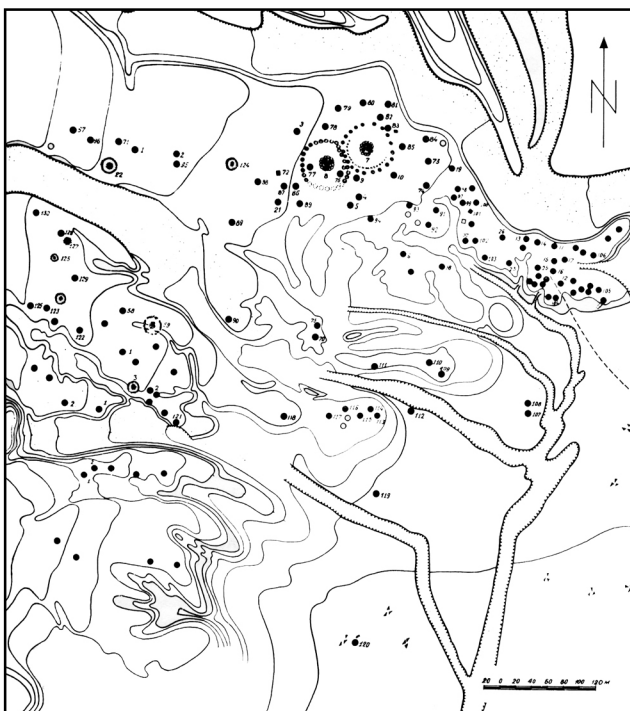


Figure 587 : Tigrovaja Balka. Plan topographique (d'après P'jankova 1986b, fig.2).

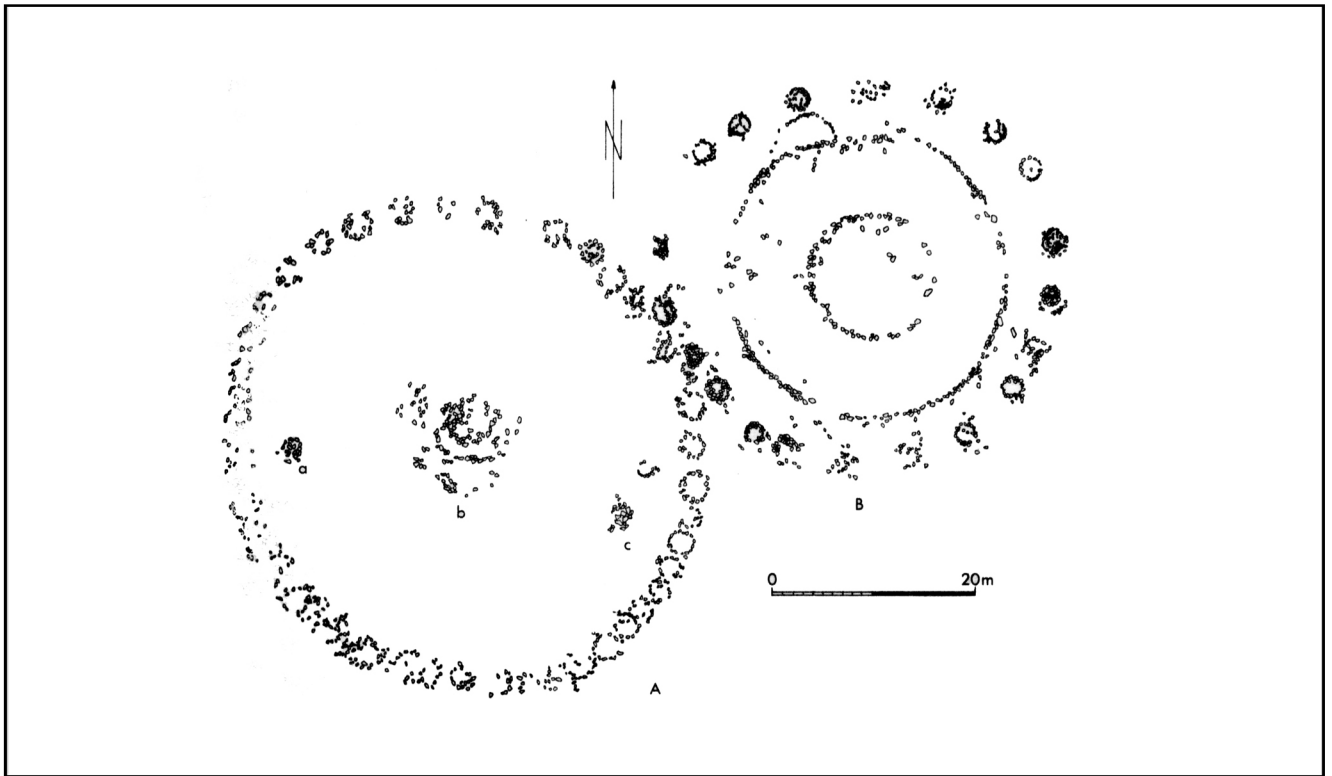


Figure 588 : Tigrovaja Balka. Plan des kourgans n°7 et 8 (d'après P'jankova 1986b, fig.8).

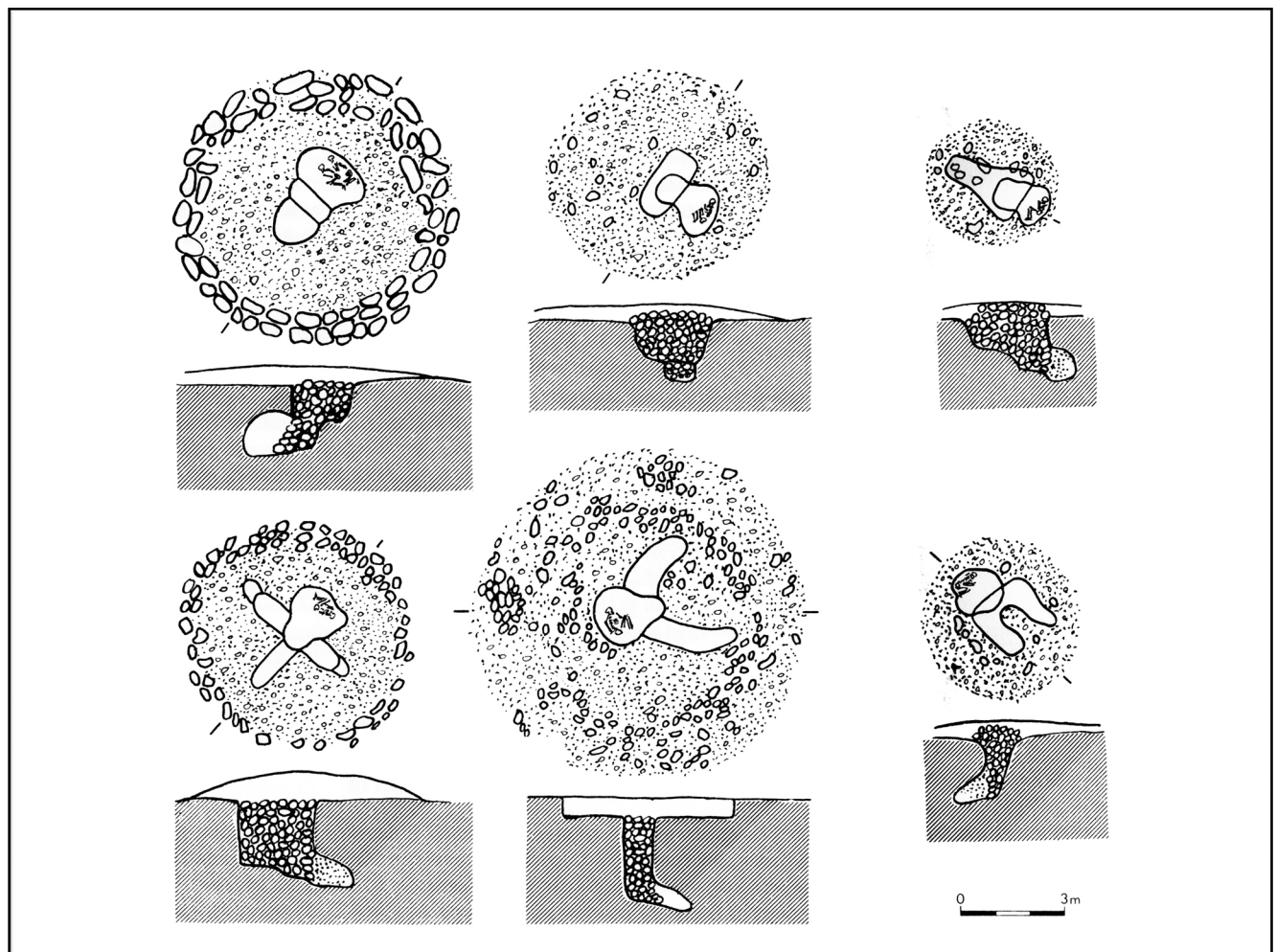


Figure 589 : Tigrovaja Balka. Tombes à chambre funéraire avec différents types de dromos (d'après P'jankova 1986b, p.18-19, fig.11-17).

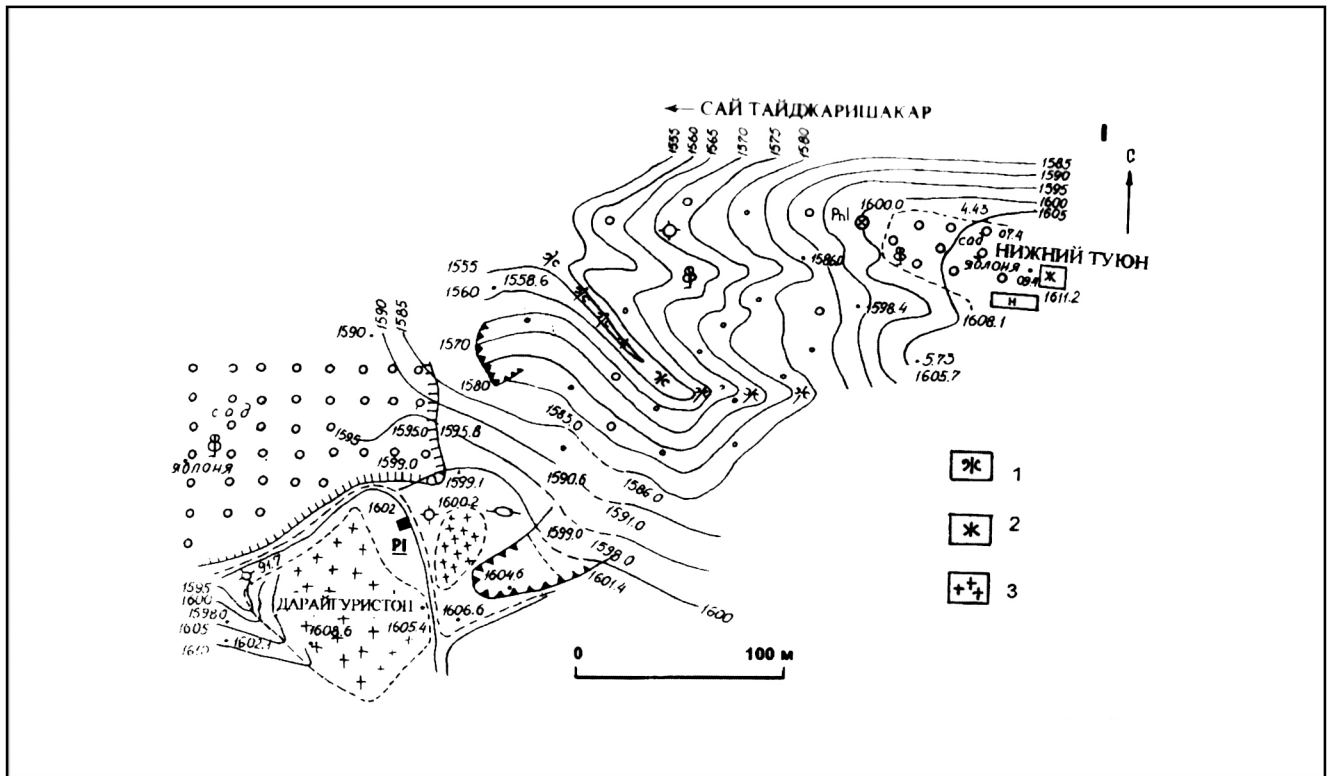


Figure 590 : Tujun. Plan topographique (d'après Vinogradova 2004a, fig.43, I).

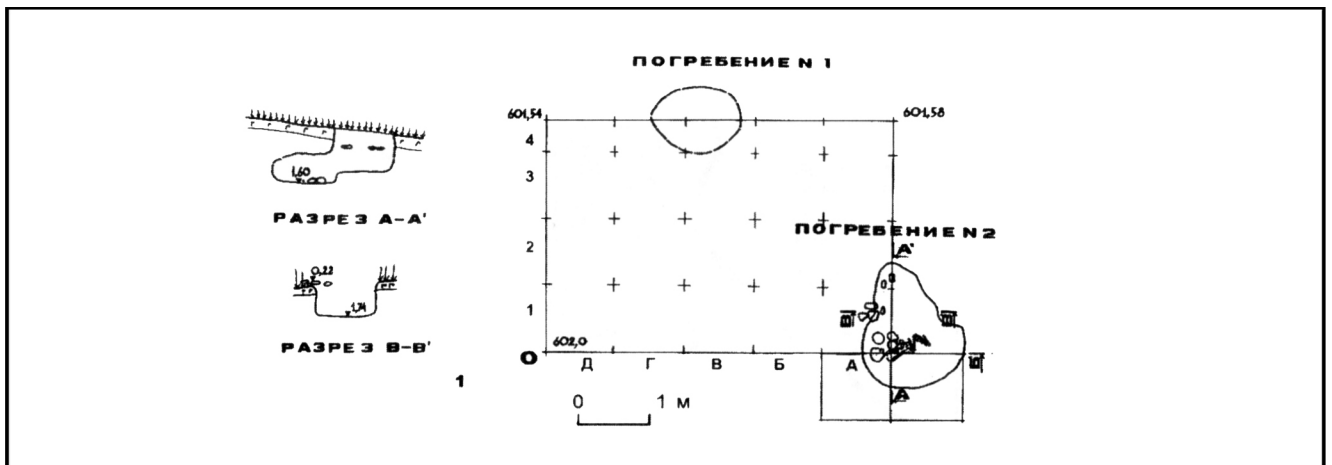


Figure 591 : Tujun. Plan du chantier et coupe de la sépulture n°2 (d'après Vinogradova 2004a, fig.43, II).

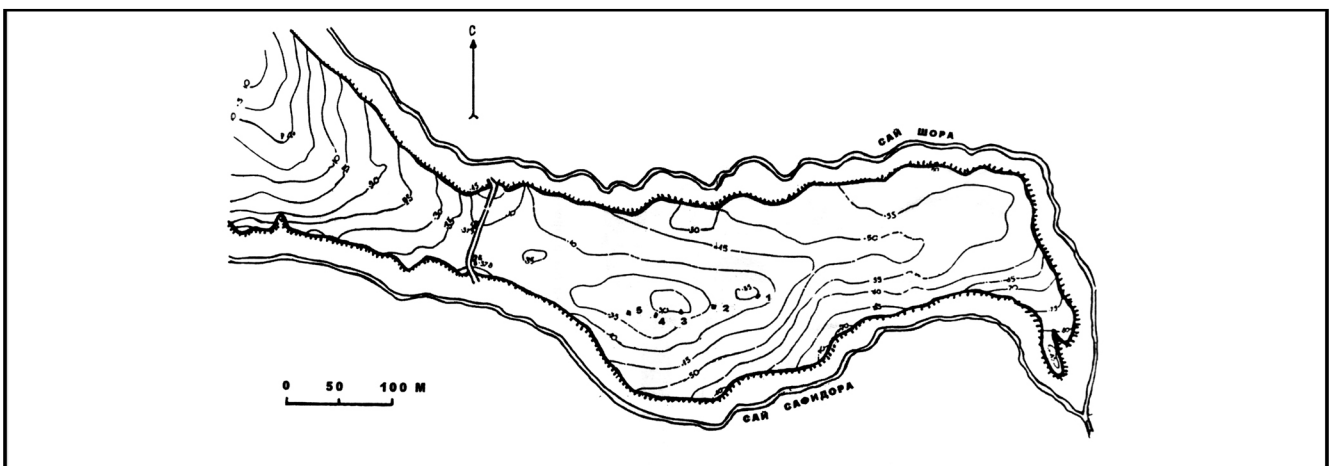


Figure 592 : Karimberdy. Plan topographique (d'après Vinogradova 2004a, fig.60).

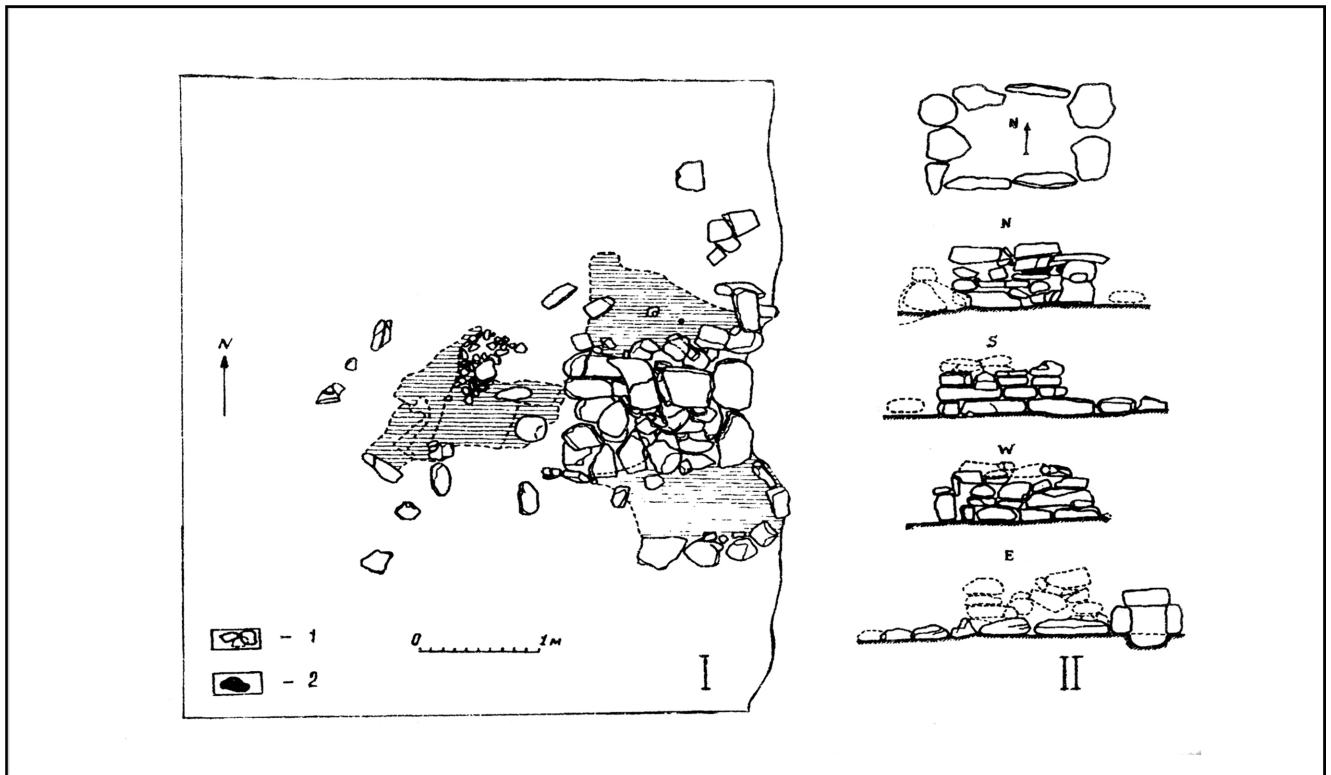


Figure 593 : Karimberdy. Tranchée A. I. Vue générale au centre ; II. Structure rectangulaire en pierres (coupes et plan).
Légende : 1. pierres ; 2. terre brûlée et fragments d'argile cuite (d'après P'jankova 1996b, fig.2).



Figure 594 : Karimberdy. Vue générale du site.

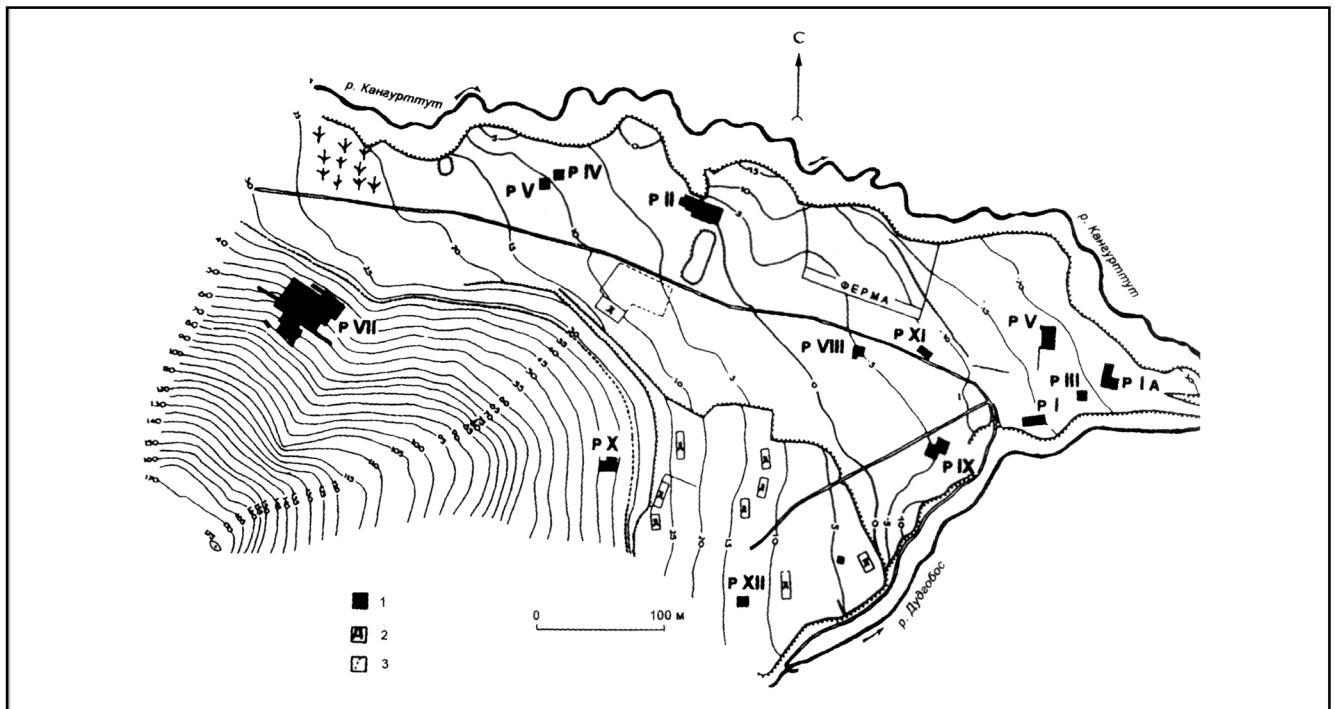


Figure 595 : Kangurtut. Plan topographique. *Légende* : 1. chantiers de fouilles ; 2. habitations ; 3. canal (d'après Vinogradova et al. 2008, fig.5).

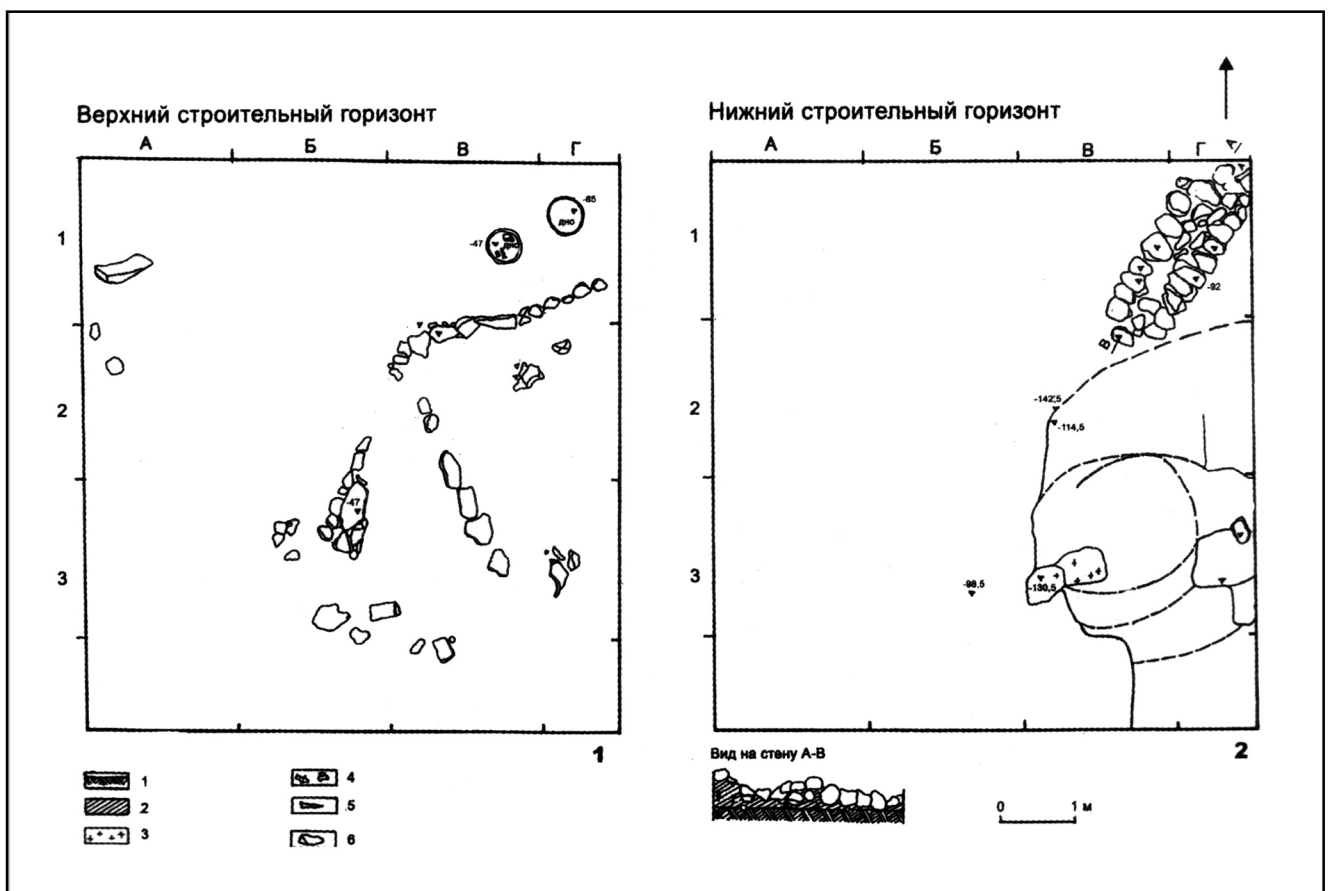


Figure 596 : Kangurtut. Chantier I (d'après Vinogradova et al. 2008, fig.6). *Légende* : 1. Niveau de construction supérieur ; 2. Niveau de construction inférieur. 1. sol vierge ; 2. loess ; 3. charbons ; 4. céramique ; 5. os ; 6. pierres.

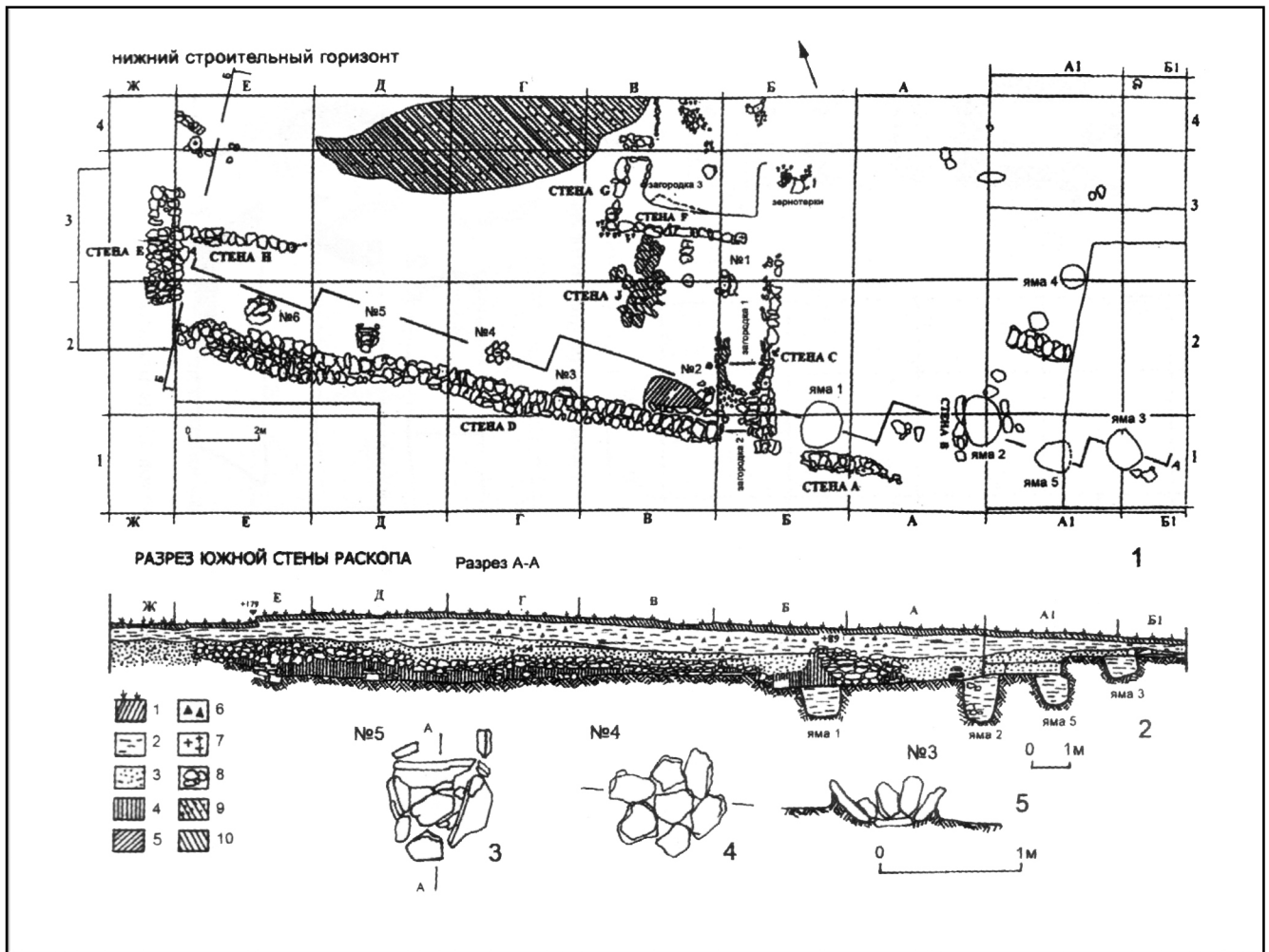


Figure 597 : Kangurtut. Chantier II. Légende : 1-2. Plan et coupe ; 3-5. structures architecturales. 1. humus ; 2. loess brun clair compact ; 3. loess brun clair ; 4. pakhsa ; 5. plateforme en argile ; 6. céramique ; 7. charbons ; 8. pierres ; 9. partie de l'habitation détruite par un glissement de terrain ; 10. dépôts tardifs (d'après Vinogradova *et al.* 2008, fig.9).

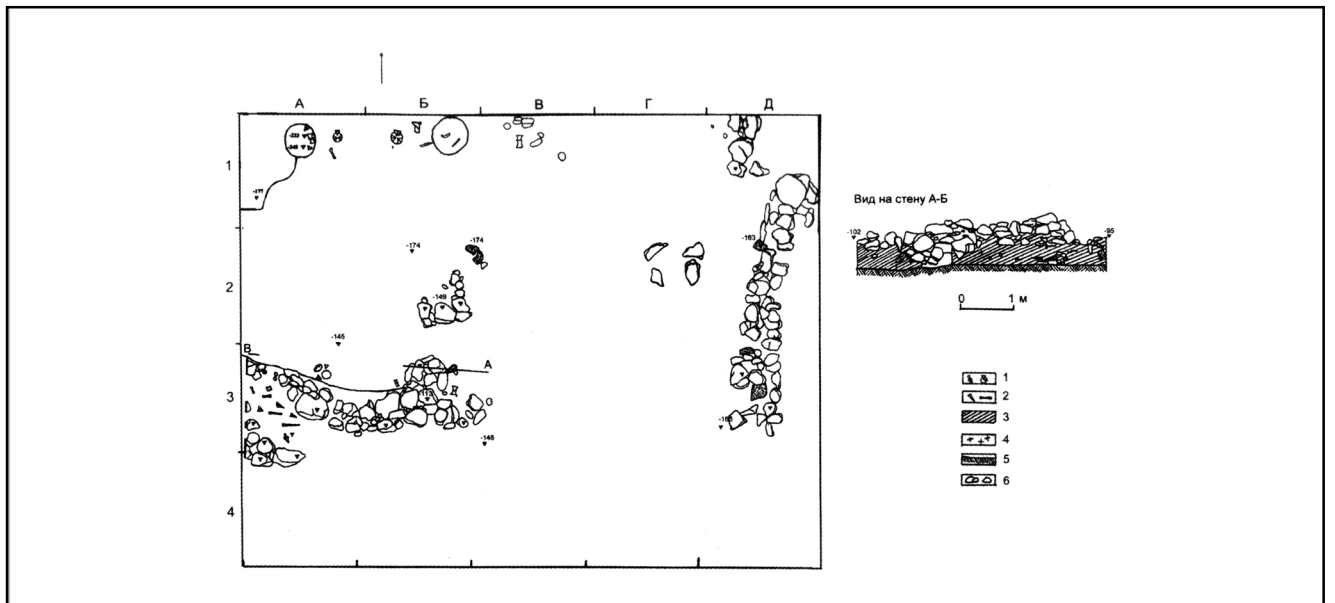


Figure 598 : Kangurtut. Chantier III. Légende : 1. céramique ; 2. os ; 3. loess ; 4. charbons ; 5. sol vierge ; 6. pierres (d'après Vinogradova *et al.* 2008, fig.15).

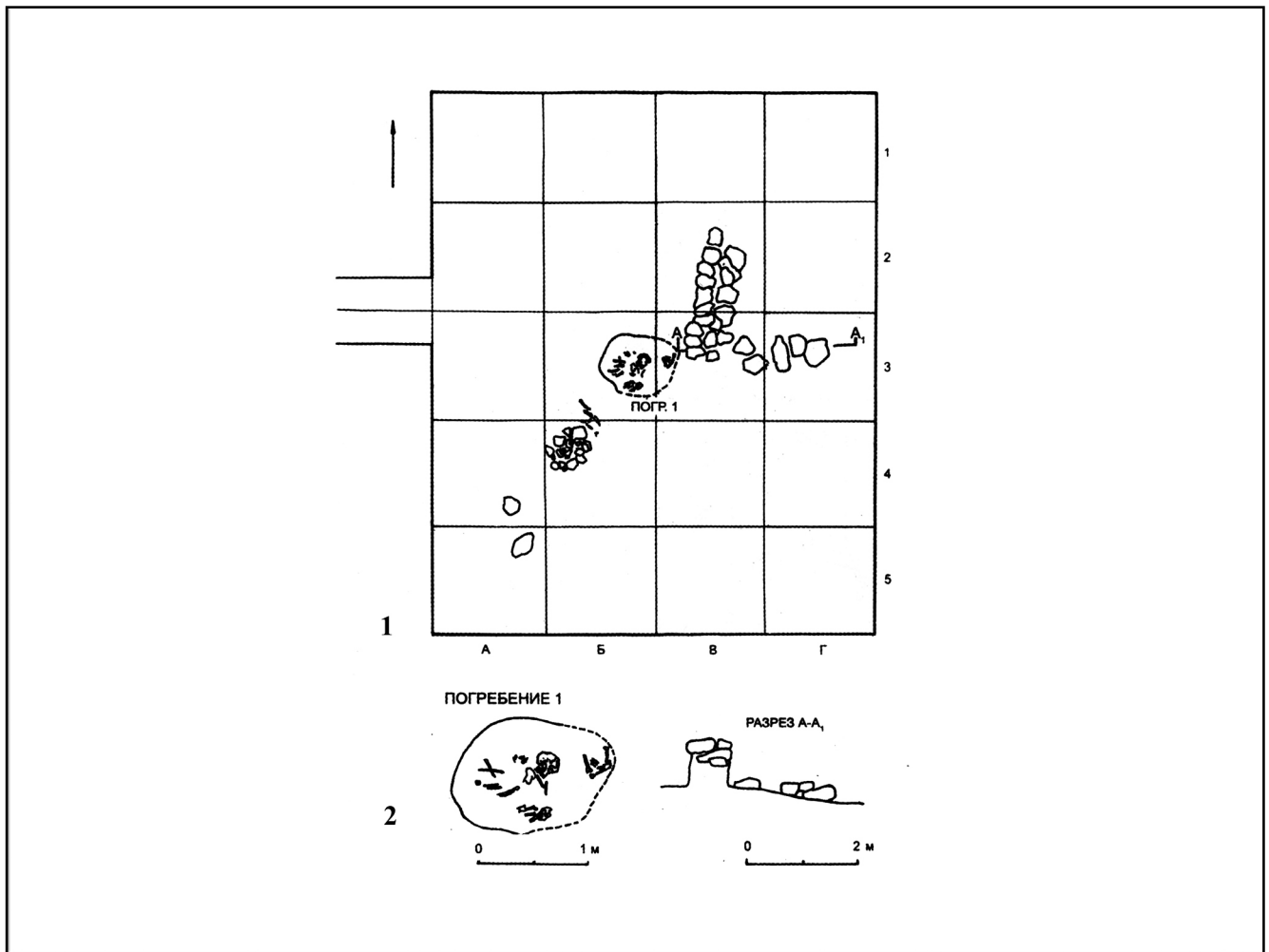


Figure 599 : Kangurttut. Chantier IV. Légende : 1. Plan ; 2. sépulture n°1 (d'après Vinogradova *et al.* 2008, fig.17).

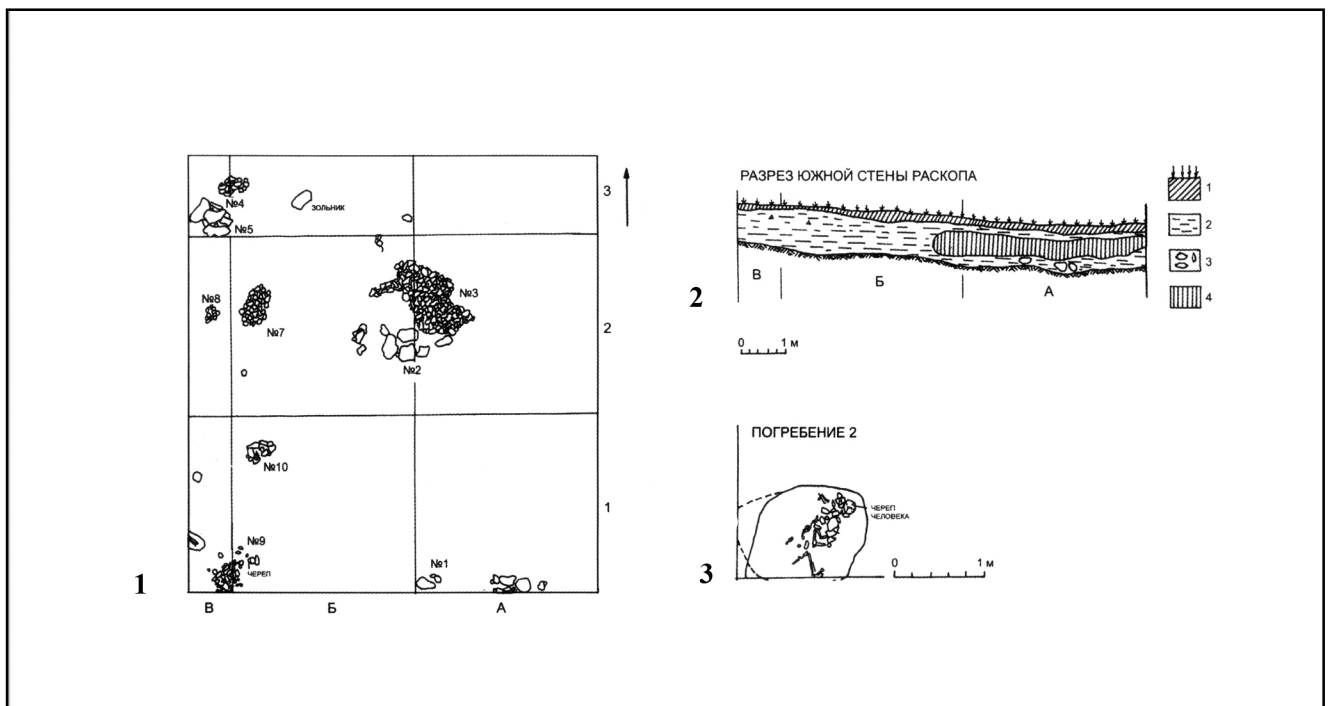


Figure 600 : Kangurttut. Chantier V. 1. Plan ; 2. Coupe de la berme sud de la fouille ; 3. Sépulture n°2.
Légende : 1. couche d'humus ; 2. loess gris foncé ; 3. pierres ; 4. pakhsa (d'après Vinogradova *et al.* 2008, fig.18).

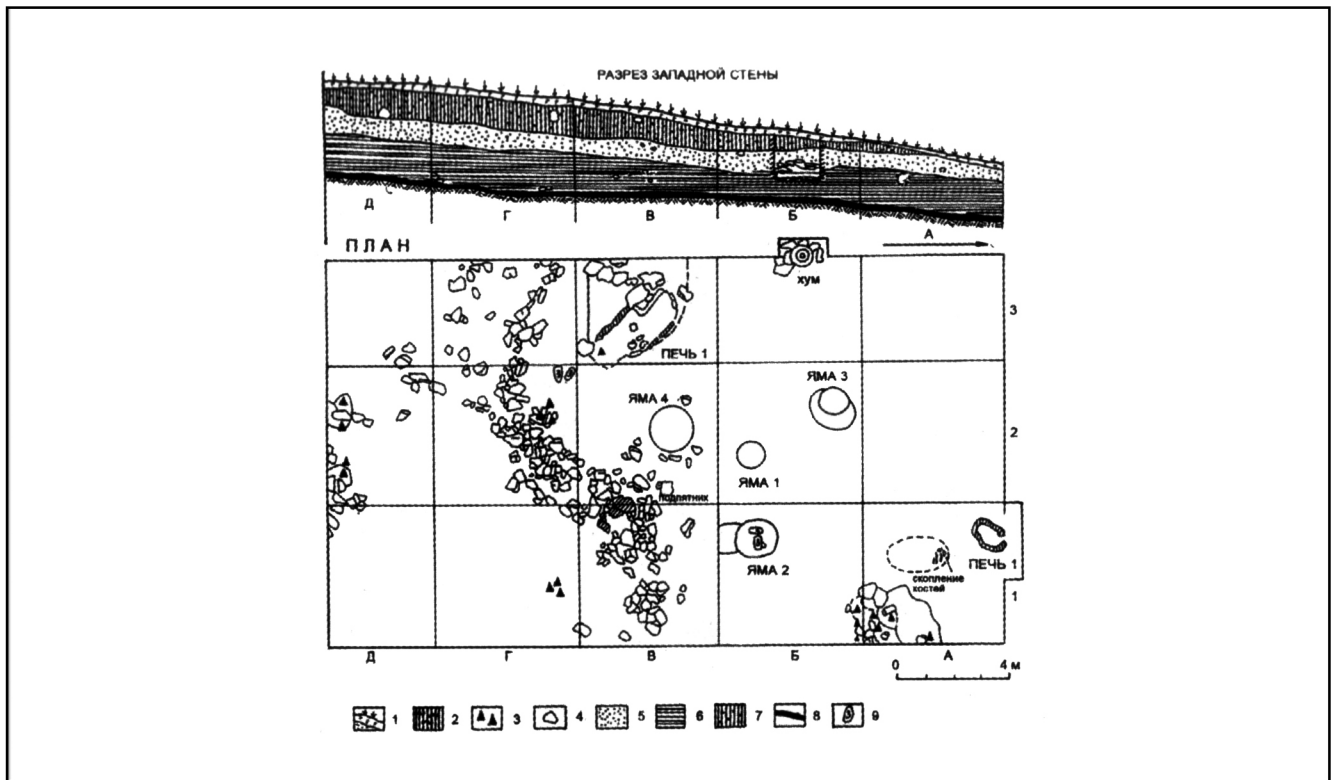


Figure 601 : Kangurttut. Chantier VI. Plan et coupe. *Légende* : 1. humus ; 2. cendres ; 3. céramique ; 4. pierres ; 5. loess gris sombre ; 6. loess jaune clair ; 7. loess brun clair ; 8. couche néolithique ; 9. meules (d'après Vinogradova *et al.* 2008, fig.20).

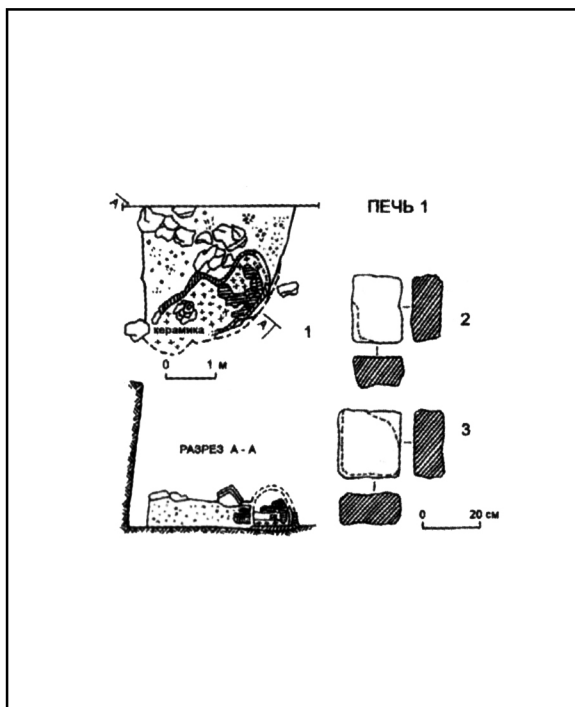


Figure 602 : Kangurttut. Chantier VI. 1. Plan et coupe du four n°1 ; 2-3 briques du four (d'après Vinogradova *et al.* 2008, fig.21).

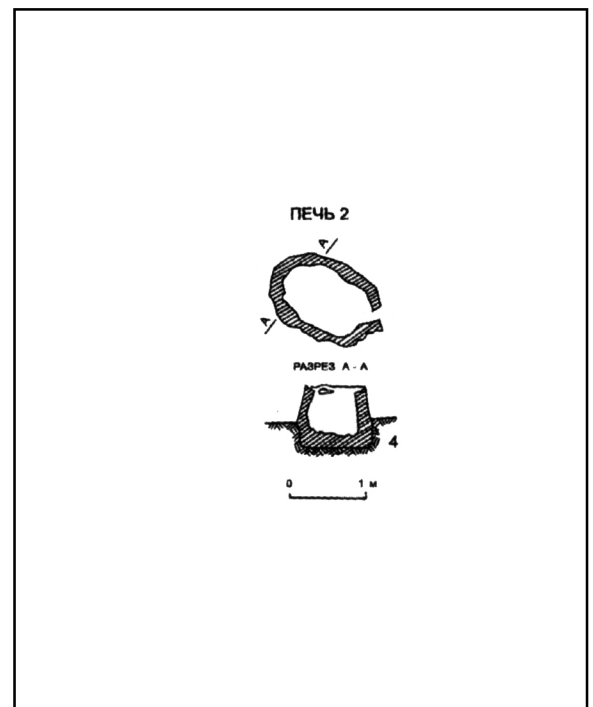


Figure 603 : Kangurttut. Chantier VI. Plan et coupe du four n°2 (d'après Vinogradova *et al.* 2008, fig.22).

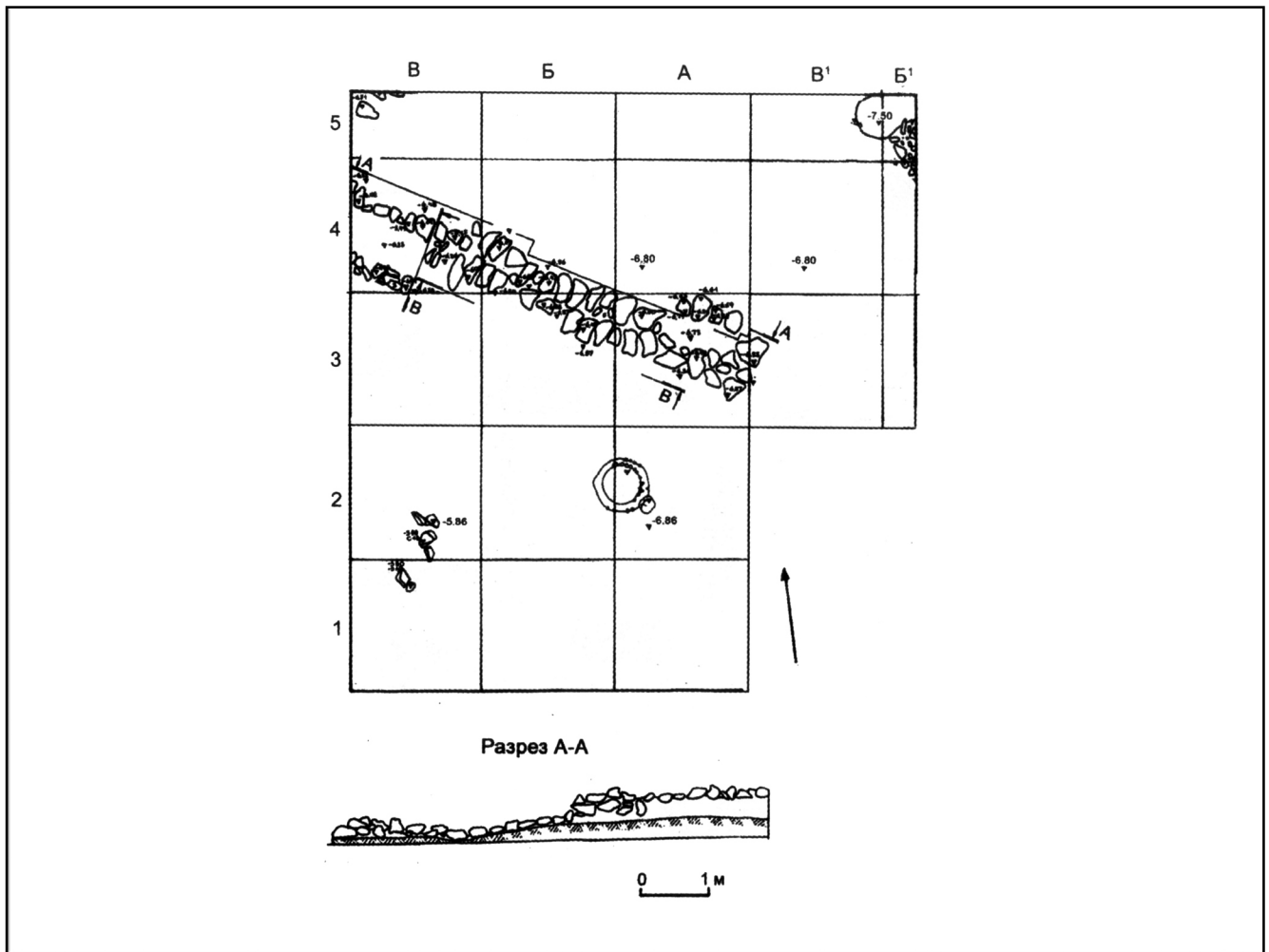


Figure 604 : Kangurttut. Chantier VIII. Plan et coupe (d'après Vinogradova *et al.* 2008, p.320, fig.26).

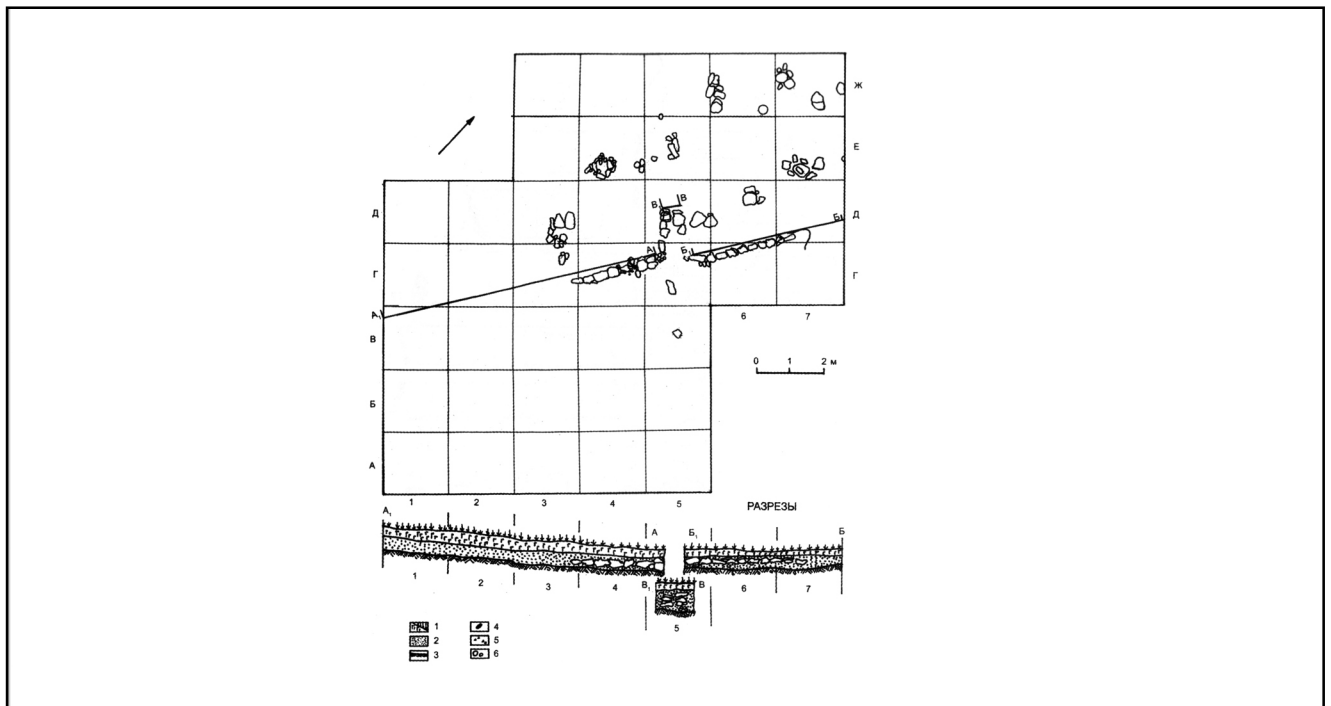


Figure 605 : Kangurttut. Chantier IX. Plan et coupe. *Légende* : 1. humus ; 2. loess gris clair ; 3. sol vierge ; 4. argile cuite ; 5. céramique ; 6. pierres (d'après Vinogradova *et al.* 2008, p.322, fig.28).

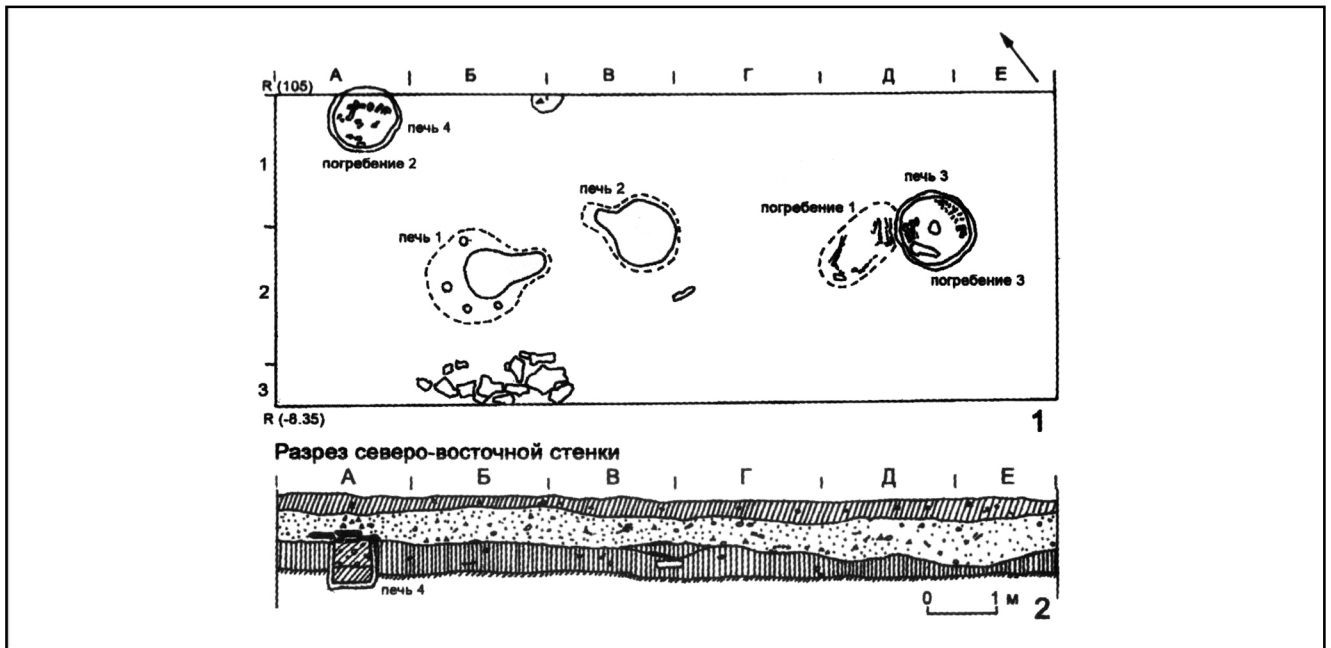


Figure 606 : Kangurttut. Chantier XI. Plan et coupe de la fouille (d'après Vinogradova *et al.* 2008, p.327, fig.30).

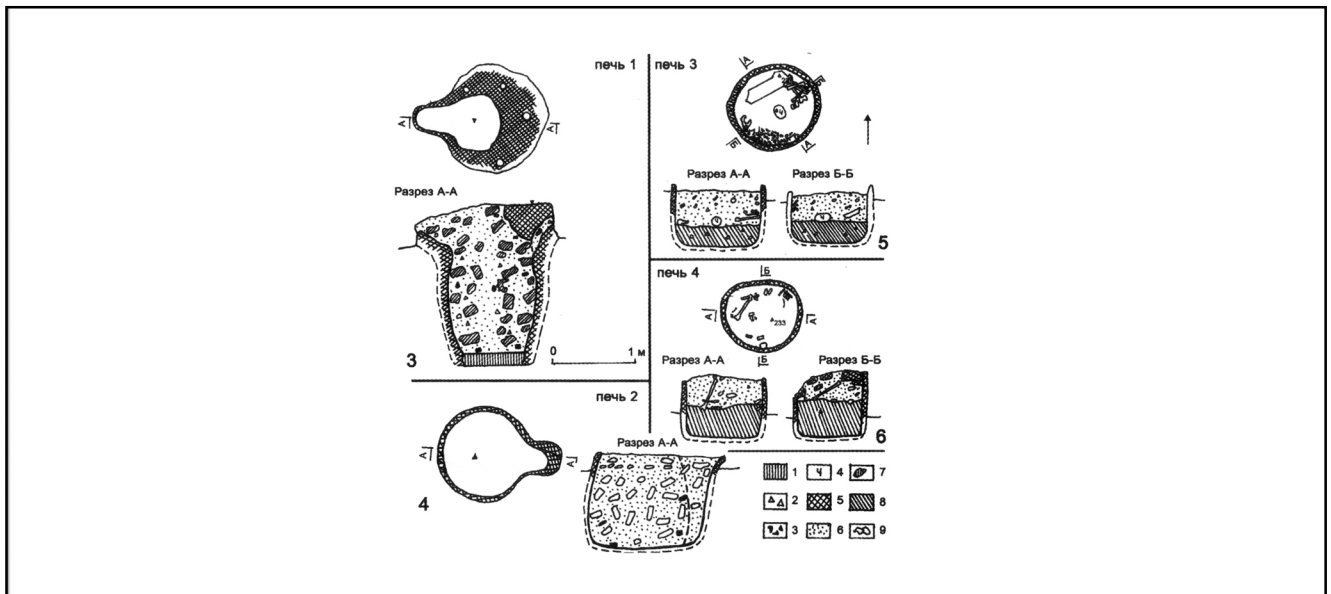


Figure 607 : Kangurttut. Chantier XI. 3-6. Fours. Légende : 1. cendres ; 2. fragments de céramique ; 3. morceaux de scories ; 4. crâne ; 5. argile cuite ; 6. argile de compacité différente ; 7. fragments de briques ; 8. enduit d'argile sous la sépulture ; 9. pierres (d'après Vinogradova *et al.* 2008, p.327, fig.30).

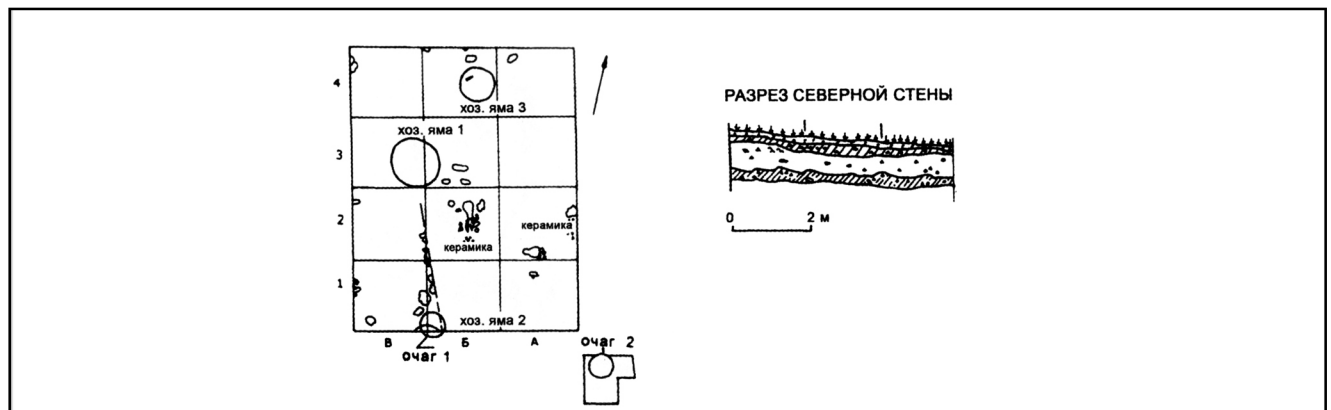


Figure 608 : Kangurttut. Chantier XII. Plan. (d'après Vinogradova 2004a, p.333, fig.34).

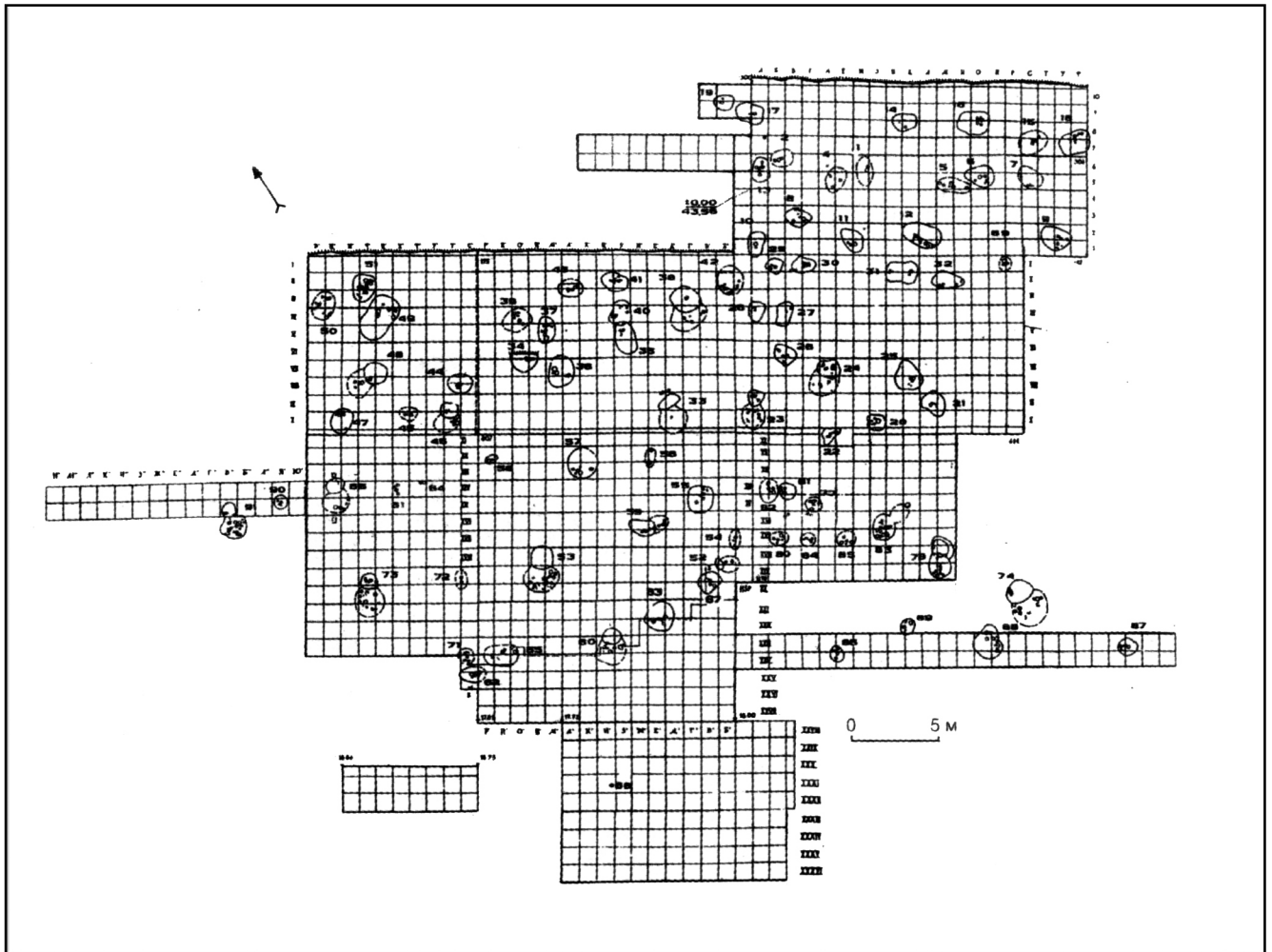


Figure 609 : Kangurttut. Plan de la nécropole (d'après Vinogradova *et al.* 2008, p.340, fig.43).

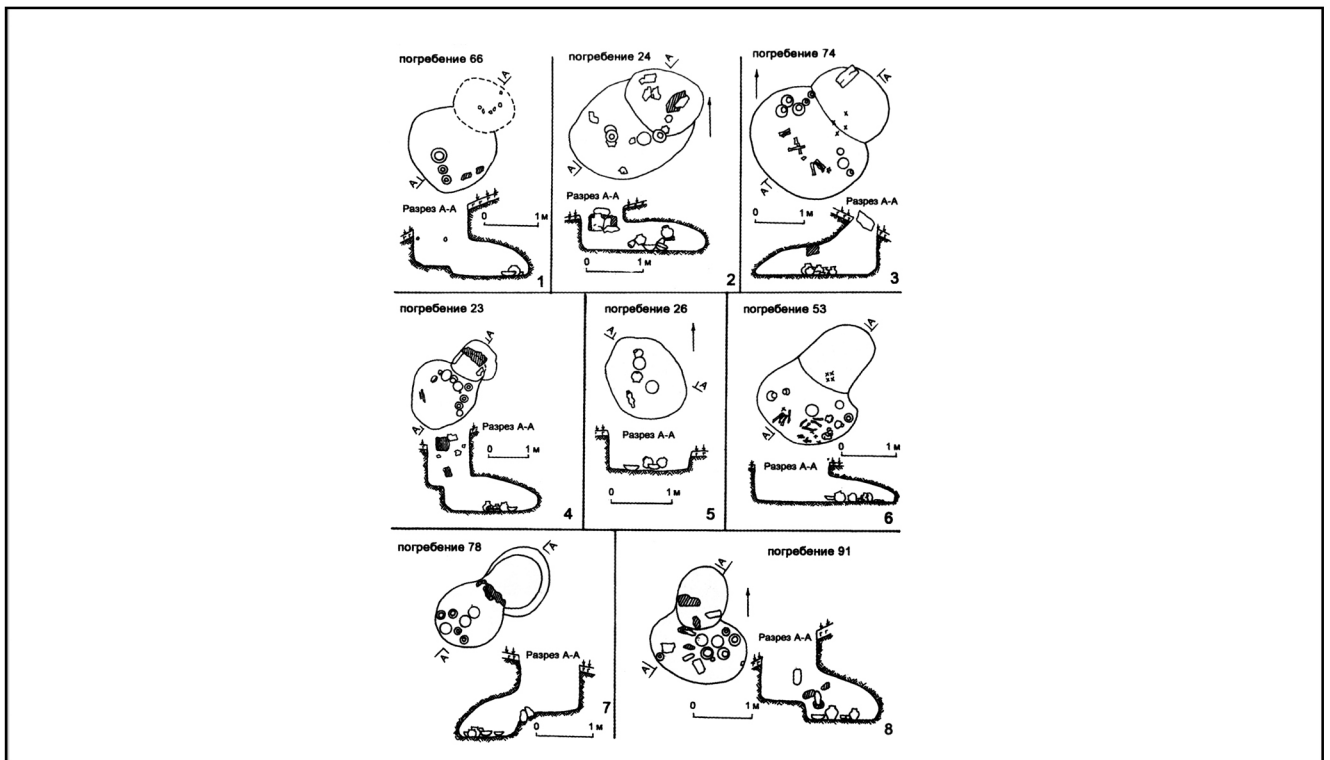


Figure 610 : Kangurttut nécropole. Types de structures funéraires. Plan et coupe des sépultures n°23, 24, 26, 53, 66, 74, 78, 91 (d'après Vinogradova *et al.* 2008, p.341, fig.44).

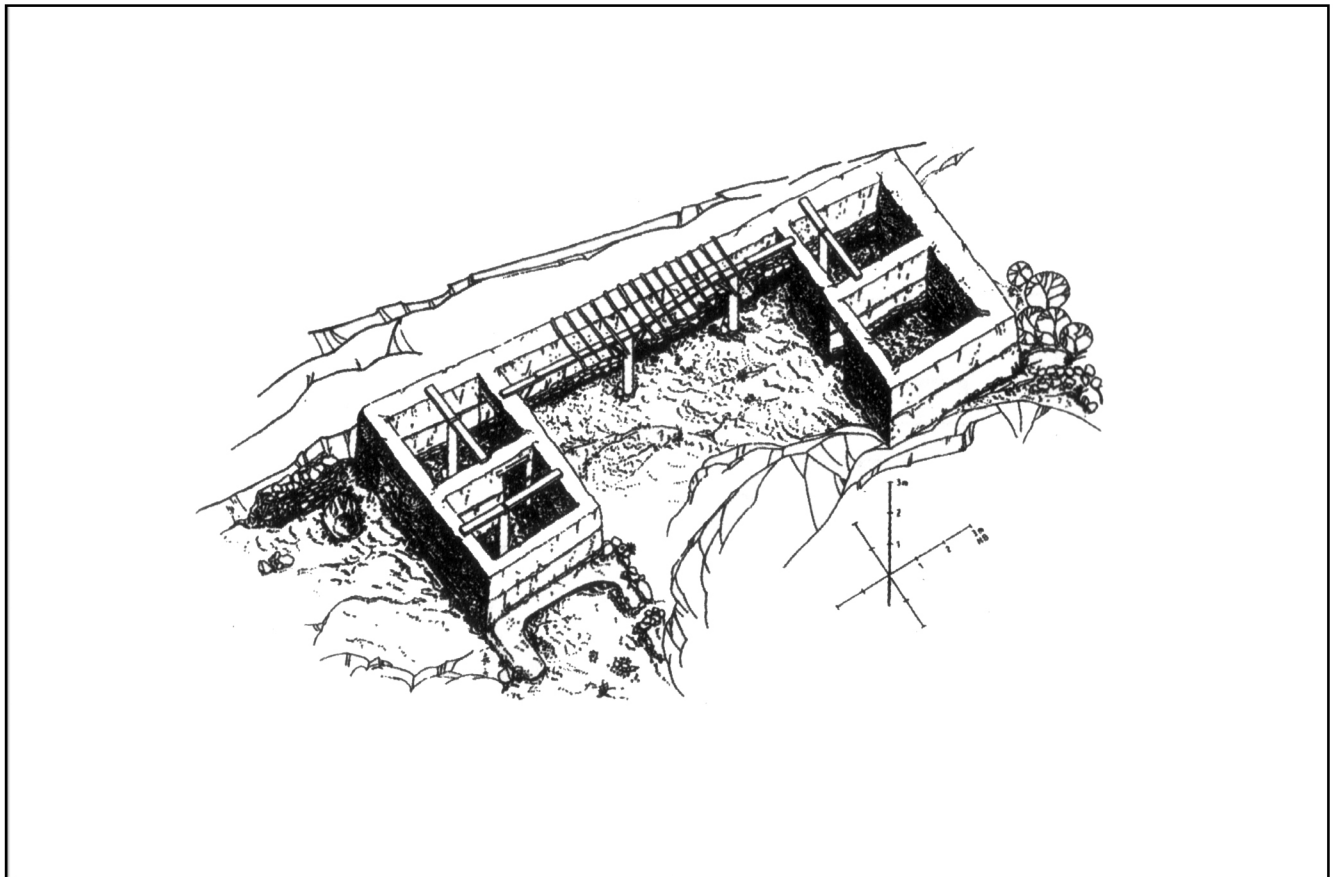


Figure 611 : Kangurttut. Chantier II. Reconstitution d'une habitation (d'après Vinogradova *et al.* 2008, p.307, fig.11).

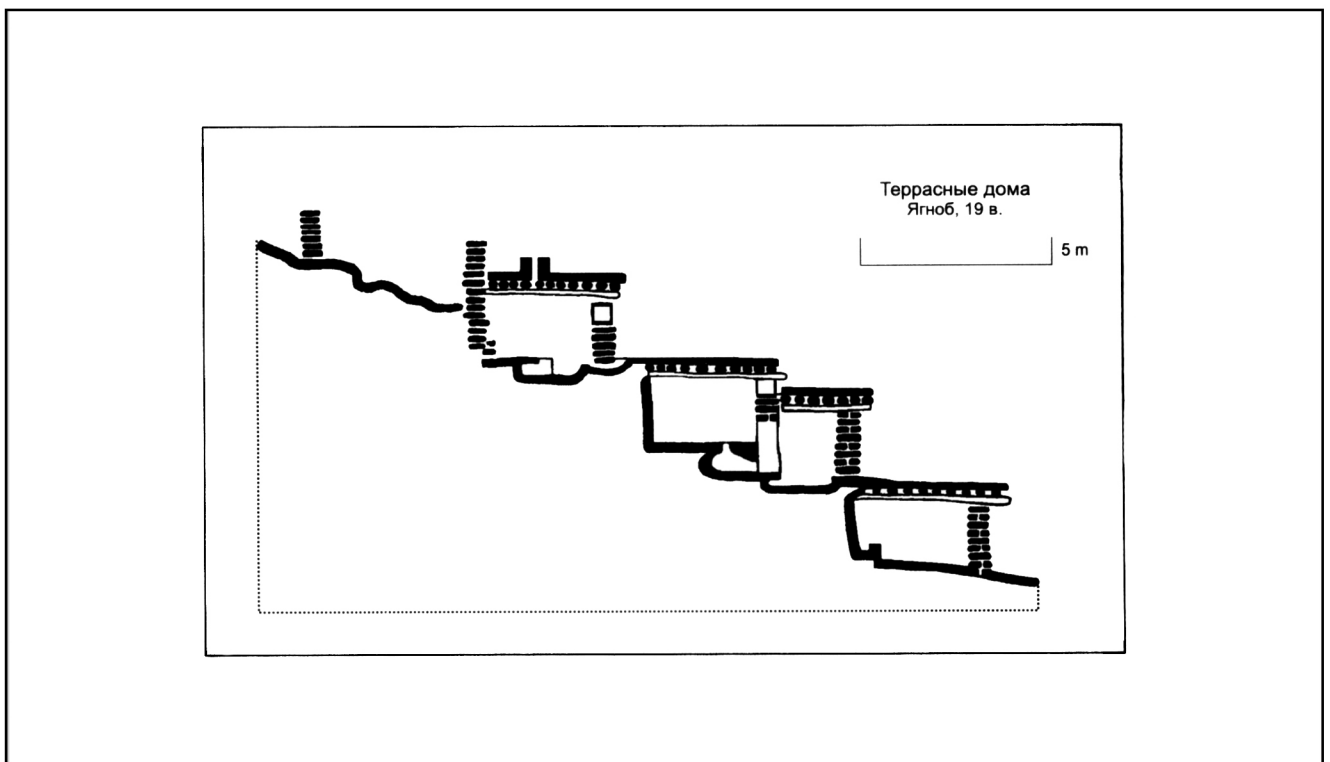


Figure 612. Reconstitution d'habitats en terrasses de la vallée du Jagnob au Tadjikistan (d'après Vinogradova *et al.* 2008, p.405, fig.4).

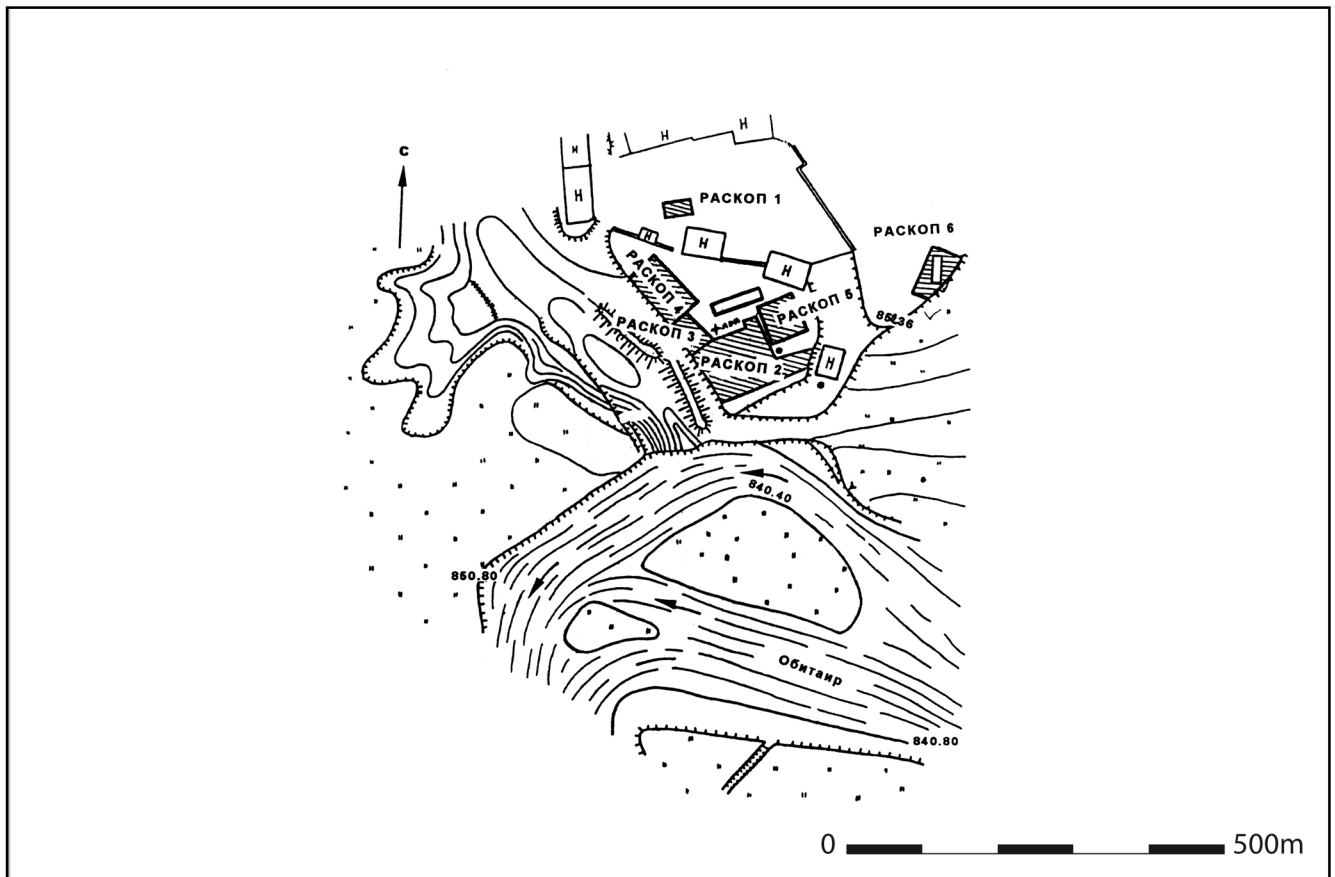


Figure 613 : Tashguzor. Plan topographique (d'après Vinogradova 2004a, p.173, fig.49).

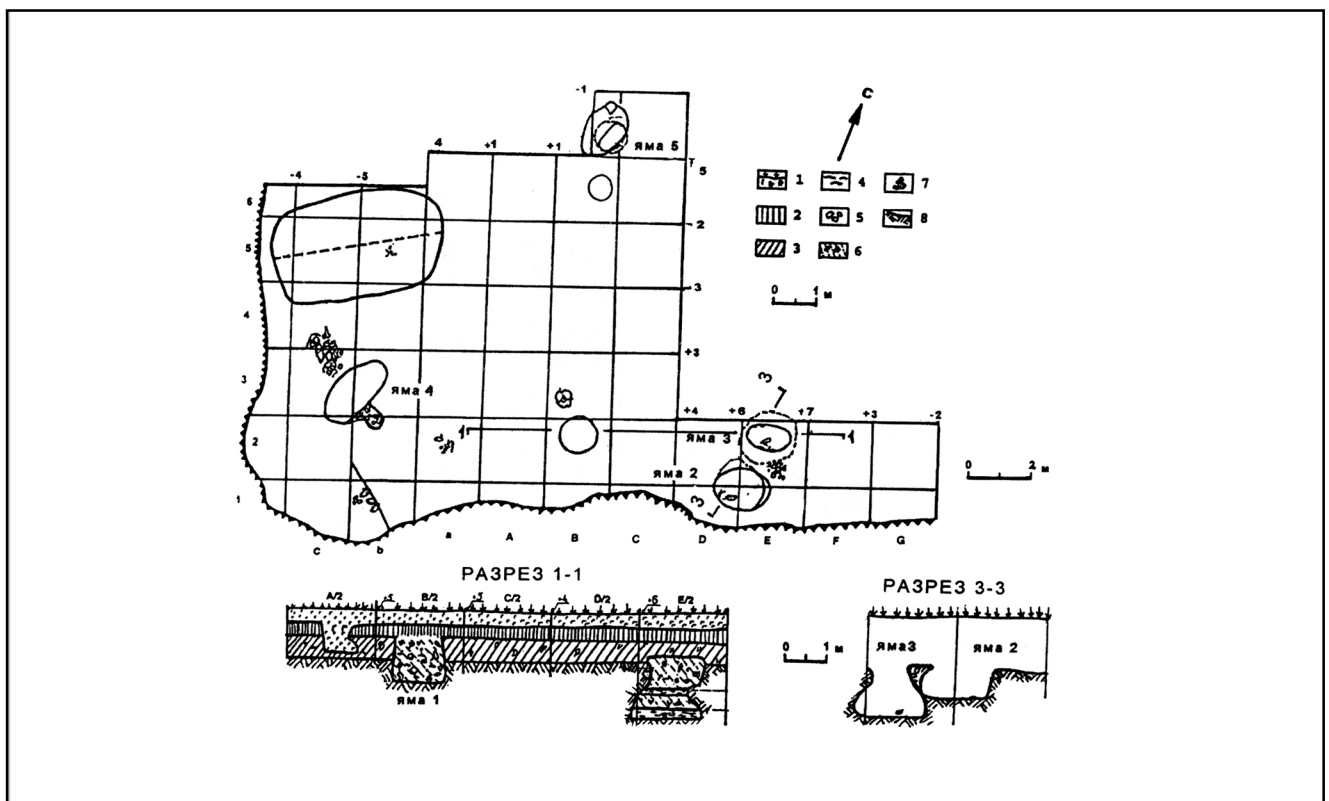


Figure 614 : Tashguzor. Plan du chantier 2. *Légende* : 1. couche d'humus ; 2. loess de couleur gris foncé ; 3. loess de couleur gris clair ; 4. couche de cendres ; 5. pierres ; 6. loess avec des cendres, de la céramique et de l'argile cuite ; 7. morceaux d'argile cuite ; 8. sol vierge (d'après Vinogradova 2004a, p.174, fig.50).

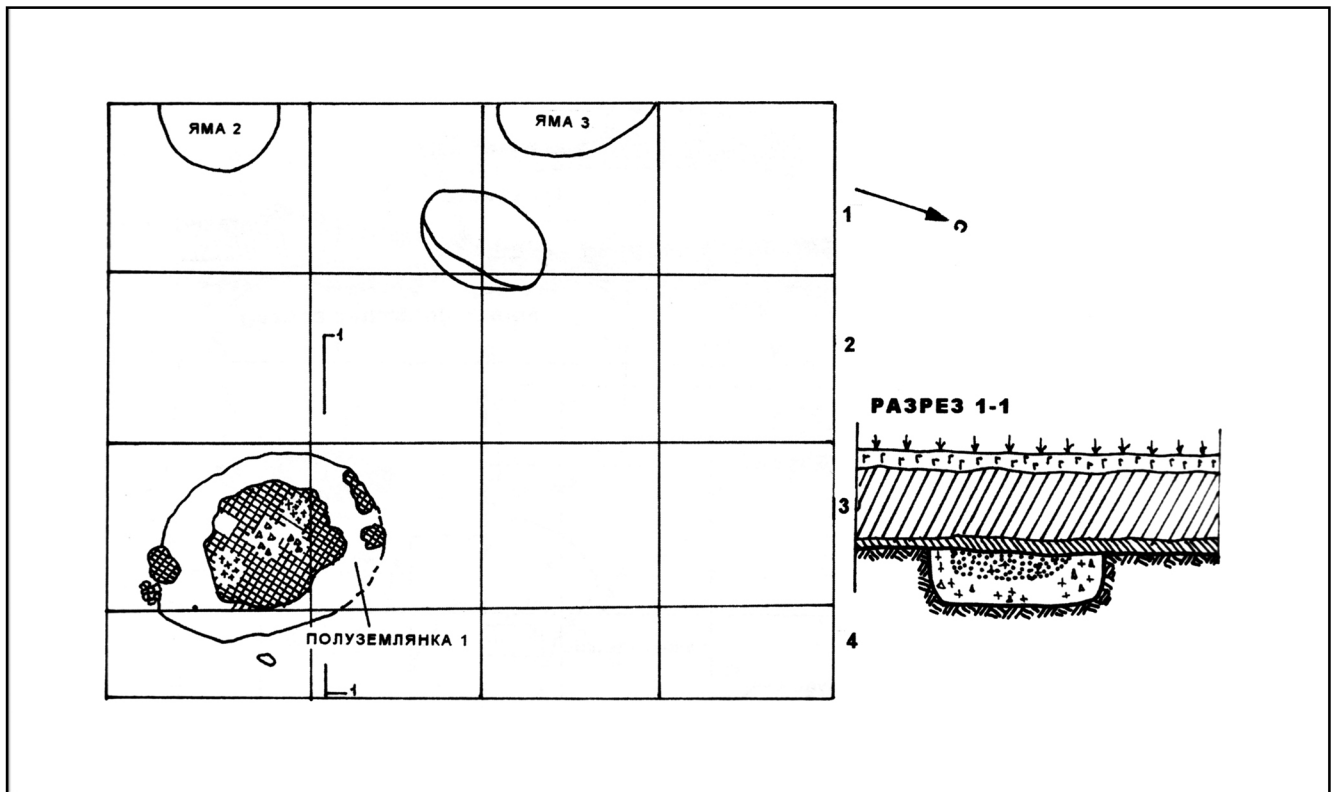


Figure 615 : Tashguzor. Plan du chantier 5. Plan et coupe de la hutte semi-enterrée n°1 (d'après Vinogradova 2004a, p.175, fig.51).

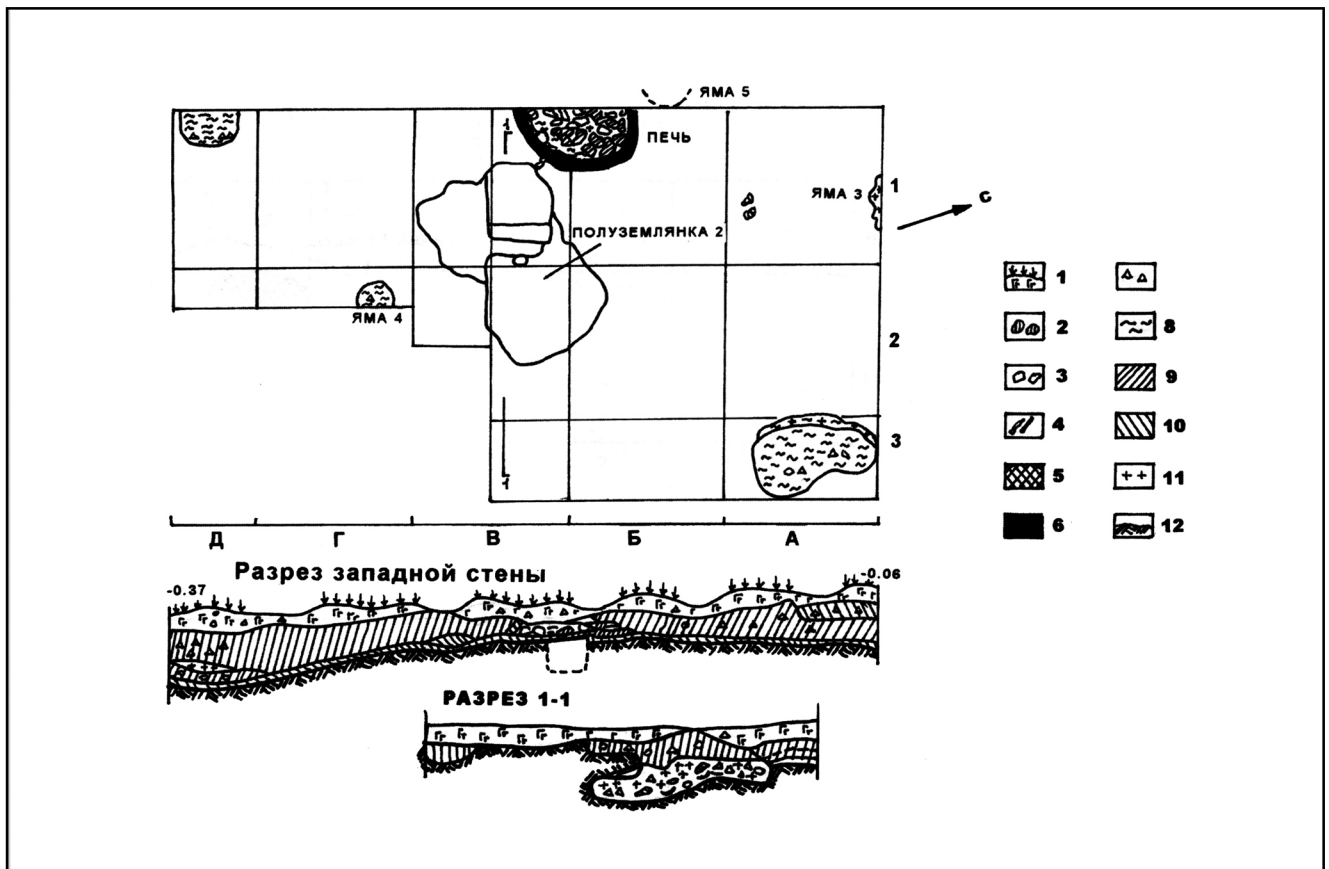


Figure 616 : Tashguzor. Plan du chantier 6. Plan et coupe de la hutte semi-enterrée n°2. *Légende* : 1. humus ; 2. argile cuite ; 3. pierres ; 4. os ; 5. loess avec taches de couleur noire ; 6. bordure d'argile du four ; 7. céramique ; 8. terre loessique de couleur brune ; 9. terre argileuse de couleur jaune clair ; 10. non précisé ; 11. charbons ; 12. sol vierge (d'après Vinogradova 2004a, p.176, fig.52).



Figure 617 : Obkukh. Plan topographique (d'après P'jankova 2003, p.216, fig.1).

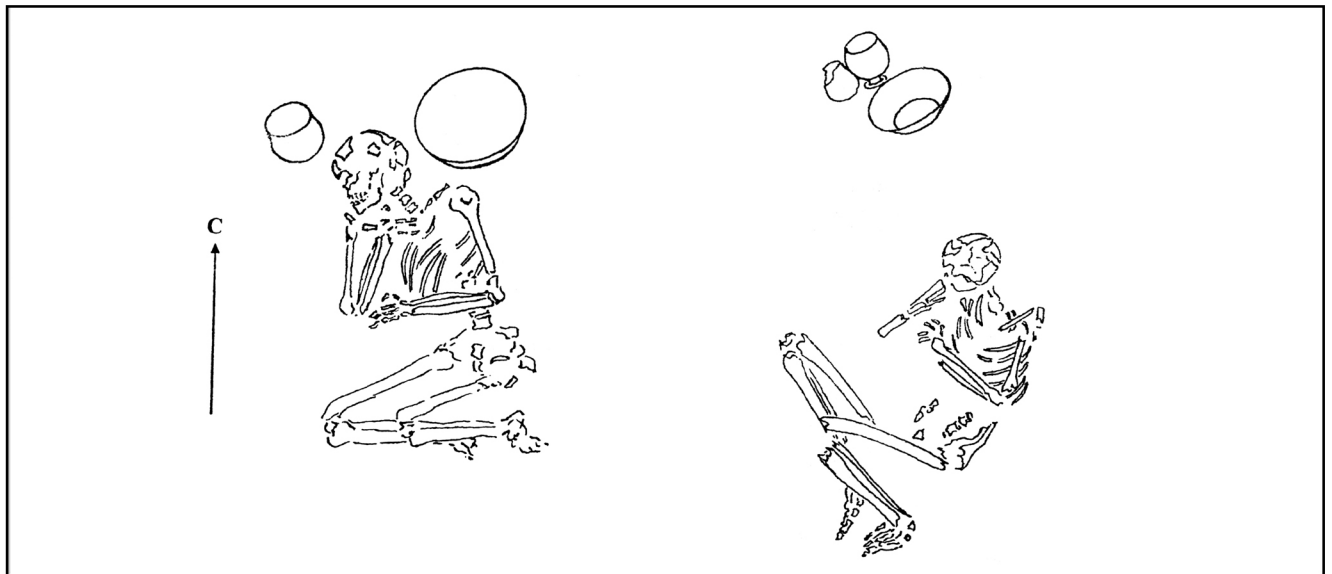


Figure 618 : Obkukh. Plan de sépultures. 1. сépulture n°19, 2 ; 2. сépulture n°12 (d'après P'jankova 2003, p.220, fig.8, 2; p.221, fig.9, 1).

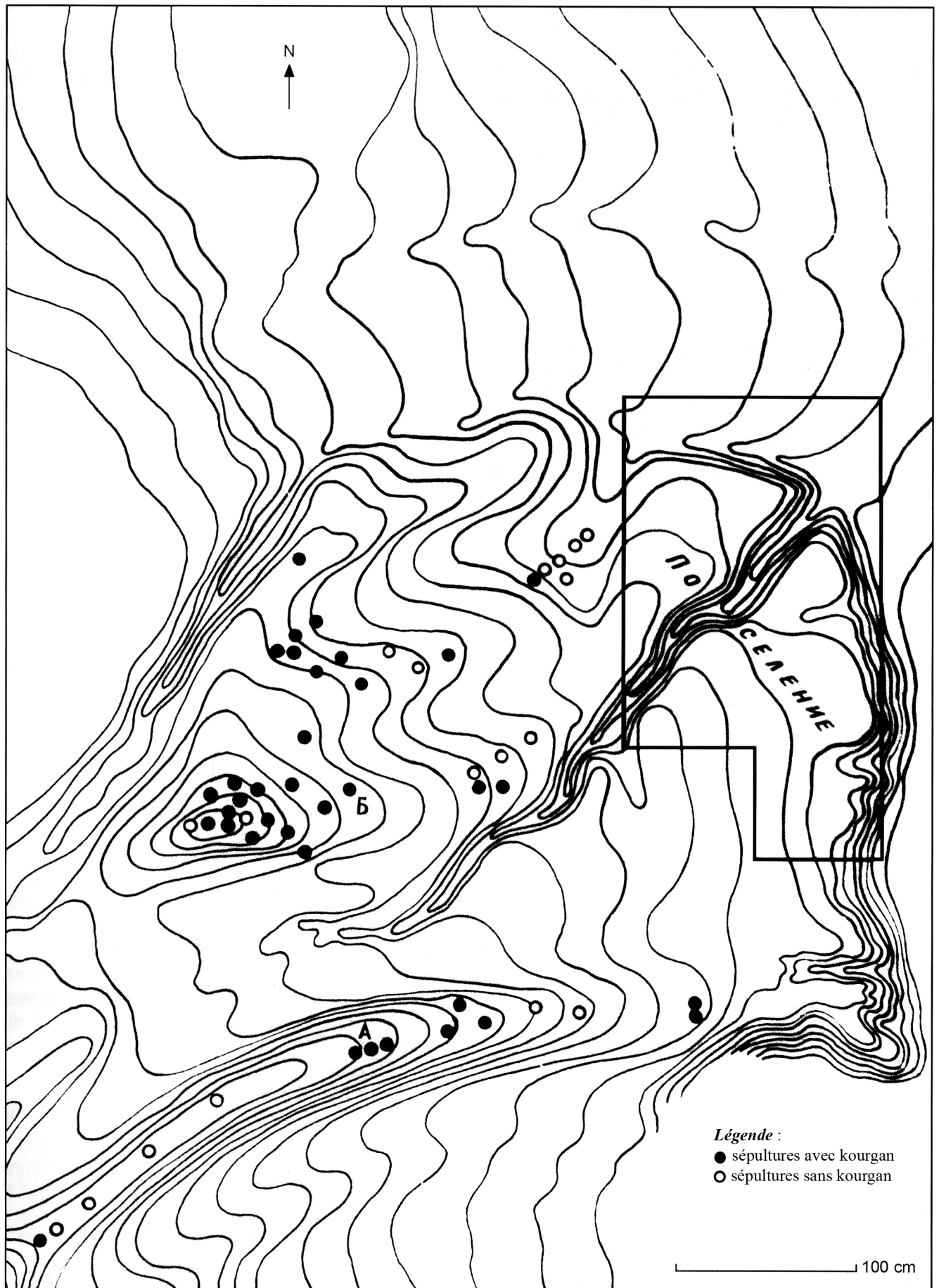


Figure 619 : Makonimor. Plan topographique (d'après P'jankova *et al.* 2009, p.101, fig.6).



Figure 620 : Gelot. Vue générale du site.



Figure 621 : Gelot. Sépulture n°2 (Vinogradova 2009, p.41, fig.1).



Figure 622. Vue de la plaine du Jakhsu depuis le site de Gelot.

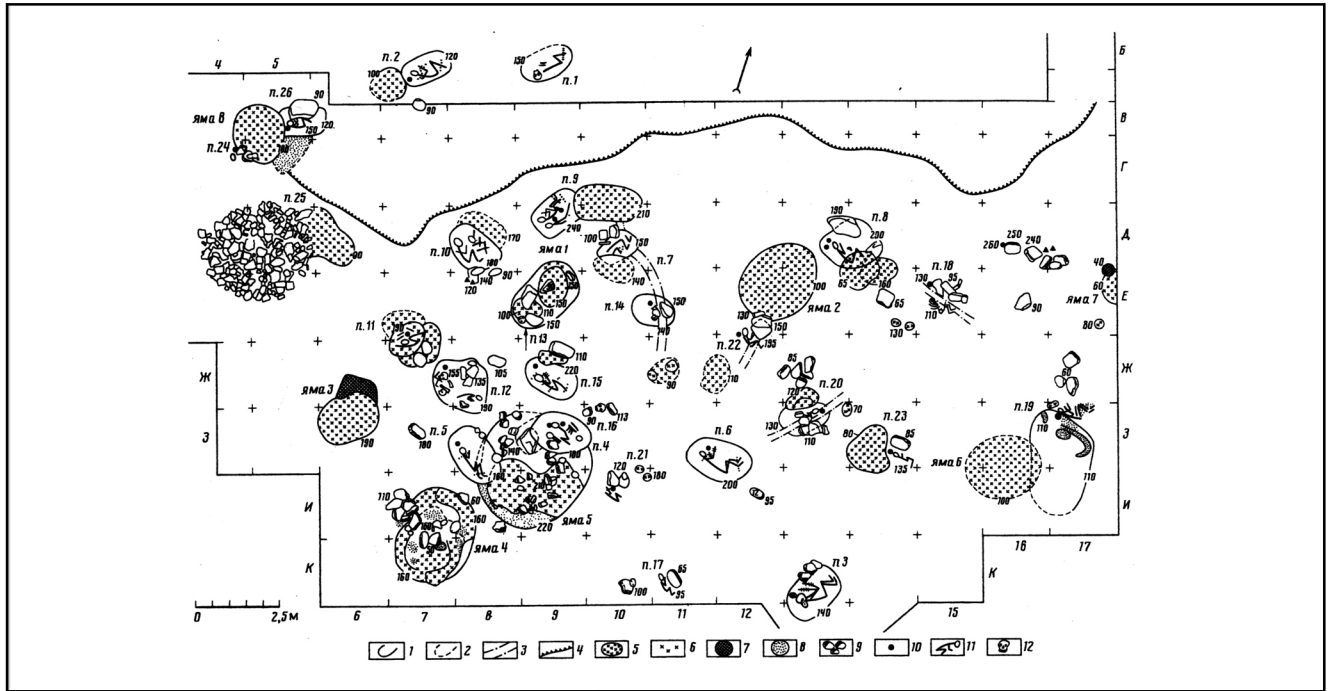


Figure 623 : Dashti-Kozy. Plan du chantier. *Légende* : 1. contours des fosses funéraires et sacrificielles avec indication de la profondeur ; 2. contours de fosses imprécises ; 3. traces de terriers ; 4. limite de la carrière ; 5. fosses charbonneuses ; 6. charbons seuls ; 7. traces de chauffe ; 8. traces et inclusions d'ocre ; 9. pierres avec indication de la profondeur ; 10. vase ; 11. squelette humain ; 12. crâne humain (d'après Isakov, Potemkina 1989, p.150, fig.2).

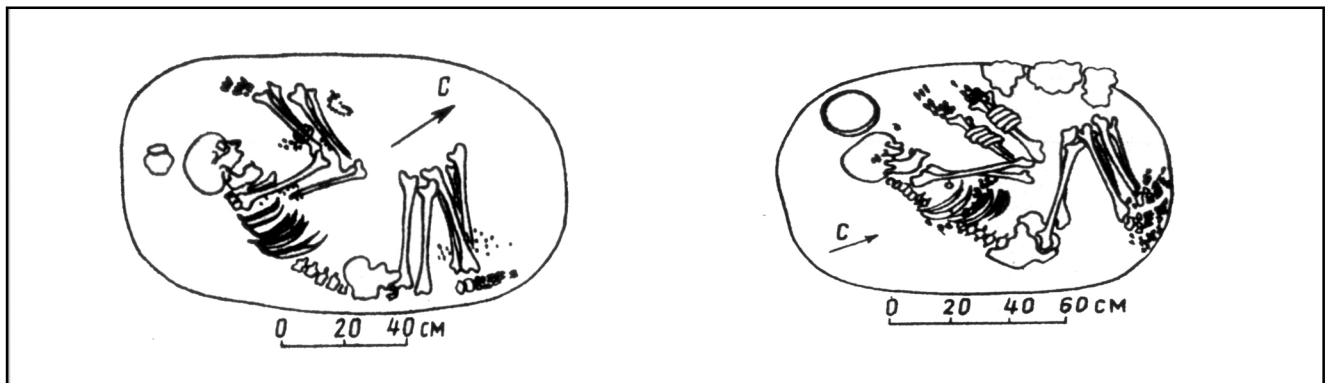


Figure 624 : Dashti-Kozy. Plans des sépultures n°2 et 3. 1. sépulture n°2 ; 2. sépulture n°3 (d'après Isakov, Potemkina 1989, p.152-153, fig.4, 1 ; 5, 1).

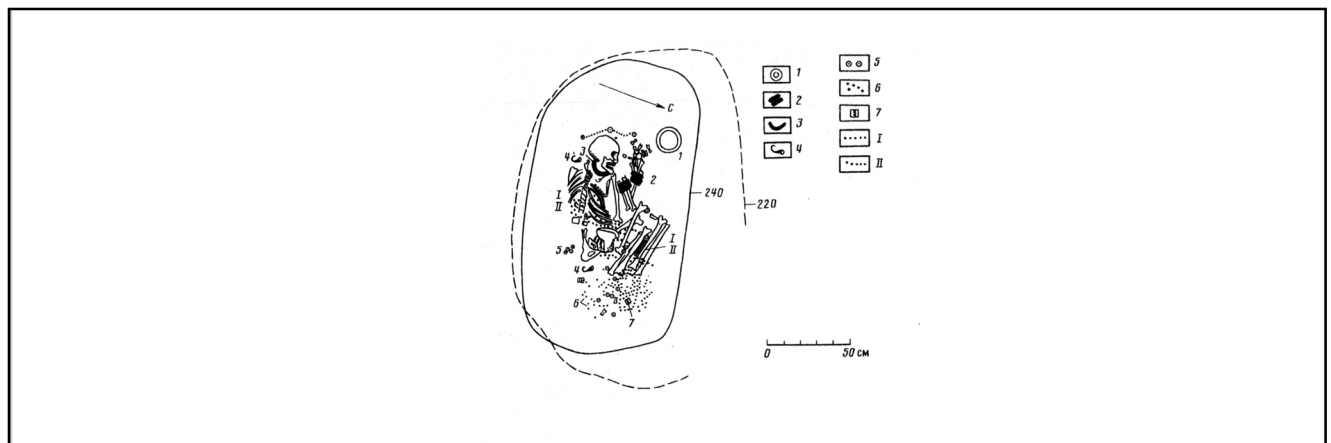


Figure 625 : Dashti-Kozy. Plans de la sépulture n°15. *Légende* : 1. vase ; 2. bracelets ; 3. collier ; 4. boucles d'oreille ; 5. grosses perles ; 6. petites perles ; 7. espaceurs ; I. rang de perles sous les os du squelette ; II. au-dessus du squelette (d'après Isakov, Potemkina 1989, p.155, fig.7).

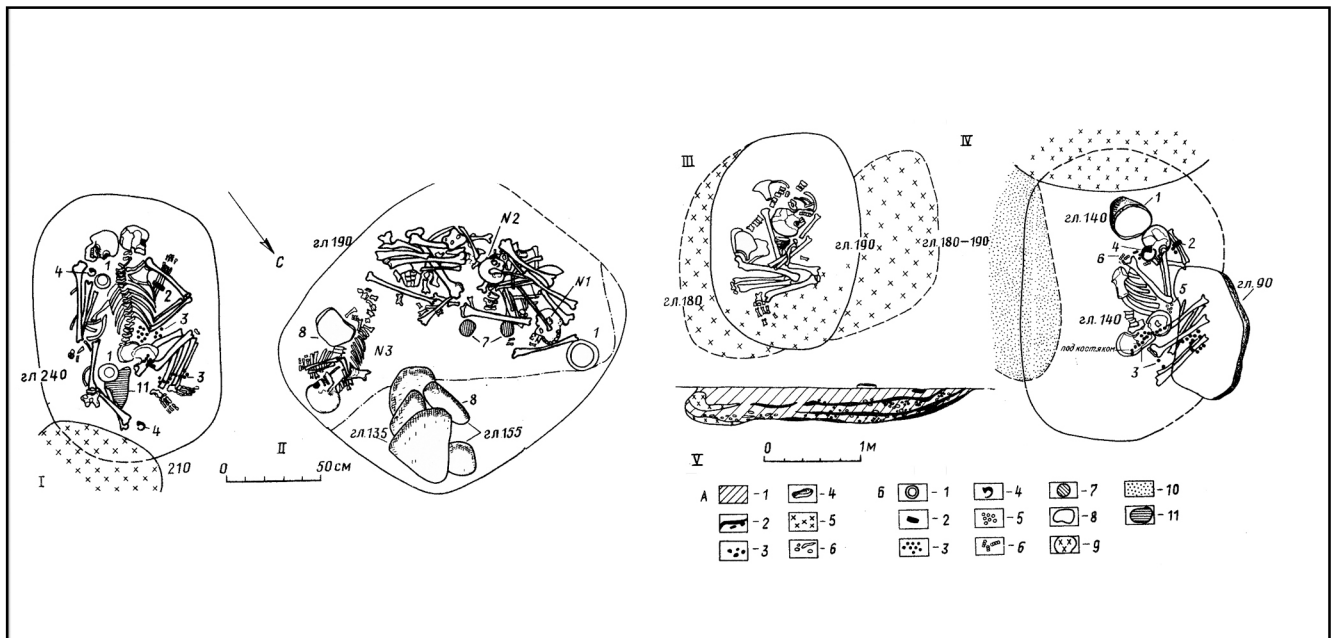


Figure 626 : Dashti-Kozy. Plan des sépultures 9, 11, 12 et 26. I - sép.n°9 ; II - sép.n°12 ; III - sép.n°11 ; IV - sép.n°26 ; V - coupe de la fosse n°4 sur une ligne A - B. *Légende* : A - pour la coupe de la fosse 4 : 1. loess ; 2. couche charbonneuse ; 3. inclusions de charbons ; 4. pierres ; 5. couche charbonneuse ; 6. inclusions d'ocre ; B - pour les plans : 1. vase ; 2. bracelet ; 3. grosses perles ; 4. anneau ; 5. petites perles ; 6. séparateurs ; 7. râpe ; 8. pierres ; 9. couche de charbons ; 10. ocre ; 11. traces brunes (Isakov, Potemkina 1989, p.154, fig.6).

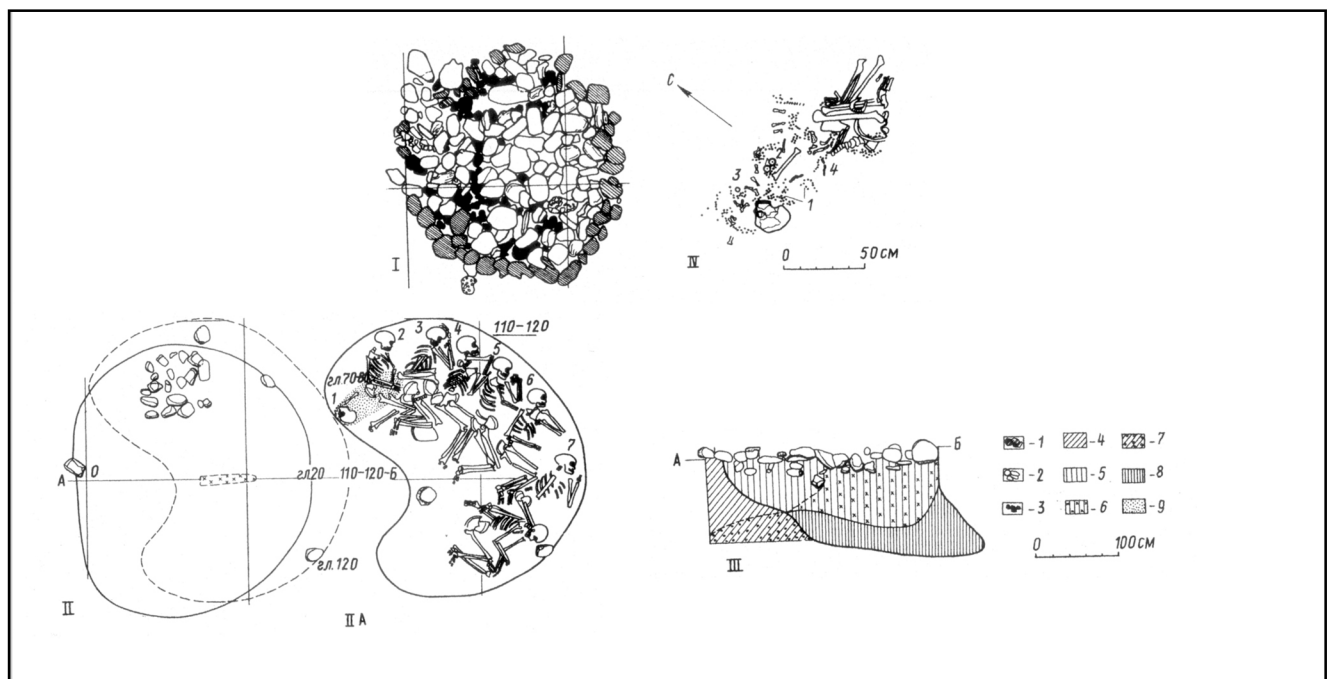


Figure 627 : Dashti-Kozy. Plan de la sépulture n°25. *Légende* : I. Tumulus de pierres sur la surface de la fosse ; II. Contours de la fosse sous le tumulus ; II A. Inhumations anciennes sur le fond de la fosse ; III. coupe de la fosse ; IV. Inhumation dans l'entrée (n°1). Pour les figures I-III : 1. Pierres posées sur le côté ; 2. pierres posées à plat ; 3. pierres du jarus inférieur ; 4. loess compact jaune-gris (sol vierge) ; 5. couche gris foncé (remplissage de la fosse) ; 6. couche gris foncé avec inclusion de charbons et de petits fragments de craie ; 8. couche d'humus gris ; 9. emplacement de la sépulture dans l'entrée. Pour la figure IV : 1. petites perles en bronze ; 2. miroirs en bronze ; 3. anneau en bronze ; espaceur (d'après Isakov, Potemkina 1989, p.157, fig.9).



Figure 628 : Dzham. Vue générale.

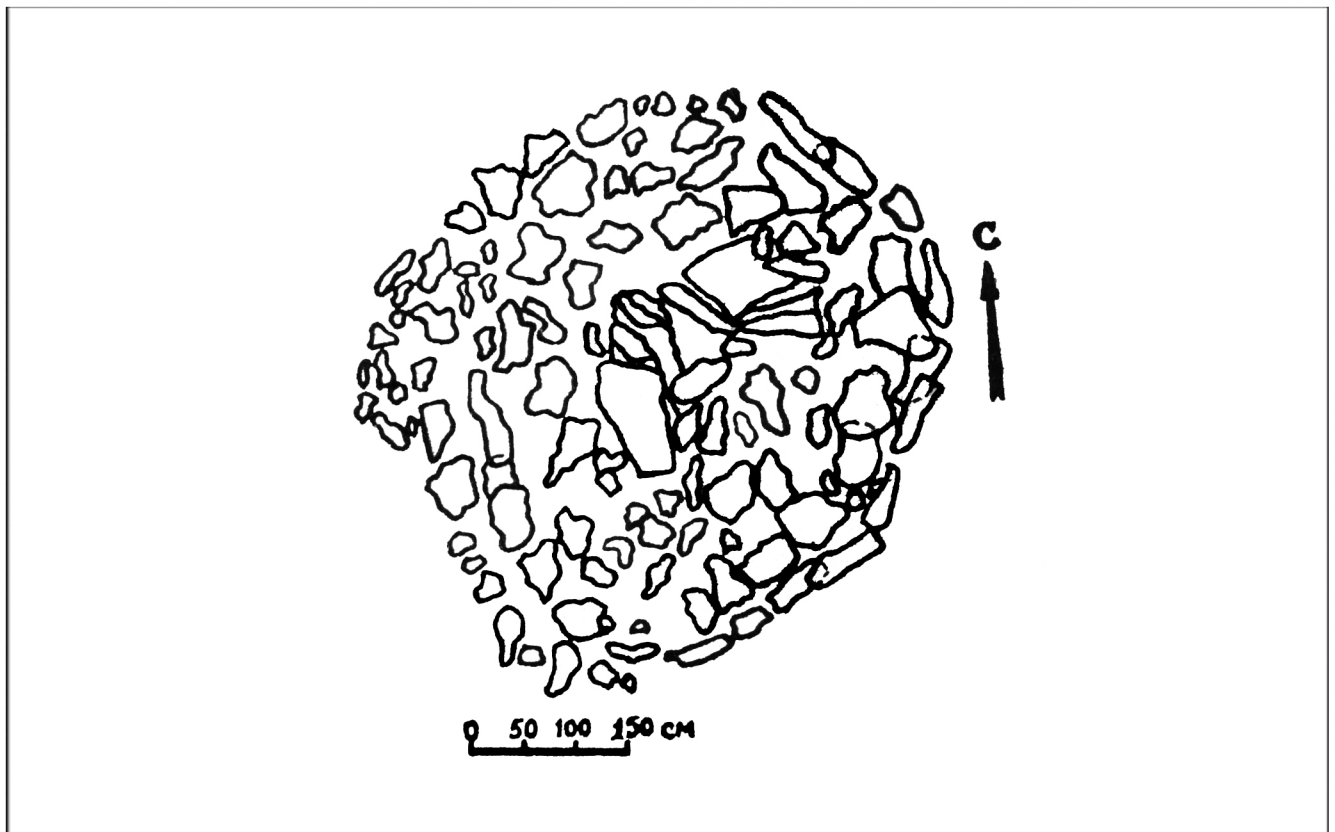


Figure 629 : Juzhbok II. Plan d'une structure funéraire (d'après Babaev 1976, p.76, fig.1).

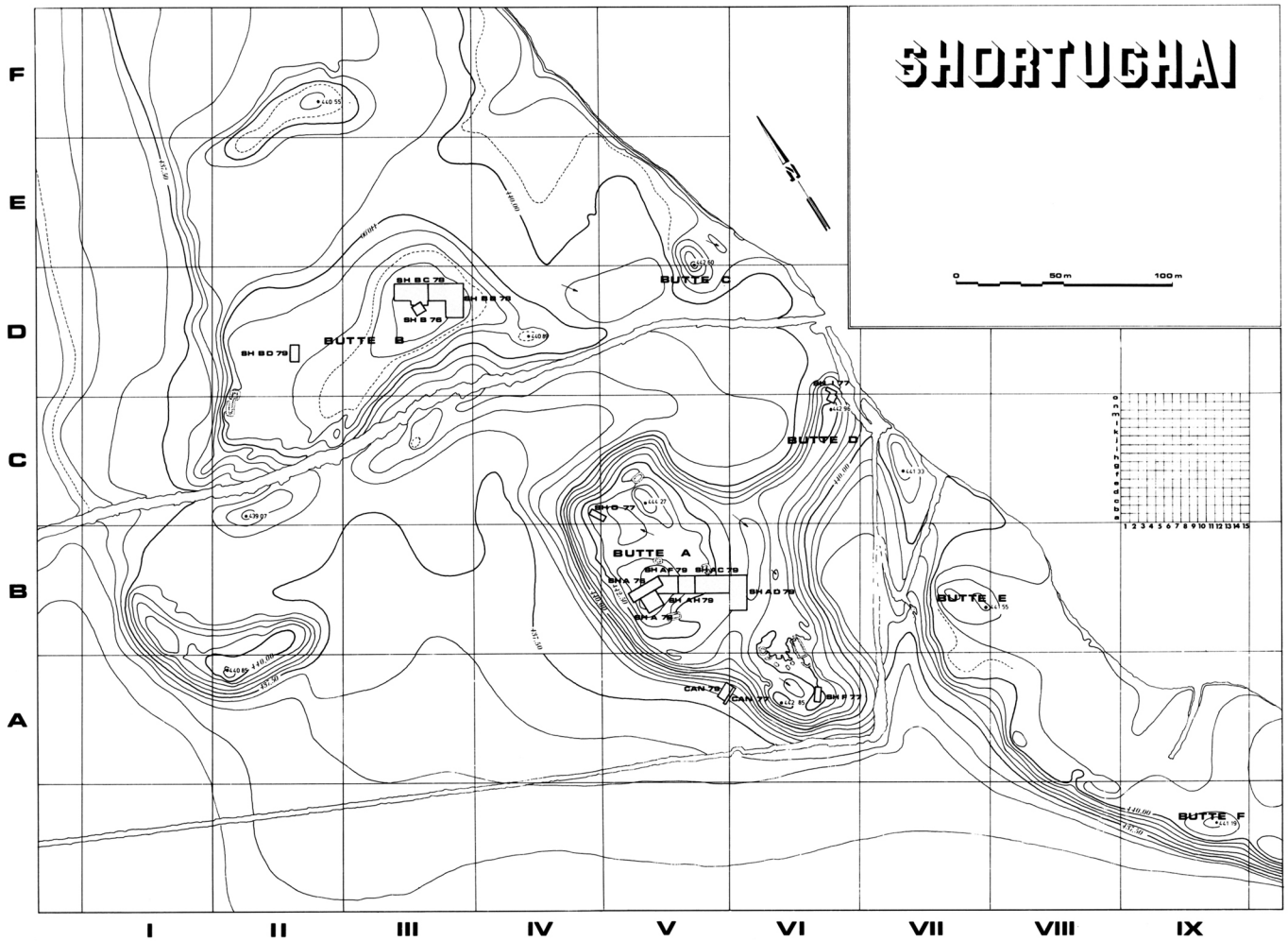


Figure 630 : Shortughai. Plan topographique (d'après Francfort *et al.* 1989, planche 2a).



Figure 631 : Shortughai. Plan d'occupation du site par périodes (d'après Francfort 1989 *et al.*, planche 2b).

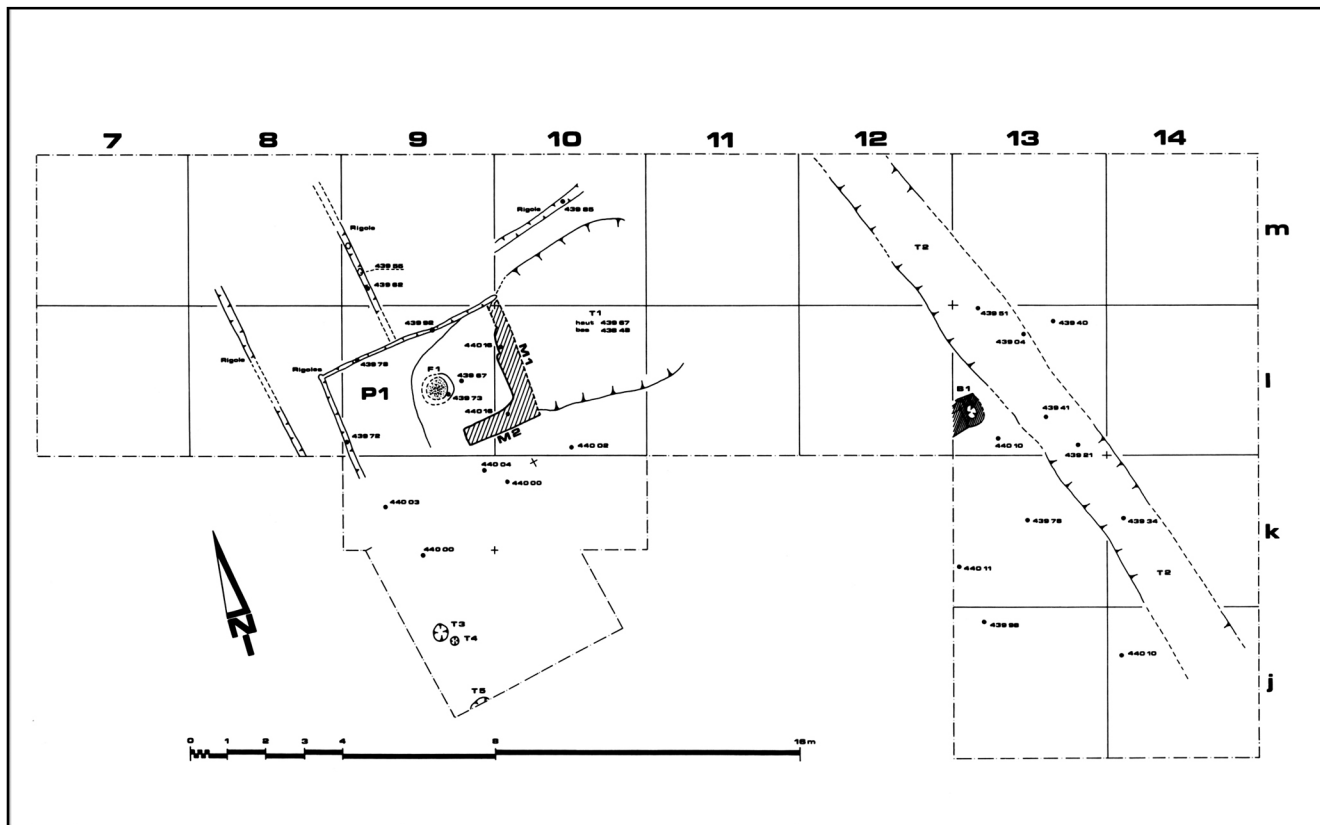


Figure 632 : Shortughai. Niveaux de la période III (d'après Francfort 1989 *et al.*, planche 6).

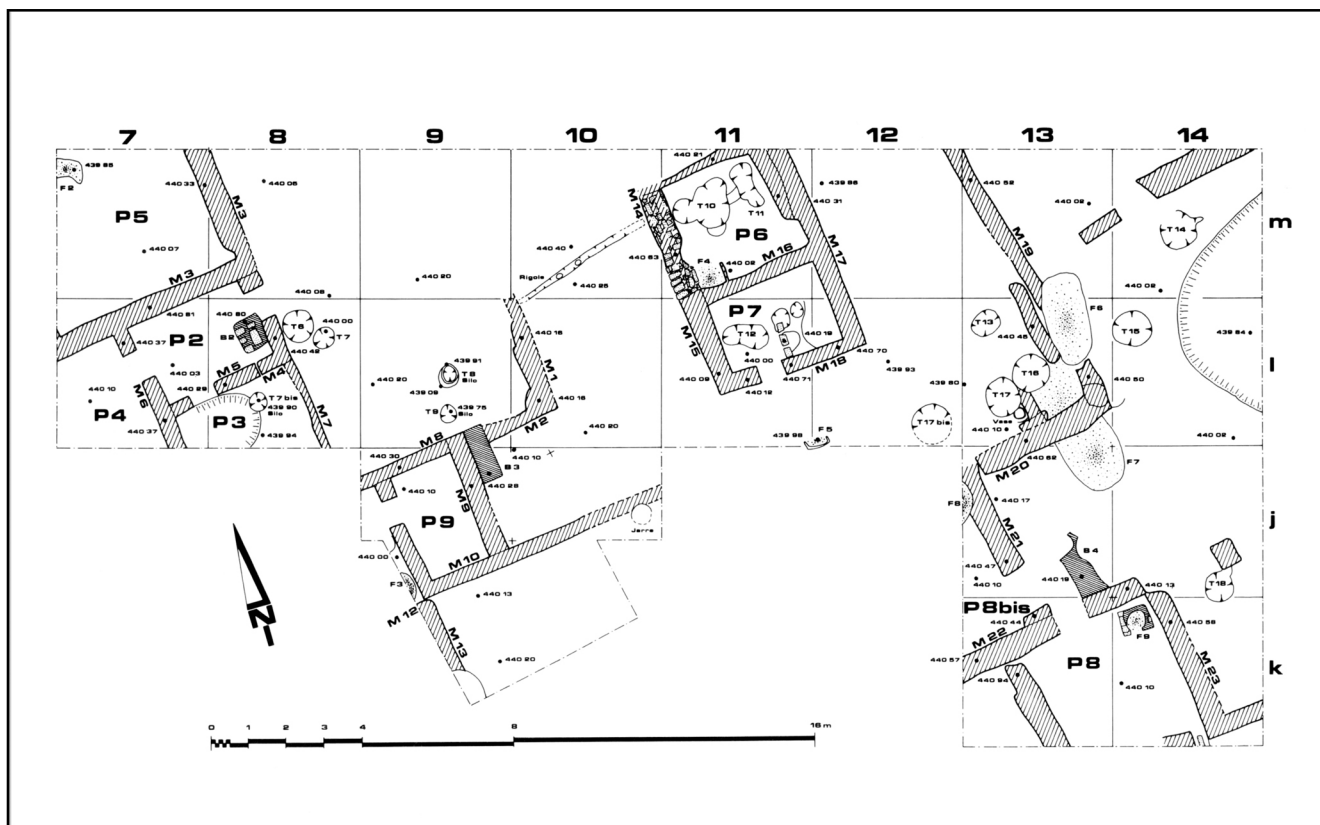


Figure 633 : Shortughai. Niveaux de la période III (d'après Francfort *et al.* 1989, planche 7).

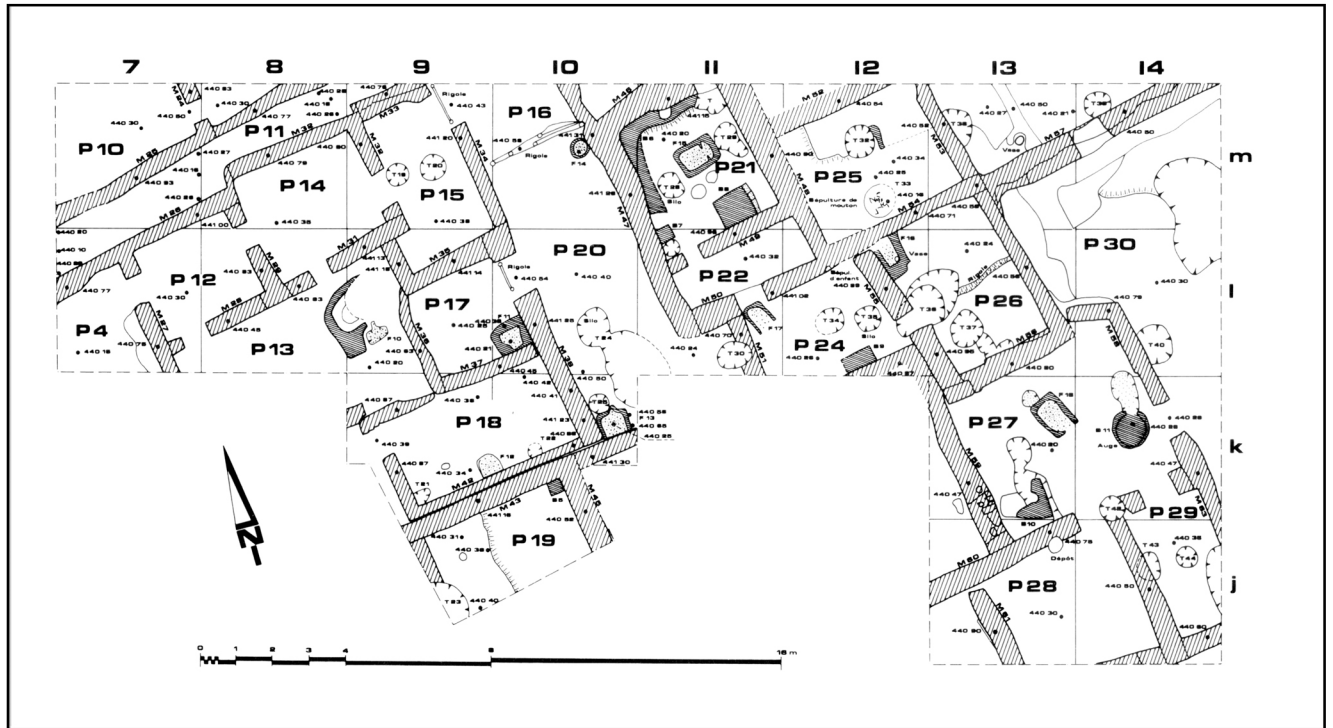


Figure 634 : Shortughai. Niveaux de la période III (d'après Francfort *et al.* 1989, planche 8).

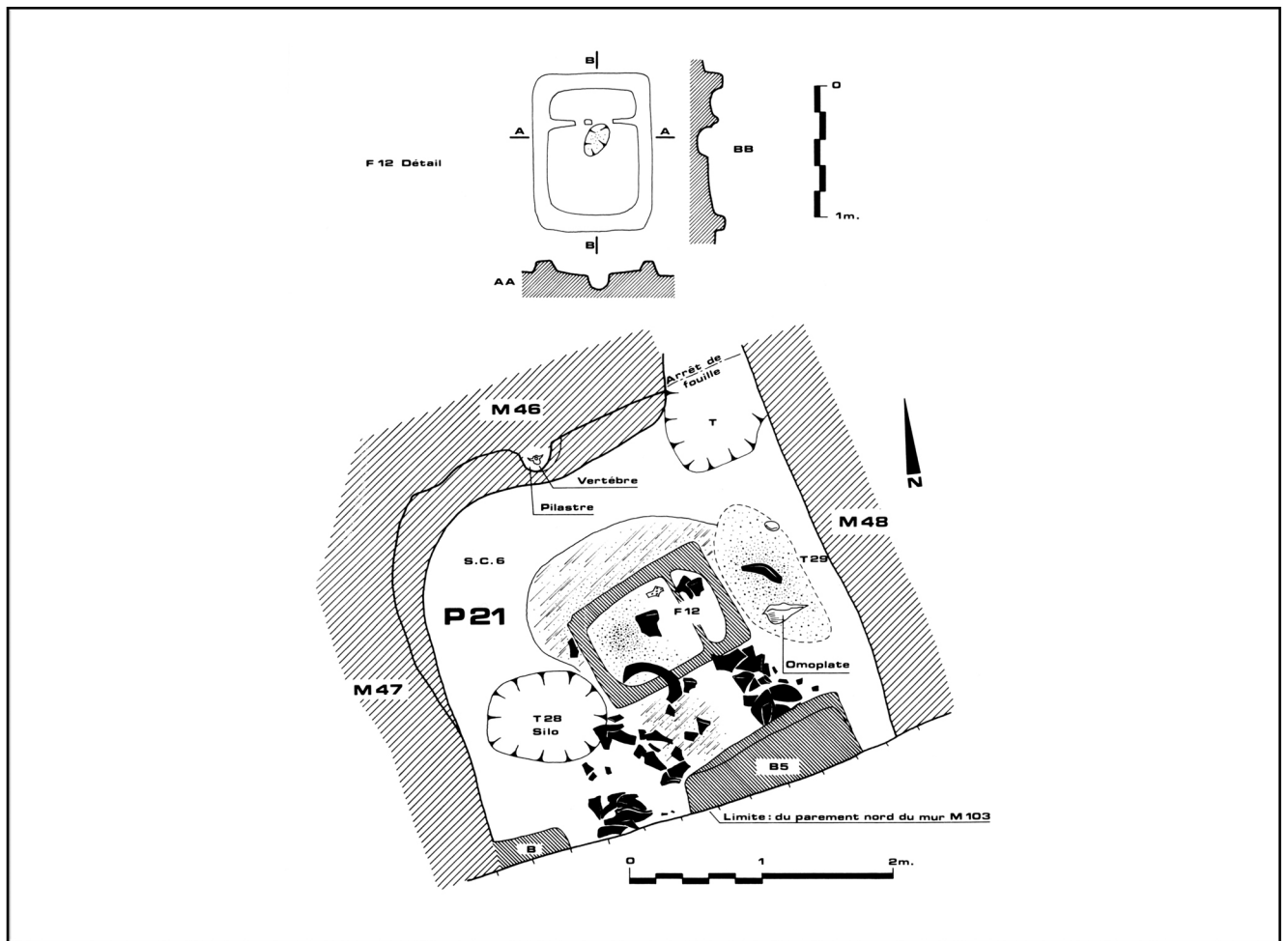


Figure 635 : Shortughai. Niveaux de la période III (d'après Francfort *et al.* 1989, planche 9).

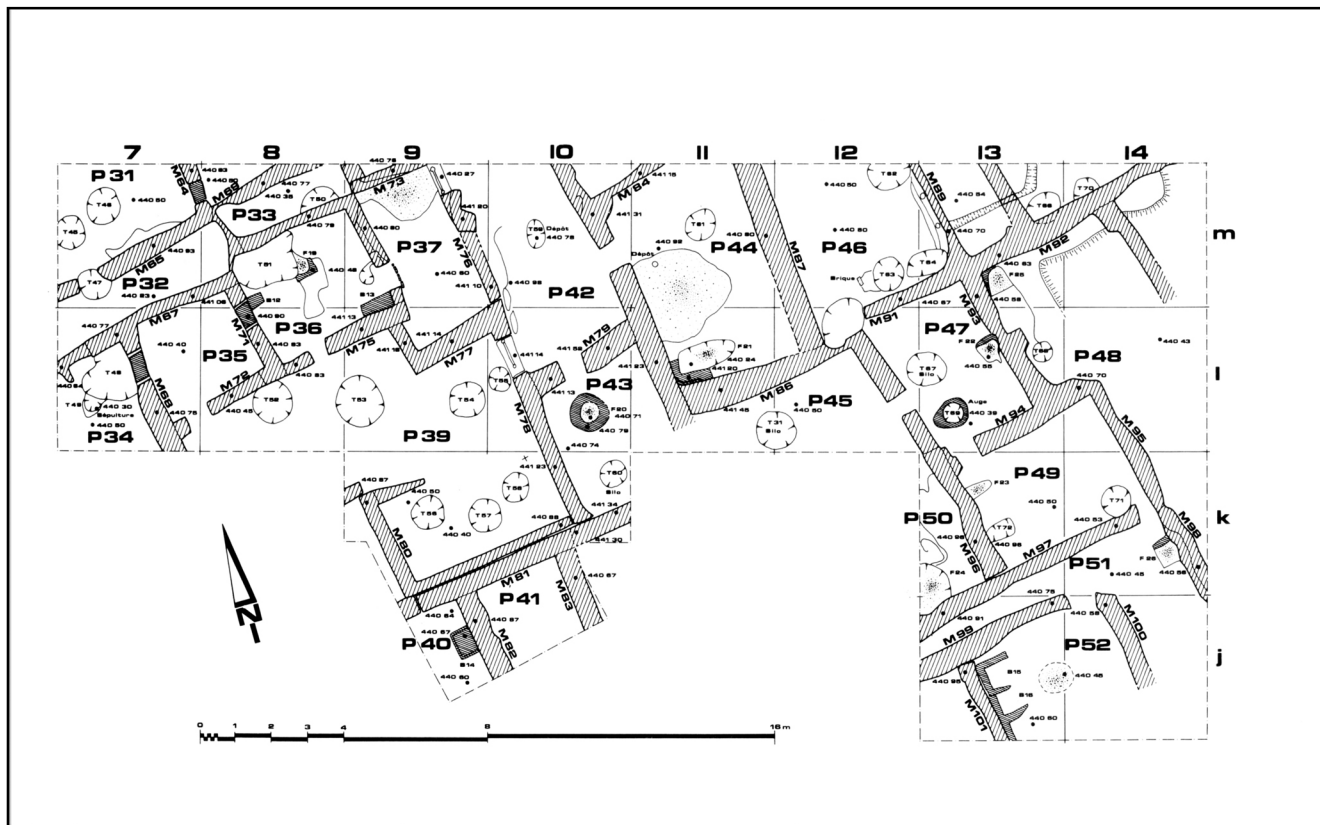


Figure 636 : Shortughai. Niveaux de la période IV (d'après Francfort *et al.* 1989, planche 10).

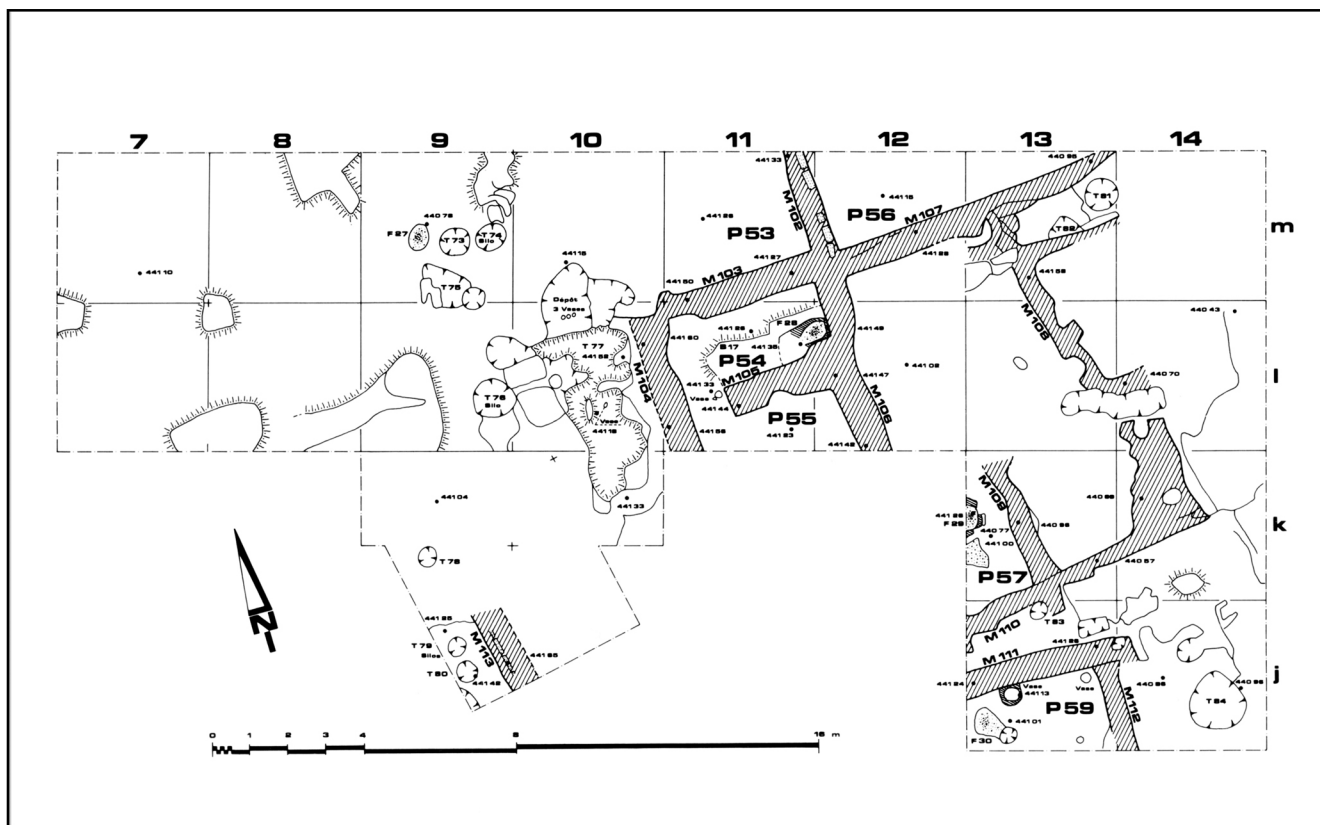


Figure 637 : Shortughai. Niveaux de la période IV (d'après Francfort *et al.* 1989, planche 11).

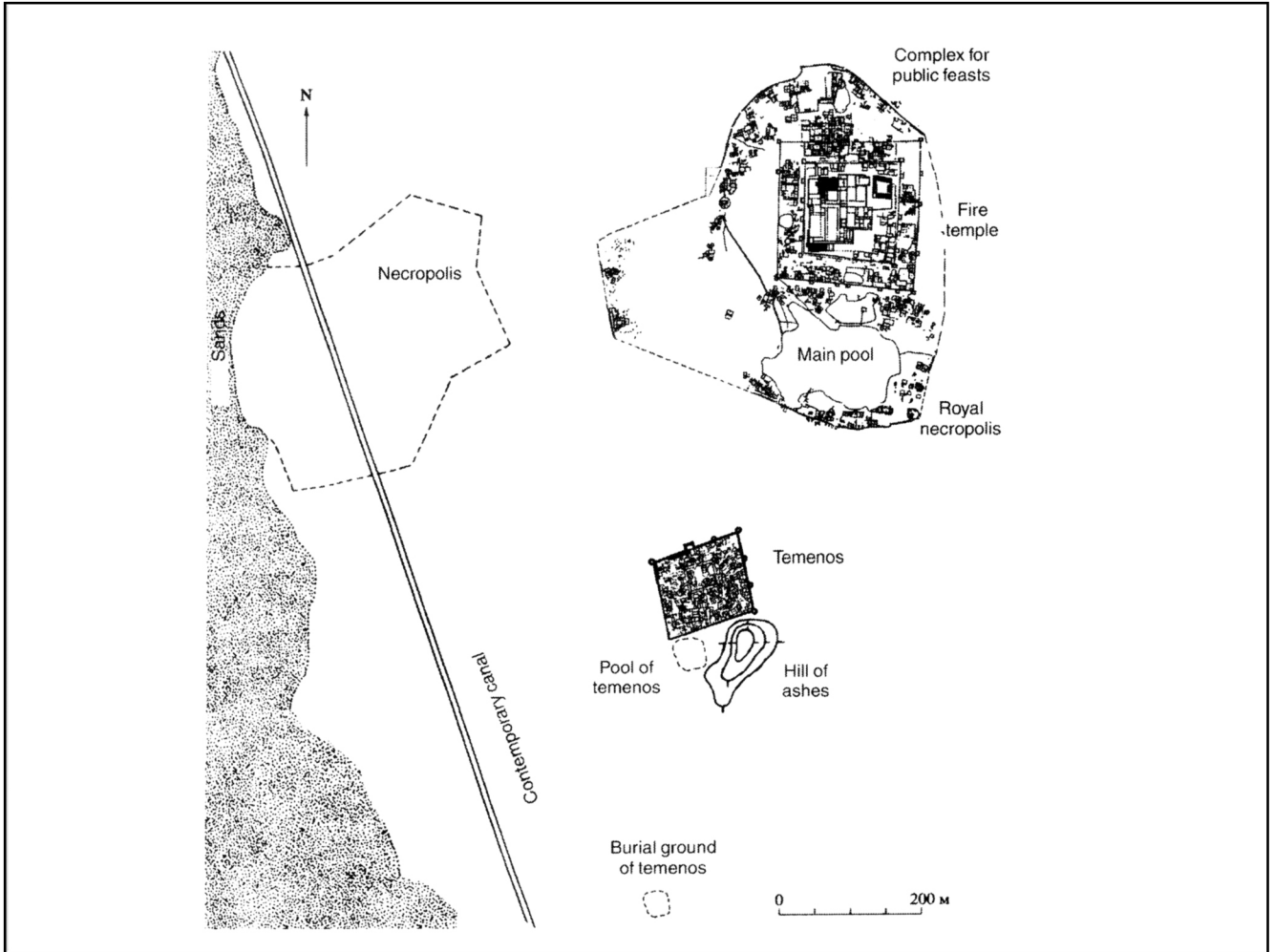


Figure 638 : Gonur-Dépé 1. Plan général (d'après Sarianidi 2008, p.9, fig.1).

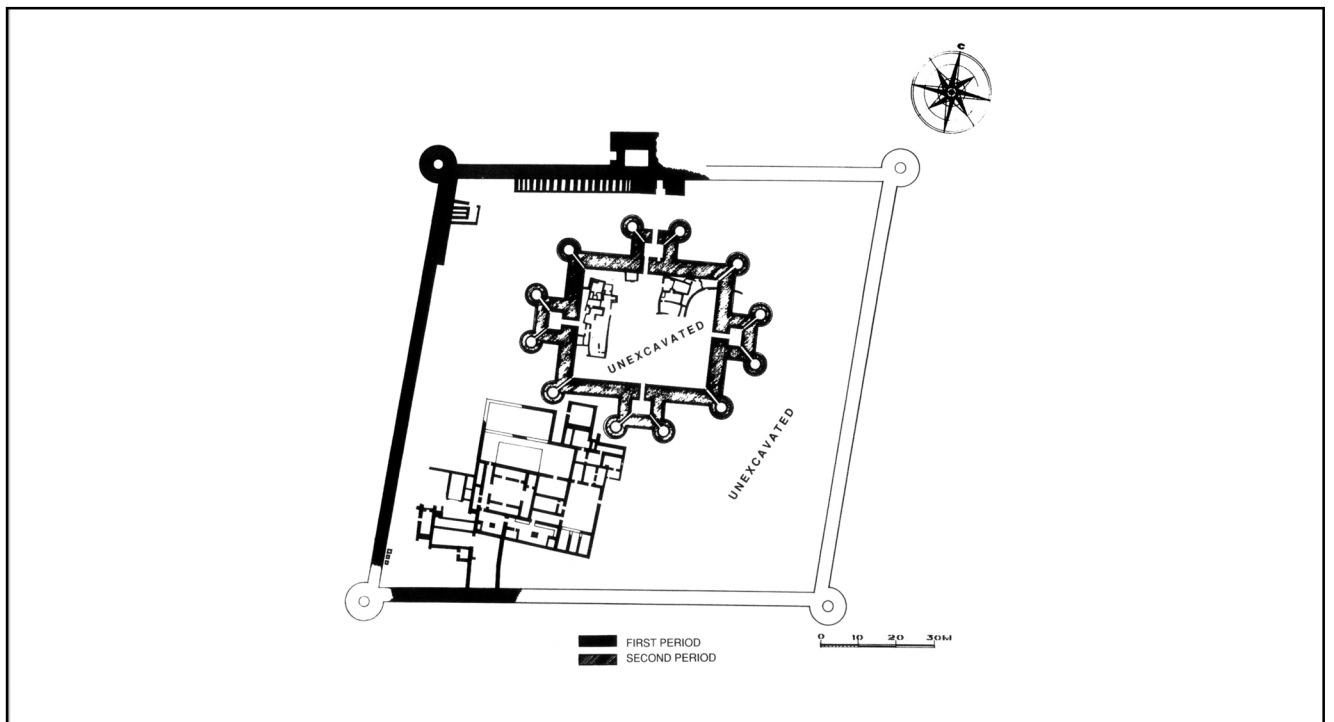


Figure 639 : Gonur-Dépé 1 Sud. Plan de la forteresse (d'après Sarianidi 1993, p.26, fig.2).



Figure 640 : Gonur-Dépé 1 Sud. Forteresse (Sarianidi 2002a, p.183).

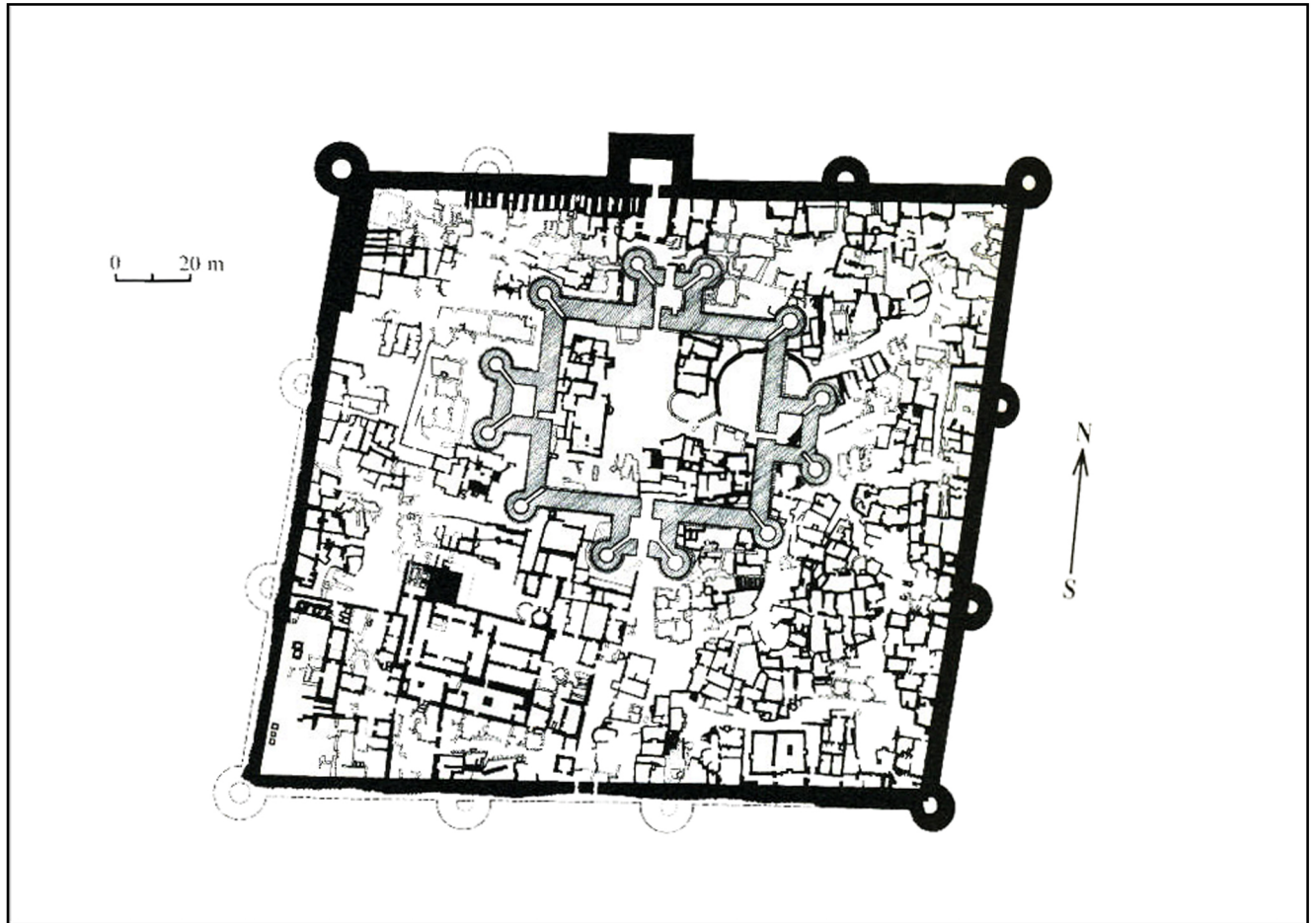


Figure 641 : Gonur-Dépe 1 Sud. Plan général de la forteresse (d'après Sarianidi 2002a, p.188).

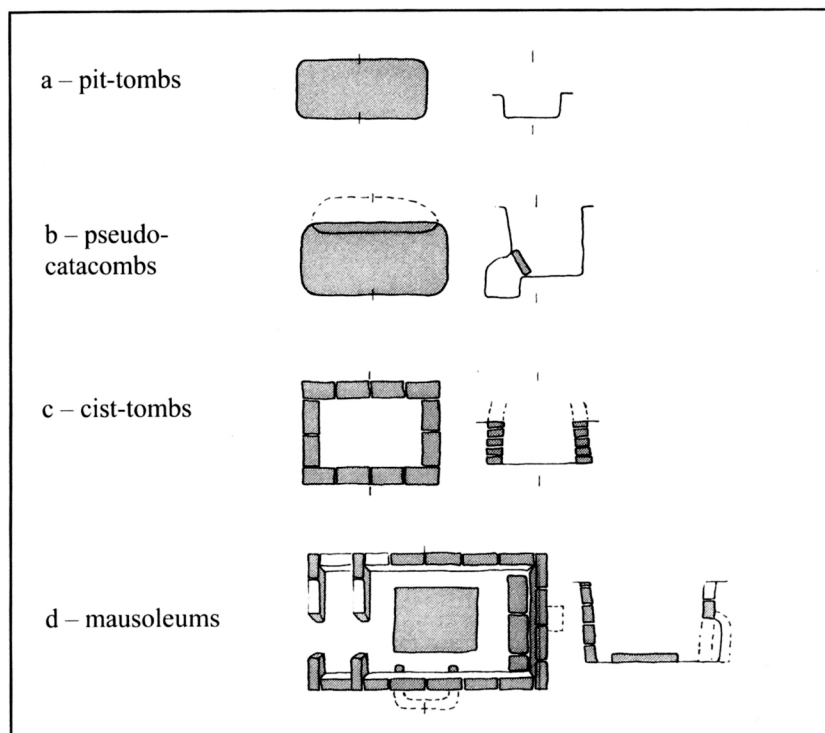


Figure 642 : Gonur-Dépe 1. Types de structures funéraires (d'après Rossi-Osmida 2001, p.73).



Figure 643 : Gonur-Dépé 1. Plan de la nécropole (d'après Sarianidi 2007, p.22-23).

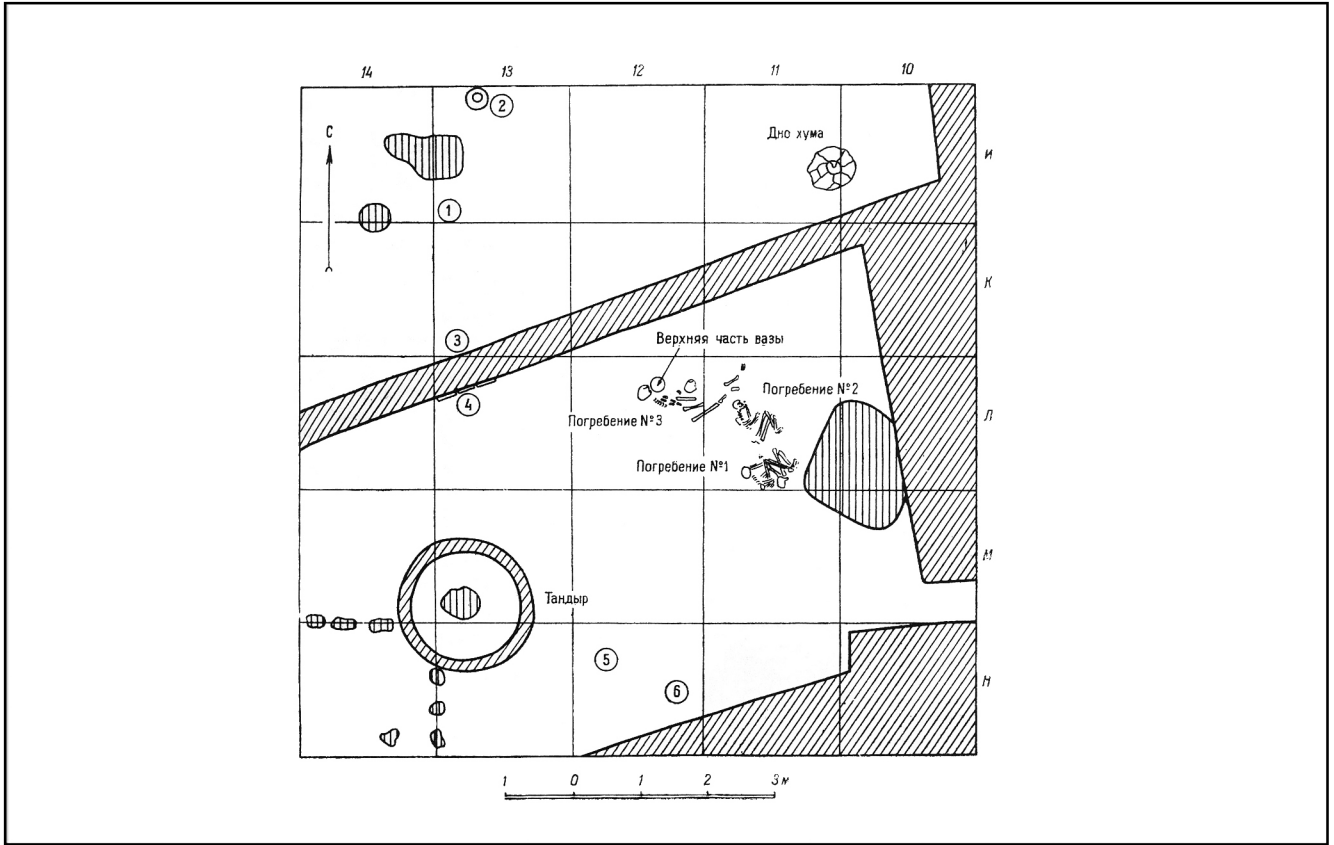


Figure 644 : Takhirbaj 3. Plan du chantier de fouilles. *Légende* : 1. pointe de lance en bronze ; 2. petite jarre ; 3. tube en os ; 4. mur couvert de céramiques ; 5. pointe en bronze ; 6. lissoir en pierre. Hachures verticales : argile rubéfiée ; hachures obliques : murs en argile (d'après Masson 1959, p.15, fig.5).

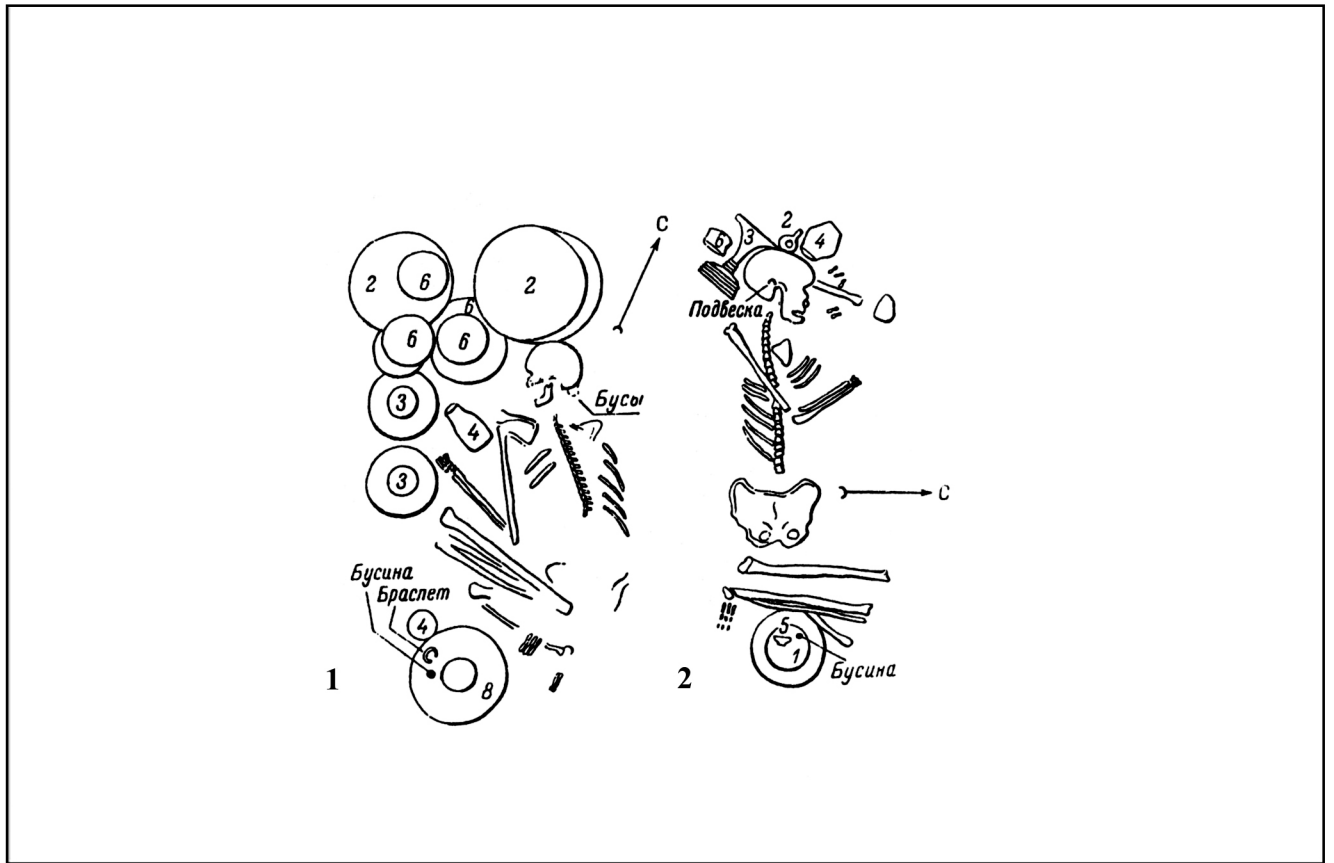


Figure 645 : Auchin-Dépé et Takhirbaj 3. Sépultures. (1) Auchin-Dépé ; (2) Takhirbaj 3 (d'après Masson 1959, p.13, fig.3).

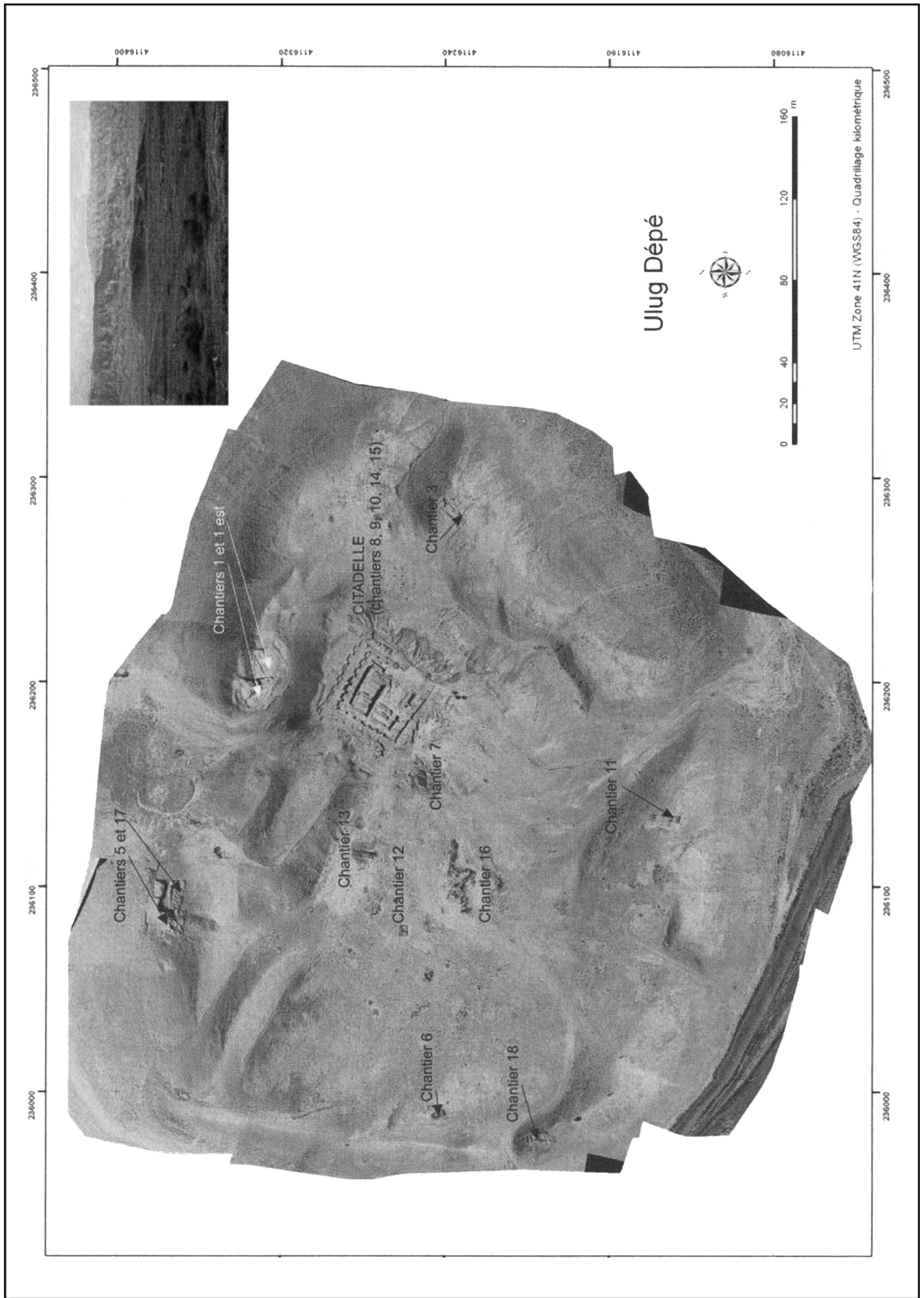


Figure 646 : Ulug-Dépé. Modèle numérique de terrain avec localisation des chantiers (Lecomte 2007, p.211, fig. 7).

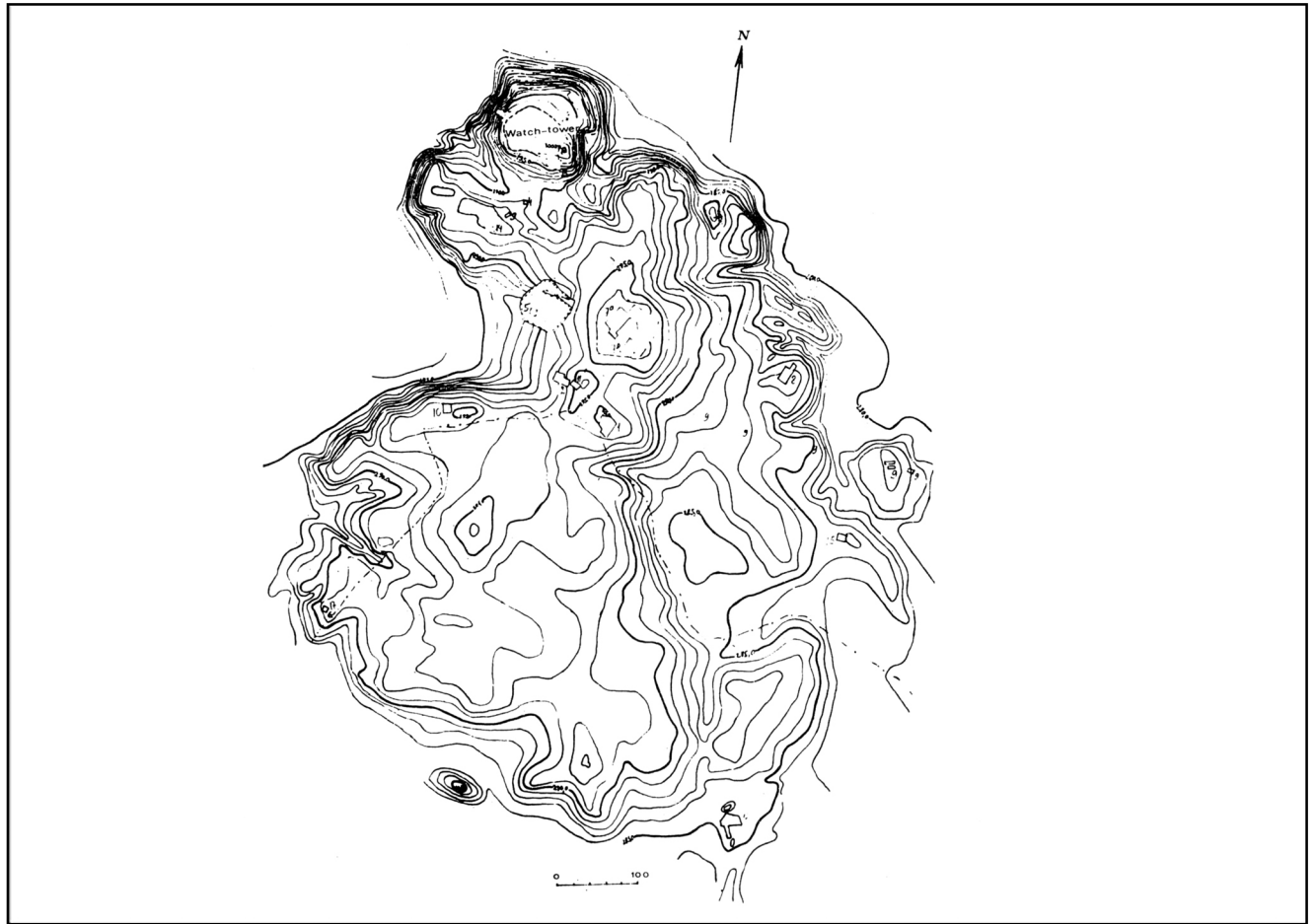


Figure 647 : Namazga-Dépé. Plan topographique. Le «Vyshka» ou «Watch-Tower» est au nord (d'après Khlopina 1972, fig.2).



Figure 648 : Namazga-Dépé. Plan du «Vyshka» et des zones de fouilles. 1. Fouilles de B.A. Kufin, 1952 ; 2. Fouilles de A.A. Marushchenko, 1956 ; 3. Fouilles de A.F. Ganjalin, 1959 ; 4. Fouilles de I.N. Khlopin, 1964-67 (d'après Khlopina 1972, fig.3).

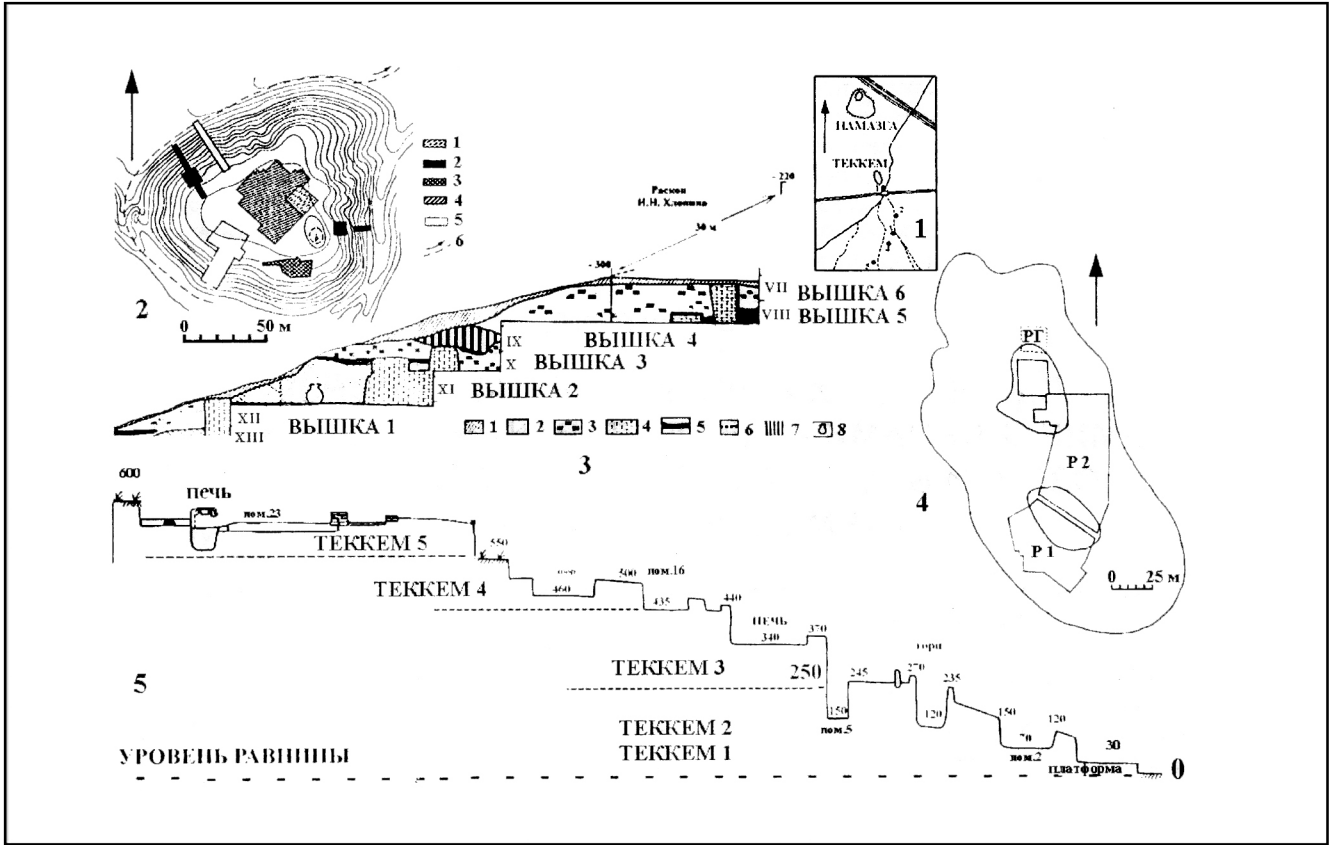


Figure 649 : Namazga-Dépé «Vyshka» et Tekkem-Dépé. Coupes des chantiers (d'après Shchentenko 1999, p.324, fig.1).

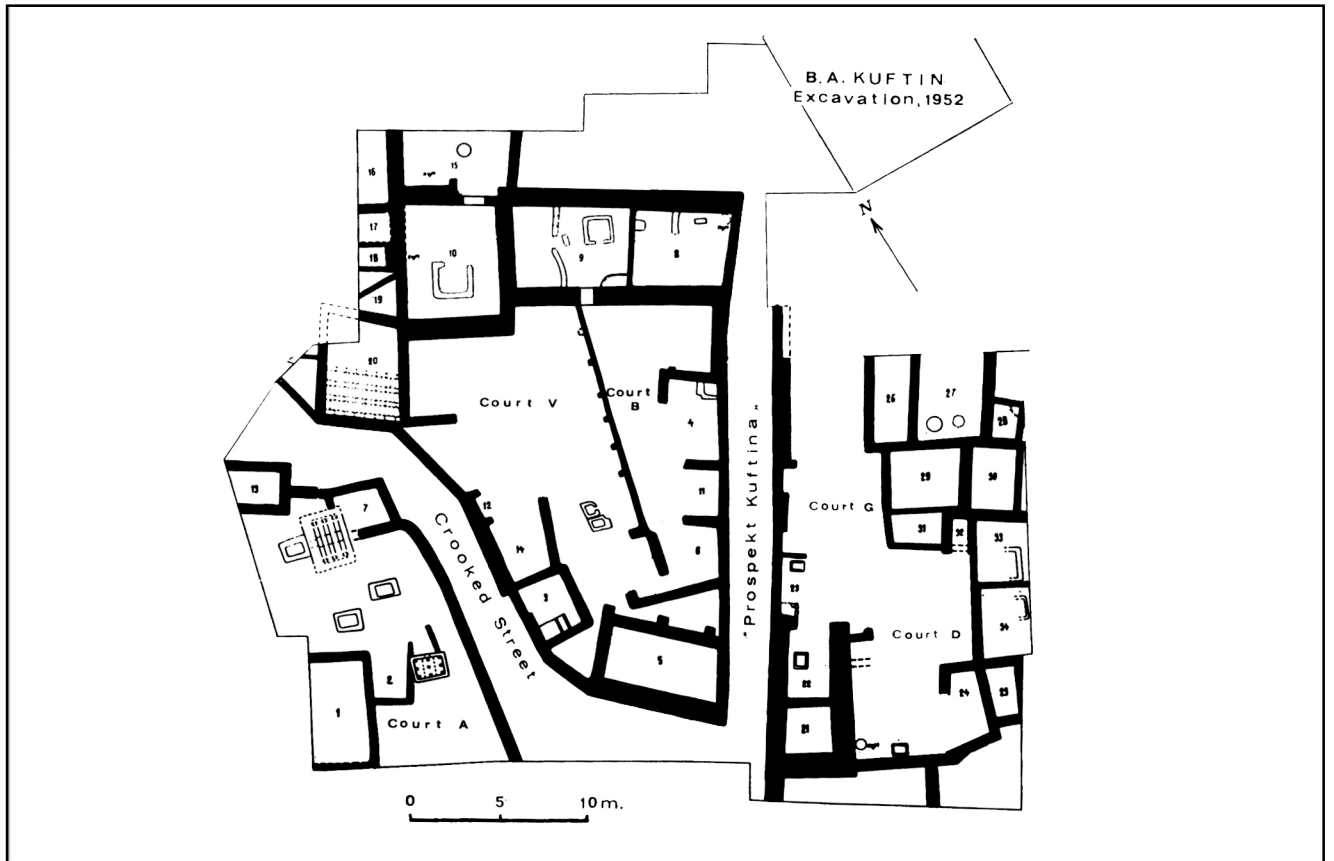


Figure 650 : Namazga-Dépé «Vyshka». Plan de la zone fouillée (d'après Khlopina 1972, p.204, fig.4).

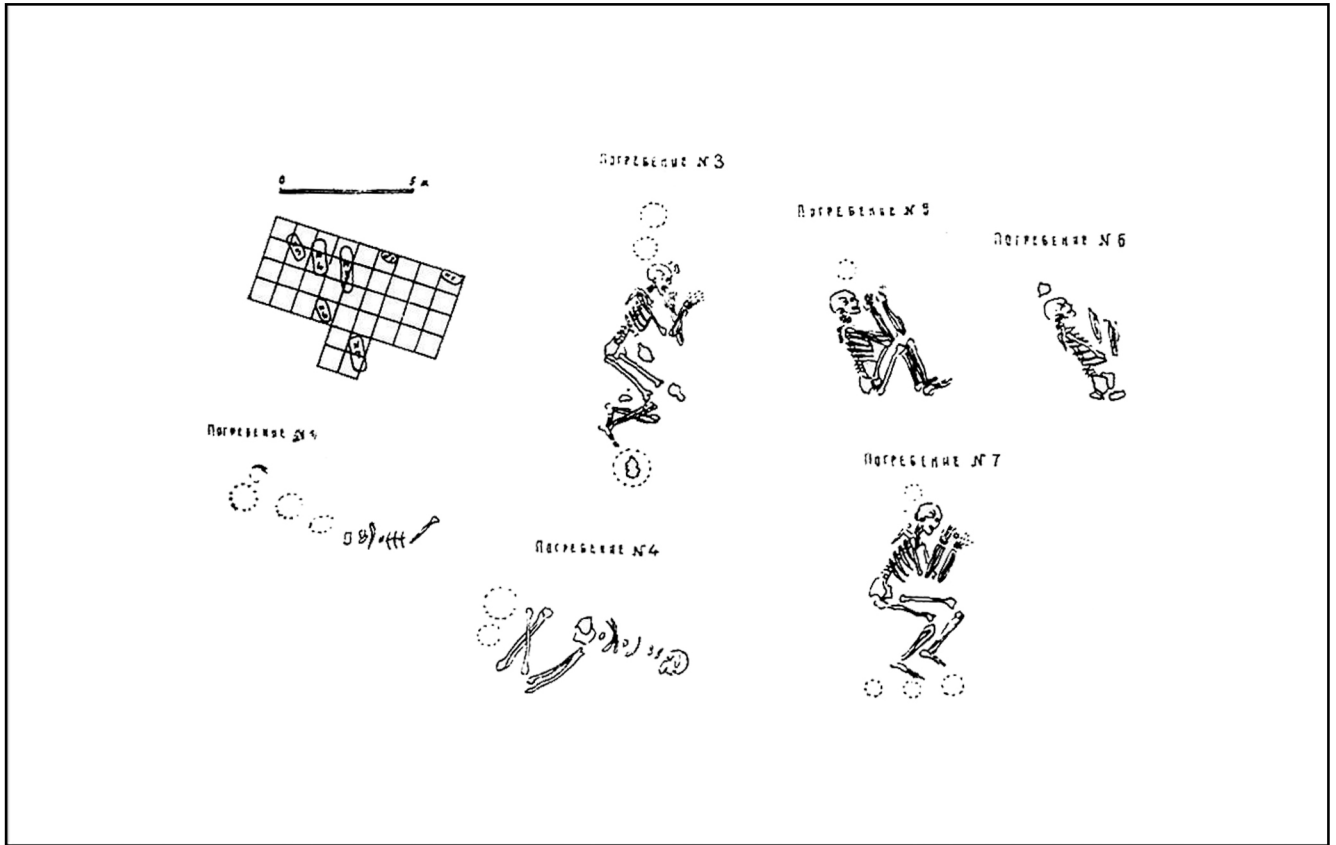


Figure 651 : Jangi-Kala. Plan du chantier et sépultures (d'après Ganjalın 1956a, fig.1).

L'ÂGE DU BRONZE FINAL EN ASIE CENTRALE MÉRIDIONALE (1750-1500/1450 AV. N.È.) : LA FIN DE LA CIVILISATION DE L'OXUS

Résumé

Après une phase d'apogée au cours de l'âge du Bronze moyen (environ 2100-1800/1750 av. n.è.), la civilisation de l'Oxus connaît à partir de 1750 av.n.è. une phase de transformations profondes menant à sa disparition et à l'émergence d'un nouvel ensemble culturel aux alentours de 1500 av. n.è. Cette période de l'âge du Bronze final encore peu documentée en Asie centrale méridionale apparaît bien méconnue et, de ce fait, dépréciée. Elle représente pourtant une phase majeure dans l'histoire de l'Asie centrale où se posent certaines questions complexes comme celle du "déclin" des sociétés ou encore celle des interactions entre divers groupes ethnoculturels. Ce travail, établi à partir de sources anciennes et inédites dans une démarche pluridisciplinaire, permet de préciser la spécificité de cette période en mettant particulièrement en avant son caractère multiculturel. L'étude de la périodisation constitue un autre aspect majeur. Abordé jusqu'à présent comme un seul bloc chronologique, l'âge du Bronze final peut être réparti en deux grandes phases temporellement et géographiquement inégales. Enfin, outre la question des causes des mutations entre la période d'apogée et la période finale de la civilisation de l'Oxus, leur analyse permet d'entrevoir non un déclin général mais l'émergence d'un nouveau type de société dont les continuités sont visibles à la période suivante de l'âge du Fer ancien. Malgré certains phénomènes de résilience, l'impact des transformations constatées ne permettra toutefois pas le maintien des structures politiques et culturelles de la civilisation de l'Oxus.

Summary

After the peak period during the Middle Bronze Age (ca. 2100-1800/1750 B.C.), around 1750 B.C. the Oxus civilization knows a phase of deep transformations leading to its disappearance and to the emergence of a new cultural complex around 1500 B.C. The Final Bronze Age, yet not much undocumented in Southern Central Asia, seems to be too unknown, and hence disparaged. It represents though a major period in the Central Asia history, where remain unanswered complex questions such as the one of the "decline" of societies, or the one of the interactions between miscellaneous ethnocultural groups. This work, based on ancient and unpublished sources, in a multidisciplinary approach, allows us to specify this era pointing out especially its multicultural characteristic. The study of the periodization is another major aspect of this work. Approached, until now, as an only chronological block, the Final Bronze Age may be shared out in two phases, temporally and geographically unequal. Finally, in addition of the question of the causes of the mutations between the peak period and the final period of the Oxus civilization, their analysis gives us the opportunity to conceive not a general decline but the emergence of a new type of society, which continuities are visible in the next period of the Early Iron Age. Despite some resiliency phenomenons, the impact of the noticed transformations won't allowed the political and cultural structures of the Oxus civilization to be maintained.

Mots-clés : Asie centrale, âge du Bronze final, périodisation, transformations sociales, déclin des civilisations, relations interculturelles, nomades et sédentaires.

Key-words : Central Asia, Final Bronze Age, periodization, social transformations, decay of civilizations, intercultural interactions, nomadic and sedentary populations.

UMR 7041-ArScan, Equipe "Archéologie de l'Asie centrale", Maison René Ginouvès. 21, allée de l'Université, F-92023, Nanterre Cedex.